



UNIVERSIDADE DE SÃO PAULO
FACULDADE DE ODONTOLOGIA DE RIBEIRÃO PRETO

LUCAS MOURA SOUSA

**AVALIAÇÃO MORFOMÉTRICA NASAL APÓS CIRURGIA ORTOGNÁTICA
BIMAXILAR UTILIZANDO IMAGENS 3D ESTEREOFOTOGRAMÉTRICAS:
ESTUDO RETROSPECTIVO.**

PG.PERIO
FOUP-USP

Ribeirão Preto

2021



UNIVERSIDADE DE SÃO PAULO
FACULDADE DE ODONTOLOGIA DE RIBEIRÃO PRETO

LUCAS MOURA SOUSA

**AVALIAÇÃO MORFOMÉTRICA NASAL APÓS CIRURGIA ORTOGNÁTICA
BIMAXILAR UTILIZANDO IMAGENS 3D ESTEREOFOTOGRAMÉTRICAS:
ESTUDO RETROSPECTIVO.**

PG.PERIO
FOUP-USP

Ribeirão Preto

2021

LUCAS MOURA SOUSA

Avaliação morfométrica nasal após cirurgia ortognática bimaxilar utilizando imagens 3d estereofotogramétricas: estudo retrospectivo.

Versão Original

Dissertação apresentada ao Programa de Pós-graduação em Odontologia (Periodontia) da Faculdade de Odontologia de Ribeirão Preto da Universidade de São Paulo para obtenção do título de Mestre em Ciências.

Área de concentração: Cirurgia Buco-Maxilo-Facial

Orientador: Prof. Dr. Cássio Edvard Sverzut

Ribeirão Preto

2021

Autorizo a reprodução e divulgação total ou parcial deste trabalho, por qualquer meio convencional ou eletrônico, para fins de estudo e pesquisa, desde que citada a fonte.

Catalogação na publicação

Serviço de Biblioteca e Documentação

Faculdade de Odontologia de Ribeirão Preto da Universidade de São Paulo

Sousa, Lucas Moura

Avaliação morfométrica nasal após cirurgia ortognática bimaxilar utilizando imagens 3D estereofotogramétricas: estudo retrospectivo. Ribeirão Preto, 2021.

118 p.

Dissertação apresentada a Faculdade de Odontologia de Ribeirão Preto da Universidade de São Paulo para obtenção do título de Mestre em Ciências.

Área de concentração: Cirurgia Buco-Maxilo-Facial

Orientador: Sverzut, Cássio Edvard

1. Tecido mole. 2. Alterações nasais. 3. Cirurgia ortognática. 4. Imagem tridimensional. 5. Estereofotogrametria.

FOLHA DE APROVAÇÃO

Nome: SOUSA, Lucas Moura

Título: **Avaliação morfométrica nasal após cirurgia ortognática bimaxilar utilizando imagens 3D estereofotogramétricas: estudo retrospectivo.**

Dissertação apresentada ao Programa de Pós-graduação em Odontologia (Periodontia) da Faculdade de Odontologia de Ribeirão Preto da Universidade de São Paulo para obtenção do título de Mestre em Ciências.

Área de concentração: Cirurgia Buco-Maxilo-Facial

Aprovado em: ____ / ____ / ____.

Banca Examinadora

Prof. Dr.: _____

Instituição: _____ Assinatura: _____

Trabalho realizado no Laboratório de Pesquisa em Eletromiografia do Sistema Estomatognático (LAPSE), do Departamento de Odontologia Restauradora – DOR, da Faculdade de Odontologia de Ribeirão Preto – Universidade de São Paulo, aprovado pelo comitê de ética da Faculdade de Odontologia de Ribeirão Preto da Universidade de São Paulo – USP / Brasil, CAAE: 16667119.9.0000.5419.

Para Nirce e Francisco, com amor.

*Dedico este trabalho aos meus pais, Maria
Nirce Alves de Moura Sousa e Francisco Barbosa de
Sousa Neto, por sempre me apoiarem em tudo,
abdicarem dos seus sonhos em prol dos meus, sempre
estarem junto a mim nos bons e maus momentos e
mostrarem o caminho correto.*

AGRADECIMENTOS

Agradeço primeiramente a Deus, por todas as bênçãos alcançadas. Por me conceder saúde, disposição e vontade de sempre querer aprender mais e evoluir, afinal “Tudo posso naquele que me fortalece” (Filipenses 4:13). Sem Deus no coração, nada seria possível.

Mais uma vez, agradecer aos meus pais, por todo exemplo de vida. Agradecer a minha mãe, exemplo de fé e força. Ela é uma guerreira! Nenhuma doença a abate ou tira o seu sorriso. Agradecer ao meu pai, homem simples e do campo, exemplo de honestidade e que sempre me surpreende com seu conhecimento de vida.

À minha esposa, Jéssica Emanuella Rocha Moura Paz, exemplo de companheirismo. Ao lado da qual quero construir nossa família. Ela é minha fonte de motivação diária. Sem ela não teria chegado neste momento. Te amo!

À minha irmã, Larissa Moura Sousa, exemplo de coragem e determinação. Sempre dividimos tudo e isso nos fez mais unidos. Obrigado por sempre apostar nos meus projetos e sonhos.

Ao meu primo e irmão de coração, João Emanuel Sousa (in memoriam), pessoa dedicada ao próximo que sempre transmitiu afeto e carinho. Apesar de sua breve passagem em vida, trabalhou incansavelmente para exercer a medicina e nos deu grande orgulho e inspiração. Saudades das nossas conversas descontraídas planejando um futuro profissional.

À minha família, por acreditarem no meu trabalho e sempre me apoiarem desde os primeiros anos de estudos. Sou grato por tudo.

Ao meu Orientador Prof. Dr. Cássio Edvard Sverzut, por toda confiança a mim depositada durante o período da Residência em CTBMPF e mestrado. Obrigado por todas as oportunidades de aprendizado e crescimento profissional, e principalmente pela ajuda na busca do significado de SER PROFESSOR. Fica aqui registrado o meu mais profundo e sincero agradecimento.

À Faculdade de Odontologia de Ribeirão Preto (FORP-USP), instituição onde fui calorosamente acolhido há 5 anos e da qual tenho enorme orgulho de carregar seu brasão.

Ao Programa de Residência em Cirurgia e Traumatologia Buco-Maxilo-Faciais da Faculdade de Odontologia de Ribeirão Preto FORP-USP, onde iniciei minha formação na arte da cirurgia.

Aos demais professores e preceptores do Programa de Residência em Cirurgia e Traumatologia Buco-Maxilo-Faciais da Faculdade de Odontologia de Ribeirão Preto FORP-USP, Prof. Dr. Alexandre Elias Trivellato, Dra. Priscila Faleiros Bertelli Trivellato e Dra. Elís Cristina Souza Serra. Sou enormemente grato por toda experiência e conhecimento compartilhando.

Aos amigos que a Residência CTBMPF FORP-USP me presenteou, Marco Aurélio Fidélés Pereira, André Bachega Gomes Gerón, Bruno Henrique Marinheiro, Renato Torres Augusto Neto, Vinícius Almeida

Carvalho, Jaqueline Isadora Reis Ramos, Letícia Richard Miranda Silva, Ítalo Miranda do Vale Pereira, Matheus Falsarelli Ferreira, Thiago Lopes de Almeida e Felipe Augusto Silva de Oliveira.

Aos amigos egressos do Curso de Residência em CTBMP FORP-USP, Patrick Rocha Osborne, Rafael Tajra Evangelista Araújo, Marco Aurélio Kenichi Yamaji, Fernando Pires de Araújo, Raphael Ramos da Silva, Luiz Fernando Gracindo, Eduardo Santana Jacob. Meu muito obrigado!

Aos Colegas de pós-graduação Adriano Lima Garcia, Felipe Almeida Costa, Pedro Carvalho, Lucas Costa Nogueira, Guilherme Spagnol, Gabriel Lúcio Calazans Duarte, José Henrique Santana Quinto, Michael Medeiros Costa, Denise Weffort, João Lisboa de Sousa Filho, Letícia Faustino Adolpho, Soraya da Silva de Oliveira e Alann Thaffarell Portilho.

À Faculdade de Odontologia da Universidade Federal do Piauí (UFPI), local onde graduei-me na linda profissão da Odontologia e onde me apaixonei pela especialidade da Cirurgia e Traumatologia Buco-Maxilo-Faciais. Aqui fica registrado meu apreço por essa instituição e por todos os professores que contribuíram com meu crescimento profissional.

Ao Instituto Infantil Reino Encantado (IIRE), todos os professores que fazem ou fizeram parte dessa instituição e que de alguma forma contribuíram na minha formação pessoal, e principalmente a fundadora e proprietária, minha Tia Maria Ivete de Sousa Soares, exemplo maior de educadora, que me proporcionou estudar sem pedir nada em troca, a não ser o próprio estudo.

À Profª. Dra. Maria Cândida de Almeida Lopes e Profª. Dra. Marcia Socorro da Costa Borba, exemplos de profissionais e professoras, responsáveis por estimular minha vontade pela CTBMP, apoiar meus projetos e sempre me aconselharem. Sou muito grato por todas as oportunidades e confiança que me proporcionaram.

À Profª. Dra. Regina de Souza Ferraz e Profº. Dr. Raimundo Rosendo Prado Júnior, orientadora e coorientador do meu trabalho de conclusão de curso durante minha graduação na Universidade Federal do Piauí – UFPI. As reuniões científicas aos sábados foram fundamentais na minha formação e interesse na área acadêmica, ali foram dados meus primeiros passos na pesquisa científica.

Ao Programa de Aperfeiçoamento de Ensino - PAE, em especial aos Alunos da graduação da Faculdade de Odontologia de Ribeirão Preto, por toda convivência e experiências compartilhadas nas clínicas de cirurgia, afinal o processo de aprendizagem é uma troca de conhecimentos e eu aprendi muito com todos.

Aos demais professores do departamento e da pós-graduação em Cirurgia da FORP-USP por contribuírem na minha formação cirúrgica e acadêmica: Prof. Dr. Alexandre Elias Trivellato, Prof. Dr. Adalberto Luiz Rosa, Prof. Dr. Márcio Mateus Belotti, Prof. Dr. Samuel Porfirio Xavier e Prof. Dr. Valdemar Mallet da Rocha Barros, Prof. Dr. Mário Taba e Prof. Dr. Luiz Carlos Pardini

Aos professores da prótese e ortodontia da FORP, Prof. Dr. Wilson Matsumoto, Profª. Dra. Mirian Matsumoto e Prof. Dr. Fábio Romano, meu agradecimento por todo conhecimento transmitido a mim. Afirmo que vocês foram fundamentais na minha formação profissional tornando-a mais completa.

Aos professores do Lapese, Prof. Dr. Marco Antonio Moreira Rodrigues da Silva e Dra. Ana Maria Bettoni Rodrigues da Silva, que me apoiaram nesse projeto. Obrigado por toda vivência e conversas.

A todos os Pacientes que tive o privilégio de atender em todos esses anos na FORP-USP. Cada paciente foi fundamental no meu aprendizado. Obrigado por ajudarem no meu crescimento profissional.

À funcionária responsável da clínica de cirurgia, Rosângela Aparecida Ferezin, e a Regiane Cristian Moi Sacilotto que sempre fizeram de tudo para o bom funcionamento do ambiente clínico. Sem elas seria impossível trabalhar com qualidade e organização.

Às funcionárias do departamento, Aparecida Dulce de Oliveira Negreti, Carla Daniela Lima da Silva e Maria Isabel Gobbo Simonetti, por todo serviço prestado no decorrer desses anos.

Aos Funcionários FORP-USP, recepção, portaria, limpeza, manutenção, secretaria, clínicas, laboratórios, vigilância, entre outros departamentos, por manter operante nossa faculdade, sempre como sinônimo de qualidade e organização, proporcionando atendimento de referência à população e exemplo de formação profissional.

Aos amigos-irmãos da MOA, Vinícius Almeida, Bruno Crozeta, Isadora Soares, Rodrigo Dantas, Júlio Neto, Ítalo Miranda e Matheus Falsarelli. Meu eterno muito obrigado. Vocês fizeram a diferença na minha vida aqui em Ribeirão Preto. Cada momento juntos foi fundamental. Obrigado família MOA!!!

A todos os meus amigos de Elesbão Veloso-PI, minha cidade natal, que sempre torceram por mim. Meu muito obrigado!

Agradeço à Fundação de Amparo à Pesquisa do Estado de São Paulo (FAPESP) pelo financiamento que possibilitou a aquisição do equipamento VECTRA M3 utilizado nesta pesquisa (projeto FAPESP número: 2011 / 50424-6).

"Podemos nos surpreender com as jornadas que encaramos e quem nos acompanha. Às vezes são as jornadas mais difíceis que revelam quem somos, do que somos capazes e quem amamos."

-Alpha-

RESUMO

SOUSA, Lucas Moura. **Avaliação morfométrica nasal após cirurgia ortognática bimaxilar utilizando imagens 3D estereofotogramétricas: estudo retrospectivo.**

2021. 118 p. Dissertação (Mestrado em Odontologia (Periodontia)) – Faculdade de Odontologia de Ribeirão Preto, Universidade de São Paulo, Ribeirão Preto, 2021.

O tratamento das deformidades dentofaciais por meio da cirurgia ortognática visa melhorar a função e estética facial. As mudanças resultantes no esqueleto maxilo-mandibular têm consequências sobre o tecido mole de recobrimento da face. O nariz é a parte central da face e um importante elemento na expressão facial e estética. O cirurgião deve estar ciente das possíveis mudanças que podem ocorrer nos tecidos moles da face, para que possa quantificar as alterações resultantes da cirurgia ortognática. Avaliou-se retrospectivamente as alterações morfométricas do nariz em pacientes submetidos a cirurgia ortognática bimaxilar utilizando imagens 3D. 143 imagens 3D foram analisadas, com 495 medidas quantitativas e 132 medidas qualitativas utilizando o sistema Vectra M3 (Canfield, NJ). Estes pontos determinaram medidas lineares, angulares e de área nos seguintes intervalos: pré-operatório (linha de base), 6 meses e 12 meses de pós-operatório. 9 mulheres (81,1%) e 2 homens (18,9%), idade média de 33,5 (21;55) anos, 6 (54,5%) classe III e 5 (45,4%) classe II, 10 brancos (90,9%) e 1 negro (9,1%). Ocorreu aumento na largura alar, índice nasal e ângulo da inclinação nasal ($p < 0,001$) e diminuição da altura nasal, comprimento nasal, área da superfície nasal, ângulo nasofrontal e ângulo nasolabial ($p < 0,001$). Não houve diferenças nas áreas da narina direita ($p = 0,447$) e narina esquerda ($p = 0,906$). O ângulo narinário direito e esquerdo apresentaram diminuição após a cirurgia e seus valores médios aumentaram de T1 para T2. A projeção da ponta nasal direita ($p = 0,614$) e esquerda ($p = 0,04$) não apresentaram diferenças entre os tempos T0 e T1, T0 e T2. Ocorreu 4 (36,4%) rotações horárias e 7 (63,6%) rotações anti-horárias da ponta nasal. Não houve diferença estatisticamente significativa entre os tempos T1 e T2 para as médias das variáveis altura nasal, ângulo da inclinação nasal, ângulo nasofrontal, ângulo nasolabial, área da superfície nasal, comprimento nasal, índice nasal e largura alar. Foi observado um aumento da largura alar, do índice nasal e ângulo da inclinação nasal, acompanhado de uma diminuição da altura nasal, do comprimento nasal, da área da superfície nasal, do ângulo nasofrontal, do ângulo

nasolabial e dos ângulos narinários, com manutenção das áreas das narinas e da projeção da ponta nasal e todas as variáveis estudadas permaneceram estáveis de 6 para 12 meses.

Palavras-chave: Tecido mole. Alterações nasais. Cirurgia ortognática. Imagem tridimensional. Estereofotogrametria.

ABSTRACT

SOUSA, L. M. Nasal morphometric evaluation after bimaxillary orthognathic surgery using 3D stereophotogrammetric images: a retrospective study. 2021. 118 p. Dissertação (Mestrado) – Faculdade de Odontologia de Ribeirão Preto, Universidade de São Paulo, Ribeirão Preto, 2021.

Orthognathic surgery is one of the treatments used to correct dentofacial deformities, aiming at improving facial function and aesthetics. The resulting changes in the bone structure of the maxillomandibular complex affect the facial soft tissue. The nose is located in the central part of the face and it is considered an important element in facial expression and aesthetics. Awareness of possible resulting changes in the facial soft tissues helps the surgeon quantify and plan facial procedures. This retrospective study aimed to evaluate the morphometric nasal changes in patients undergoing bimaxillary orthognathic surgery using three-dimensional (3D) stereophotogrammetric images of the face. Our study analyzed 143 3D images, with 495 quantitative measures and 132 qualitative measures, using the Vectra® M3 (Canfield, NJ). These points determined linear and area measurements in the following intervals: preoperative stage (T0) and 6 months (T1) and 12 months (T2) after surgery. 9 female (81.1%) and 2 male (18.9%), mean age of was 33.5 ± 12.5 (21; 55) years, six patients (54.5%) presented class III malocclusion, and 5 (45.4%) were classified as class II. Ten volunteers were white (90.9%) and 1 was black (9.1%). There was an increase in alar width, nasal index and nasal inclination angle ($p < 0.001$) and a decrease in nasal height, length, surface area, nasofrontal angle and nasolabial angle ($p < 0.001$). There were no differences in the areas right nostril ($p = 0.447$) and left nostril ($p = 0.906$). The right and left nostril angle decreased after surgery and their mean values increased from T1 to T2. The right nasal tip projection $p = 0.614$ and left ($p = 0.04$) showed no differences between the times T0 and T1, T0 and T2. There were 4 (36.4%) clockwise rotations and 7 (63.6%) counterclockwise rotations of the nasal tip. There was no statistically significant difference in mean values of the variables nasal height, nasal inclination angle, nasofrontal angle, nasolabial angle, nasal surface area, nasal length, nasal index, and alar width between the periods T1 and T2. An increase in alar width, nasal index and nasal inclination angle was observed, accompanied by a decrease in nasal height,

length, surface area, nasofrontal angle, nasolabial angle and nostril angles, with maintenance of the nostril area and projection nasal tip. All variables remained stable from 6 to 12 months.

Key words: Soft tissue. Nasal changes. Orthognathic surgery. Three-dimensional image. Stereophotogrammetry.

LISTA DE ILUSTRAÇÕES

| | |
|---|----|
| Figura 1 - Sequência cirúrgica para maxila. a. Acesso vestibular em fundo de sulco; b. Osteotomia Le Fort I; c. down fracture; d. bloqueio maxilomandibular com uso da guia cirúrgica intermediária; e. fixação da maxila com 4 placas e parafusos do sistema de 1,5 mm; f. Sutura em colchoeiro. | 46 |
| Figura 2. Sequência esquemática da técnica da sutura da base alar utilizada neste estudo. | 47 |
| Figura 3. Aparelho Vectra® M3 (Canfield, NJ, EUA), formado por unidades de flash (asterisco branco), suporte terrestre (asterisco verde), mocho (asterisco amarelo) e espelho frontal (seta branca)..... | 48 |
| Figura 4. Malha triangular formada no sistema VECTRA 3D possuindo resolução geométrica de 1,2 mm (comprimento da aresta do triângulo). | 49 |
| Figura 5. Material utilizado na marcação das landmarks. a. delineador Pretolino (quem disse, berenice? ®, Registro, SP, Brasil); b. demaquilante (quem disse, berenice? ®, Registro, SP, Brasil); c. compressas de gaze; d. Faixa branca. | 51 |
| Figura 6. Paciente em vista frontal e perfil mostrando os pontos de referência da face (marcações na cor preta e branca) utilizados no protocolo do LAPESE FORP-USP. As marcações pretas são realizadas de forma manual. Enquanto que, as marcações pretas foram realizadas digitalmente devido à dificuldade de marcação diretamente na face..... | 51 |
| Figura 7. Posicionamento do paciente à frente do sistema Vectra M3. a. Paciente centralizado ao aparelho; b. Paciente olhando diretamente para o espelho frontal; c. Paciente em postura ereta. | 53 |
| Figura 8. Linhas verticais e horizontais dispostas nas imagens captadas em tempo real guiam o correto posicionamento da face do participante. | 53 |
| Figura 9. Paciente orientado nos eixos X, Y e Z, tendo como base os pontos T[r], T[l], Sn e G. | 54 |

| | |
|--|----|
| Figura 10. Marcação digital de landmark. a) Aproximação para marcação digital e central do ponto; b) delimitação visual do perímetro da marcação manual (círculo branco tracejado); c) centralização da visão do operador (círculo amarelo tracejado); d) marcação digital do ponto de referência (ponto verde)..... | 55 |
| Figura 11. Captura de partes da superfície interna da cavidade nasal pelo sistema Vectra M3. a) Notar a formação de sombras e pouca resolução no interior da cavidade nasal. b) Formação da malha triangular tridimensional no interior da cavidade nasal..... | 56 |
| Figura 12. a) Seleção da área nasal através das landmarks N, Ac[r], Sn e Ac[l]; b) Região nasal separada do face; c) Região posterior da superfície nasal (observar a formação da superfície da cavidade nasal); d) Visão basal das narinas; e) Delimitação entre narina direita e cavidade nasal direita; f) Seleção da superfície da cavidade nasal direita; g) Corte realizado para retirada da cavidade nasal direita; h) Delimitação entre narina esquerda e cavidade nasal esquerda; i) Seleção da superfície da cavidade nasal esquerda; j) Corte realizado para retirada da cavidade nasal esquerda. | 57 |
| Figura 13. Superfície nasal após sequência de trabalho no VECTRA 3D Analysis Module..... | 57 |
| Figura 14. Sequência de criação da superfície das narinas. a) Malha sem narinas; b) preenchimento da marina esquerda; c) preenchimento da narina direita; d) vista basal das narinas preenchidas. | 59 |
| Figura 15. Ângulo nasofrontal..... | 59 |
| Figura 16. Ângulo nasolabial..... | 60 |
| Figura 17. Ângulo de inclinação nasal. | 60 |
| Figura 18. Ângulo narinário..... | 61 |
| Figura 19. Largura Alar..... | 62 |
| Figura 20. Altura nasal..... | 62 |

| | |
|--|----|
| Figura 21. Comprimento nasal..... | 62 |
| Figura 22. Projeção da Ponta nasal..... | 63 |
| Figura 23. a) Imagem pós-operatória de 1 ano; b) Imagem pré-operatória (Observe a seleção da região frontal da imagem pré-operatória e uma caixa texto que orienta a sequência e método de sobreposição por região); c) Malha 3D da imagem pós-operatória na cor laranja em sobreposição a imagem pré-operatória..... | 64 |

LISTA DE GRÁFICOS

| | |
|---|----|
| Gráfico 1. Médias e desvios padrões da variável altura nasal comparada em relação aos tempos pré-operatório (T0), pós-operatório de 6 meses (T1) e pós-operatório de 12 meses (T2) pelo GEE model..... | 72 |
| Gráfico 2. Médias e desvios padrões da variável ângulo da inclinação nasal comparada em relação aos tempos pré-operatório (T0), pós-operatório de 6 meses (T1) e pós-operatório de 12 meses (T2) pelo GEE model..... | 73 |
| Gráfico 3. Médias e desvios padrões da variável ângulo narinário direito comparada em relação aos tempos pré-operatório (T0), pós-operatório de 6 meses (T1) e pós-operatório de 12 meses (T2) pelo GEE model..... | 73 |
| Gráfico 4. Médias e desvios padrões da variável ângulo narinário direito comparada em relação aos tempos pré-operatório (T0), pós-operatório de 6 meses (T1) e pós-operatório de 12 meses (T2) pelo GEE model..... | 73 |
| Gráfico 5. Médias e desvios padrões da variável ângulo nasofrontal comparada em relação aos tempos pré-operatório (T0), pós-operatório de 6 meses (T1) e pós-operatório de 12 meses (T2) pelo GEE model..... | 74 |
| Gráfico 6. Médias e desvios padrões da variável ângulo nasolabial comparada em relação aos tempos pré-operatório (T0), pós-operatório de 6 meses (T1) e pós-operatório de 12 meses (T2) pelo GEE model..... | 74 |
| Gráfico 7. Médias e desvios padrões da variável área da superfície nasal comparada em relação aos tempos pré-operatório (T0), pós-operatório de 6 meses (T1) e pós-operatório de 12 meses (T2) pelo GEE model..... | 74 |

Gráfico 8. Médias e desvios padrões da variável área da narina direita comparada em relação aos tempos pré-operatório (T0), pós-operatório de 6 meses (T1) e pós-operatório de 12 meses (T2) pelo GEE model..... 75

Gráfico 9. Médias e desvios padrões da variável área da narina esquerda comparada em relação aos tempos pré-operatório (T0), pós-operatório de 6 meses (T1) e pós-operatório de 12 meses (T2) pelo GEE model. 75

Gráfico 10. Médias e desvios padrões da variável comprimento nasal comparada em relação aos tempos pré-operatório (T0), pós-operatório de 6 meses (T1) e pós-operatório de 12 meses (T2) pelo GEE model..... 75

Gráfico 11. Médias e desvios padrões da variável índice nasal comparada em relação aos tempos pré-operatório (T0), pós-operatório de 6 meses (T1) e pós-operatório de 12 meses (T2) pelo GEE model..... 76

Gráfico 12. Médias e desvios padrões da variável largura alar comparada em relação aos tempos pré-operatório (T0), pós-operatório de 6 meses (T1) e pós-operatório de 12 meses (T2) pelo GEE model..... 76

Gráfico 13. Médias e desvios padrões da variável Projeção da Ponta Nasal esquerda comparada em relação aos tempos pré-operatório (T0), pós-operatório de 6 meses (T1) e pós-operatório de 12 meses (T2) pelo GEE model..... 76

Gráfico 14. Médias e desvios padrões da variável Projeção da Ponta Nasal Direita comparada em relação aos tempos pré-operatório (T0), pós-operatório de 6 meses (T1) e pós-operatório de 12 meses (T2) pelo GEE model. 77

LISTA DE TABELAS

| | |
|--|----|
| Tabela 1. Pontos de referência (landmarks) utilizados no presente trabalho com suas abreviações e definições..... | 50 |
| Tabela 2. Tipos de narinas segundo Farkas..... | 61 |
| Tabela 3. Classificação do tipo nasal segundo o índice nasal (Naini, 2014) | 65 |
| Tabela 4. Valores médios dos movimentos cirúrgicos planejados..... | 69 |
| Tabela 5. Comparação das médias das variáveis estudadas entre os tempos pré-operatório (T0), pós-operatório de 6 meses (T1) e pós-operatório de 12 meses (T2) pelo GEE model..... | 71 |
| Tabela 6. Análise descritiva da Rotação da ponta nasal através da sobreposição das imagens 3D entre os tempos avaliados. | 72 |
| Tabela 7. Análise descritiva dos tipos de narinas e tipo nasal nos diferentes tempos de avaliação. | 72 |

LISTA DE SIGLAS

2D – Bidimensional

3D – Tridimensional

CEP – Comitê de Ética em Pesquisa

USP - Universidade de São Paulo

FORP - Faculdade de Odontologia de Ribeirão Preto

BVS – Biblioteca Virtual em Saúde

OSRM – Osteotomia Sagital do Ramo Mandibular

PVPI – Polivinil Pirrolidona Iodo

ENA – Espinha nasal anterior

LAPESE - Laboratório de Pesquisa em Eletromiografia do Sistema Estomatognático

US - United States

NJ – Nova Jersey

ICC – Coeficiente de Correlação Interclasse

SP – São Paulo

GEE - Equações de Estimações Generalizadas

IN - Índice nasal

VAM - “VECTRA® Analysis Module”

IBM - International Business Machines

SPSS – Statistical Package for the Social Sciences

EUA – Estados Unidos da América

SUMÁRIO

| | |
|---|----|
| 1 INTRODUÇÃO..... | 33 |
| 2 PROPOSIÇÃO | 39 |
| 2.1 OBJETIVO GERAL | 39 |
| 2.2 OBJETIVOS ESPECÍFICOS | 39 |
| 3 MATERIAIS E MÉTODOS..... | 43 |
| 3.1 PESQUISA BIBLIOGRÁFICA..... | 43 |
| 3.2 CRITÉRIOS DE AMOSTRAGEM | 43 |
| 3.2.1 CRITÉRIOS DE INCLUSÃO..... | 43 |
| 3.2.2 CRITÉRIOS DE EXCLUSÃO | 44 |
| 3.3 MÉTODOS | 44 |
| 3.3.1 METODOLOGIA CLÍNICO-CIRÚRGICA..... | 44 |
| 3.3.2 METODOLOGIA LABORATORIAL | 47 |
| 3.3.2.1 AQUISIÇÃO DAS IMAGENS TRIDIMENSIONAIS | 48 |
| 3.3.2.2 CALIBRAÇÃO DOS OPERADORES | 49 |
| 3.3.2.3 PROTOCOLO DE MARCAÇÃO DOS PONTOS DE REFERÊNCIA NA FACE..... | 49 |
| 3.3.2.4 POSICIONAMENTO DOS PARTICIPANTES PARA CAPTURA DAS IMAGENS 3D | 52 |
| 3.3.2.5 DIGITALIZAÇÃO DAS MARCAÇÕES DOS PONTOS DE REFERÊNCIA NA FACE (<i>LANDMARKS</i>) | 54 |
| 3.4 MENSURAÇÃO DE ÁREAS, ÂNGULOS E MEDIDAS LINEARES..... | 55 |
| 3.4.1 ÁREAS (MM ²)..... | 55 |
| 3.4.1.1 SUPERFÍCIE NASAL | 57 |
| 3.4.1.2 NARINAS | 58 |
| 3.4.1.2.1 NARINA ESQUERDA..... | 58 |

| | |
|--|-----|
| 3.4.1.2.2 NARINA DIREITA | 58 |
| 3.4.2 ÂNGULOS (GRAUS) | 59 |
| 3.4.2.1 ÂNGULO NASOFRONTAL | 59 |
| 3.4.2.2 ÂNGULO NASOLABIAL | 60 |
| 3.4.2.3 ÂNGULO DE INCLINAÇÃO NASAL | 60 |
| 3.4.2.4 ÂNGULO NARINÁRIO | 60 |
| 3.4.3 MEDIDAS LINEARES (MM) | 61 |
| 3.4.3.1 LARGURA ALAR | 61 |
| 3.4.3.2 ALTURA NASAL | 62 |
| 3.4.3.3 COMPRIMENTO NASAL | 62 |
| 3.4.3.4 PROJEÇÃO DA PONTA NASAL | 63 |
| 3.4.4 ROTAÇÃO DA PONTA NASAL | 63 |
| 3.4.5 ÍNDICE NASAL | 63 |
| 3.4.6 CLASSIFICAÇÃO DO TIPO NASAL | 64 |
| 3.5 METODOLOGIA ESTATÍSTICA | 65 |
| 4 RESULTADOS | 69 |
| 5 DISCUSSÃO | 81 |
| 6 CONCLUSÃO | 93 |
| 7 REFERÊNCIAS | 97 |
| APÊNDICES | 105 |
| ANEXOS | 117 |

Introdução

1 INTRODUÇÃO

Os problemas dentofaciais mais graves afetam 5% da população (PROFFIT; WHITE, 2015; PROFFIT; WHITE; SARVER, 2003). Com o aprimoramento da Cirurgia Buco-Maxilo-Facial e Ortodontia, o tratamento das deformidades dentofaciais tornou-se possível por meio da cirurgia ortognática (ACKERMAN; PROFFIT, 1995; SONCUL; BAMBER, 2004) que visa melhorar a função e estética facial (BELL; DANN, 1973; DANTAS; SILVEIRA; VASCONCELOS; PORTO, 2015; DESESA; METZLER; SAWH-MARTINEZ; STEINBACHER, 2016; H BELL; SCHENDEL, 1977; HONRADO; LEE; BLOOMQUIST; LARRABEE, 2006; PHILLIPS; MEDLAND; FIELDS; PROFFIT *et al.*, 1992; VAN LOON; VAN HEERBEEK; BIERENBROODSPOT; VERHAMME *et al.*, 2015; WORASAKWUTIPHONG; CHUANG; CHANG; LIN *et al.*, 2015), corrigindo problemas de origem congênita e/ou adquirida (ALTMAN; OELTJEN, 2007).

A partir do estabelecimento das bases biológicas do reparo ósseo das osteotomias maxilares e mandibulares (BELL, 1975; BELL; DANN, 1973), ocorreu intenso desenvolvimento de técnicas que melhor abordassem as deformidades dentofaciais. Associado à evolução das técnicas anestésicas e somado à importância assumida pela estética facial, um maior número de pacientes tem buscado o tratamento orto-cirúrgico (PHILLIPS; MEDLAND; FIELDS; PROFFIT *et al.*, 1992; PROFFIT; WHITE, 2015).

As mudanças no esqueleto maxilo-mandibular decorrentes da cirurgia ortognática repercutem sobre o tecido mole de recobrimento da face (ALTMAN; OELTJEN, 2007; METZLER; GEIGER; CHANG; SIRISOONTORN *et al.*, 2014; VAN LOON; VAN HEERBEEK; BIERENBROODSPOT; VERHAMME *et al.*, 2015). Dentre as alterações faciais, estudos mostram mudanças significativas na morfologia nasal (HOWLEY; ALI; LEE; COX, 2011; METZLER; GEIGER; CHANG; SIRISOONTORN *et al.*, 2014; WORASAKWUTIPHONG; CHUANG; CHANG; LIN *et al.*, 2015). Sendo o nariz parte central da face e um importante elemento na expressão, estética e atratividade facial, qualquer procedimento cirúrgico realizado para corrigir ou alterar as características faciais terá um efeito resultante na estética nasal (ALTMAN; OELTJEN, 2007; HONRADO; LEE; BLOOMQUIST; LARRABEE, 2006; JEONG; LEE; JUNG; PARK *et al.*, 2017; SCHENDEL; CARLOTTI, 1991; WORASAKWUTIPHONG; CHUANG; CHANG; LIN *et al.*, 2015).

Tornou-se extremamente necessário que o cirurgião buco-maxilo-facial entenda e preveja as possíveis mudanças nos tecidos moles da face derivadas da cirurgia ortognática (BELL; DANN, 1973). Com esse conhecimento, pode quantificar e planejar as alterações faciais, aumentar a comunicação com os pacientes e com a equipe envolvida no tratamento (ALTMAN; OELTJEN, 2007; HONRADO; LEE; BLOOMQUIST; LARRABEE, 2006; SYKES; AMIN; HATCHER; KIM, 2011), avaliar as expectativas estéticas e funcionais dos pacientes e a possível necessidade de futuras cirurgias nasais para um resultado esteticamente agradável (ALTMAN; OELTJEN, 2007; DANTAS; SILVEIRA; VASCONCELOS; PORTO, 2015; HONRADO; LEE; BLOOMQUIST; LARRABEE, 2006).

A análise facial precisa é a base da cirurgia estética e funcional da face (SYKES; AMIN; HATCHER; KIM, 2011), sendo a antropometria fundamental na avaliação clínica, no diagnóstico, na análise do padrão de crescimento e planejamento orto-cirúrgico (DE MENEZES; ROSATI; FERRARIO; SFORZA, 2010). Historicamente, consagrou-se a utilização de métodos bidimensionais para análise da face, como radiografias cefalométricas e fotografias clínicas, no entanto, são formas imprecisas, limitadas e incapazes de mostrar as alterações tridimensionais de um assunto 3D, como a face (HONRADO; LEE; BLOOMQUIST; LARRABEE, 2006; HOWLEY; ALI; LEE; COX, 2011; SONCUL; BAMBER, 2004; SYKES; AMIN; HATCHER; KIM, 2011; VAN LOON; VAN HEERBEEK; BIERENBROODSPOT; VERHAMME *et al.*, 2015; WORASAKWUTIPHONG; CHUANG; CHANG; LIN *et al.*, 2015). A dificuldade em representar um modelo tridimensional, como, a face, de forma bidimensional, potencializa a perda de dados e a falha em explicar as diferenças na profundidade facial, simetria e formato (ALVES; ZHAO; PATEL; BOLOGNESE, 2009; LI; YANG; LI, 2016).

Para medir um objeto em três dimensões e superar as deficiências dos vários métodos 2D, técnicas de imagem 3D foram desenvolvidas (VAN LOON; VAN HEERBEEK; BIERENBROODSPOT; VERHAMME *et al.*, 2015). Nos últimos anos, uma variedade de técnicas de aquisição de imagens 3D surgiu e passaram a ser aplicadas na obtenção de imagens do corpo humano (ALVES; ZHAO; PATEL; BOLOGNESE, 2009). Exames de ultrassonografia, tomografia computadorizada, ressonância magnética e escaneamento a laser geram imagens tridimensionais. No entanto, alguns desses métodos possuem limitações, como, alto custo, radiação ionizante e pobre resolução (DE MENEZES; ROSATI; FERRARIO; SFORZA, 2010;

SFORZA; DE MENEZES; FERRARIO, 2013; SONCUL; BAMBER, 2004; WEINBERG; SCOTT; NEISWANGER; BRANDON *et al.*, 2004).

Um desses métodos de imagem capaz de capturar dados tridimensionais é a estereofotogrametria 3D (VAN LOON; VAN HEERBEEK; BIERENBROODSPOT; VERHAMME *et al.*, 2015). Essa técnica de imagem 3D tem-se destacado entre as novas modalidades de análise facial tridimensional (WONG; OH; OHTA; HUNT *et al.*, 2008), sendo um método rápido, de menor período de interação com o paciente, menor efeito de movimento do assunto, não invasivo, preciso, repetível, sem contato com a superfície facial e obtenção de banco de dados digital (AYNECHI; LARSON; LEON-SALAZAR; BEIRAGHI, 2011; AYOUB; SIEBERT; MOOS; WRAY *et al.*, 1998; DE MENEZES; ROSATI; FERRARIO; SFORZA, 2010; GHODDOUSI; EDLER; HAERS; WERTHEIM *et al.*, 2007; NAUDI; BENRAMADAN; BROCKLEBANK; JU *et al.*, 2013; WORASAKWUTIPHONG; CHUANG; CHANG; LIN *et al.*, 2015). Além disso, as imagens 3D possuem melhor resolução da anatomia da superfície externa com cor e textura (DE MENEZES; ROSATI; FERRARIO; SFORZA, 2010; SFORZA; LAINO; D'ALESSLO; DELLAVIA *et al.*, 2007; WEINBERG; SCOTT; NEISWANGER; BRANDON *et al.*, 2004).

A imagem 3D é útil e aplicável para avaliação clínica das deformidades dentofaciais em cirurgia maxilo-facial, plástica, reconstrutiva e estética (DE MENEZES; ROSATI; FERRARIO; SFORZA, 2010; HONRADO; LEE; BLOOMQUIST; LARRABEE, 2006; SCHENDEL, 2015). É possível analisar os modelos geométricos 3D da face em qualquer ponto de vista (AYOUB; SIEBERT; MOOS; WRAY *et al.*, 1998), sendo uma ferramenta com potencial para avaliação quantitativa da face, (WORASAKWUTIPHONG; CHUANG; CHANG; LIN *et al.*, 2015), auxiliando na comunicação, no planejamento cirúrgico individualizado, na visualização da cirurgia ortognática, no entendimento das mudanças tridimensionais da face e na melhoria das terapias de tratamento, tornando assim o procedimento cirúrgico mais previsível (ALVES; ZHAO; PATEL; BOLOGNESE, 2009; LI; YANG; LI, 2016; SYKES; AMIN; HATCHER; KIM, 2011).

O presente estudo busca avaliar retrospectivamente as alterações morfométricas do nariz em pacientes submetidos a cirurgia ortognática bimaxilar utilizando imagens estereofotogramétricas tridimensionais (imagens 3D).

Proposição

2 PROPOSIÇÃO

2.1 Objetivo geral

O objetivo do presente estudo foi avaliar retrospectivamente as alterações dos tecidos moles da região nasal em pacientes submetidos à cirurgia ortognática bimaxilar utilizando imagens estereofotogramétricas armazenadas em banco de dados.

2.2 Objetivos específicos

- Quantificar alterações dimensionais lineares, angulares e áreas da região nasal;
- Avaliar a estabilidade dos tecidos moles nasais após cirurgia ortognática bimaxilar.

Materiais e Métodos

3 MATERIAIS E MÉTODOS

Este estudo foi submetido à Comissão de Ética em Pesquisa e aprovado em apreciação ética no CEP USP – Faculdade de Odontologia de Ribeirão Preto – FORP/USP EM 02/07/2019, CAAE: 16667119.9.0000.5419.

Todos os voluntários que aceitaram participar deste estudo assinaram o termo de consentimento livre e esclarecido, sendo informados sobre a pesquisa, seus objetivos, benefícios, riscos, procedimentos, desconfortos e o caráter sigiloso dos dados obtidos. Este estudo foi realizado de acordo com os pressupostos da Declaração de Helsinque.

3.1 Pesquisa bibliográfica

Foi elaborada uma estratégia de busca e realizada pesquisa bibliográfica nas bases de dados Pubmed, Web of Science, Scopus, Bireme (BVS), Scielo, Embase, CENTRAL (cochrane), Google acadêmico. Utilizou-se as palavras-chave: Stereophotogrammetry, orthognathic surgery, nasal morphology, three-dimensional image e nasal change. A pesquisa ficou restrita a artigos e revisões publicadas em periódicos na língua inglesa.

3.2 Critérios de amostragem

Este estudo realizou uma avaliação retrospectiva de todos os prontuários e imagens 3D dos pacientes submetidos à cirurgia ortognática bimaxilar no curso de Residência em Cirurgia e Traumatologia Buco-Maxilo-Faciais da Faculdade de Odontologia de Ribeirão Preto - USP, no período de agosto de 2013 a dezembro de 2019.

3.2.1 Critérios de inclusão

Os critérios de inclusão neste estudo foram: maturidade esquelética, realização de cirurgia ortognática bimaxilar, Osteotomia Le Fort I (BELL, 1975), Osteotomia Sagital do Ramo Mandibular (OSRM) (EPKER, 1977), uso de placas e parafusos do sistema de 1,5 mm para a fixação da maxila, uso de uma placa reta e parafusos do sistema de 2,0 mm para a fixação da mandíbula, obtenção das imagens 3D no pré-operatório e nos retornos pós-operatórios.

3.2.2 Critérios de exclusão

Os critérios de exclusão elegidos para nossa amostra foram: movimentos maxilares acima de 8 mm, seja, anteroposterior, vertical ou transversal; movimento anteroposterior da mandíbula maior que 10 mm; rotações mandibulares com mais de 8 mm; mentoplastia; cirurgias segmentares; utilização de sistema ou técnicas de fixação diferentes do protocolo cirúrgico (Exemplo: fios de aço, parafusos posicionais, sistemas híbridos, placas Lindorf para maxila, placas grade); fissuras labiopalatais; procedimento cirúrgico adicional no trans ou pós-operatório (exemplo: uso de biomaterial ou enxerto ósseo, implantes dentários, lateralização do nervo alveolar inferior, remoção de placas e/ou parafusos, ressutura da base alar, septoplastia, rinoplastia); realização de tratamentos estético facial (procedimentos de harmonização orofacial) durante o período de acompanhamento; presença de pelos faciais; realização de suturas tipo V-Y; trauma de face durante o período pós-operatório; infecção em face, sendo pós-operatórias ou de origem odontogênica; patologias associadas ao sistema estomatognático; reabordagem de cirurgia ortognática; falha do sistema de fixação; falta de dados no prontuário do paciente.

3.3 Métodos

3.3.1 Metodologia clínico-cirúrgica

Os pacientes foram avaliados por meio de anamnese, exame clínico e documentação ortodôntica. Em concordância com o ortodontista, era indicado a realização de tratamento orto-cirúrgico visando a cirurgia ortognática. Ao término da

movimentação ortodôntica pré-operatória os arcos dentários eram estabilizados e o resultado ortodôntico pré-cirúrgico avaliado com auxílio de telerradiografias, modelos de gesso, radiografia panorâmica e/ou tomografia computadorizada da face. A anamnese e exame clínico eram revisados, exames laboratoriais (Hemograma, Coagulograma, Ureia, Creatinina, Sódio, Potássio, Glicemia) solicitados e agendava-se consulta pré-operatória com médico anestesiologista.

Os planejamentos cirúrgicos foram realizados da forma tradicional ou virtual, passando por uma fase laboratorial com uso de articulador semi-ajustável e plataforma de Erickson, ou uso de software que gerava uma guia cirúrgica para impressão 3D, respectivamente.

As cirurgias foram realizadas no Programa de Residência em Cirurgia e Traumatologia Buco-Maxilo-Faciais da Faculdade de Odontologia de Ribeirão Preto - FORP – USP em hospitais credenciados, tendo como operadores um professor orientador e um residente do terceiro ano.

O procedimento cirúrgico transcorria sob anestesia geral seguindo protocolo anestésico com jejum absoluto de 8 horas, intubação nasotraqueal, posição de decúbito dorsal horizontal, administração intravenosa de Cefazolina Sódica e Dexametasona. Para segurança e prevenção de acidentes, era realizado imobilização do paciente, proteção ocular, fixação do tubo nasotraqueal e estabilização da cabeça.

O protocolo antisséptico consistia no uso de PVPI 10% (1% iodo ativo) tópico intra e extrabucal. No caso de pacientes alérgicos à iodo, utilizava-se solução aquosa de clorexidina 2%. Em seguida, campos cirúrgicos estéreis eram posicionados isolando a região de interesse cirúrgico.

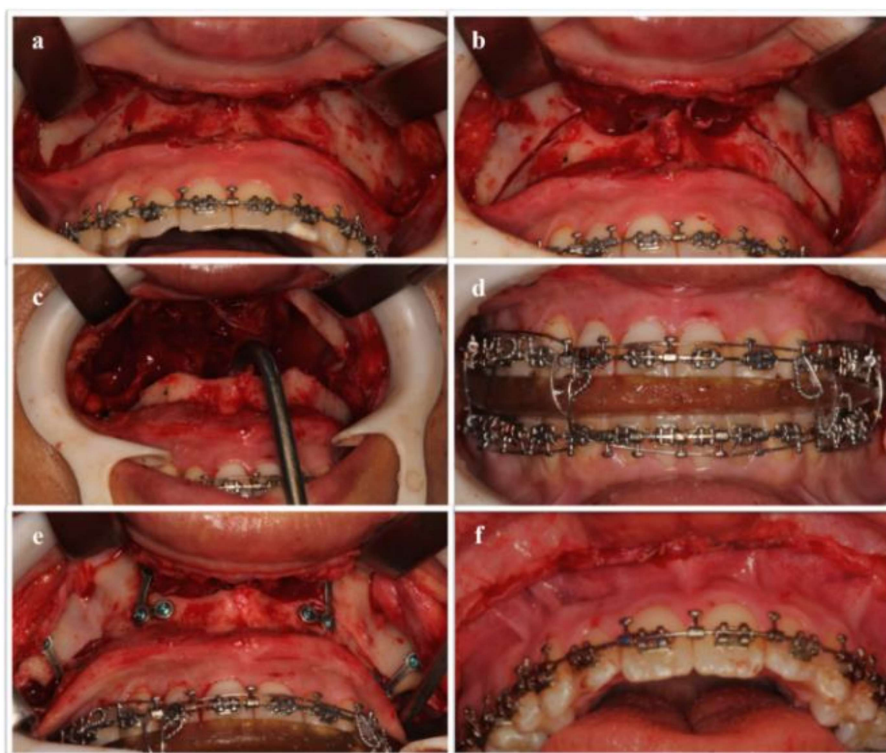
Todas as cirurgias abordaram primeiramente a maxila. Era realizada infiltração de solução anestésica (lidocaína 2% e epinefrina 1:200.000) no fundo de sulco vestibular da maxila. Em seguida, confeccionado o acesso intrabucal em maxila com uma incisão na região vestibular de aproximadamente 3 a 5 mm acima da junção mucogengival estendendo-se posteriormente até primeiro molar bilateralmente (ELLIS III; ZIDE, 2006) e descolamento mucoperosteal para expor a superfície óssea da maxila e cavidade nasal (Figura 1.a).

As osteotomias, sejam elas maxilares ou mandibulares, eram realizadas utilizando serra reciprocante ou inserto cirúrgico ultrassônico, e complementadas com cinzéis (figura 1.b). Após osteotomia Le Fort I realizava-se a *down fracture* (figura 1.c), mobilização da maxila, osteoplastia para retirada de interferências ósseas e na sutura

mediana da maxila para adaptação do septo nasal. Deve-se ressaltar que eram mantidos os contornos das fossas nasais, entretanto a espinha nasal anterior (ENA) era removida. Então, a maxila era posicionada por meio da guia cirúrgico intermediário e bloqueio intermaxilar com fios de aço nº1 (figura 1.d), possibilitando a fixação óssea com 4 placas e parafusos (figura 1.e).

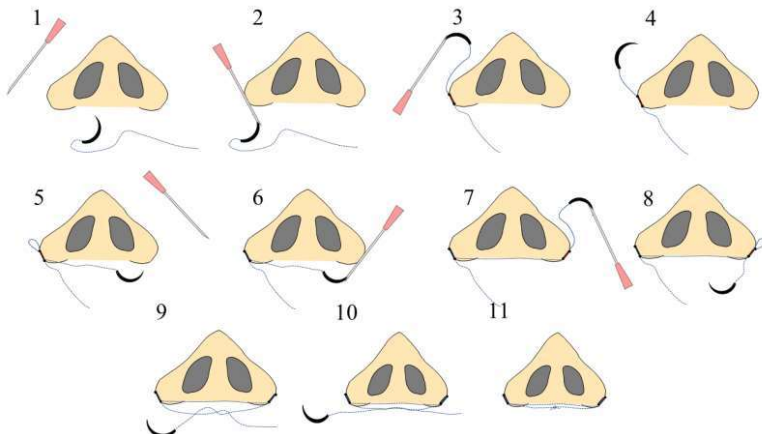
Após a fixação da maxila, era realizado a sutura da base alar com fio não absorvível de nylon 3-0. Nesse estudo, uma agulha hipodérmica 40x12 foi utilizada como um guia transcutâneo para localização do tecido fibroauricular da abertura piriforme e passagem do fio de sutura de intrabucal para extrabucal. Em seguida, faz-se o retorno do fio de nylon 3-0 para o meio intrabucal pelo mesmo orifício de saída buscando aprisionamento de maior quantidade de tecido mole. Após realizar essa sequência de passos bilateralmente, o nó entre as extremidades do fio era realizado (figura 2). Para síntese dos tecidos, realiza-se sutura simples na linha média, tendo como referência o freio labial, e sutura de colchoeiro ou contínua em “U” da região posterior para anterior com fio absorvível à base de Poliglactina 910 4-0 (figura 1.f).

Figura 1 - Sequência cirúrgica para maxila. a. Acesso vestibular em fundo de sulco; b. Osteotomia Le Fort I; c. down fracture; d. bloqueio maxilomandibular com uso da guia cirúrgica intermediária; e. fixação da maxila com 4 placas e parafusos do sistema de 1,5 mm; f. Sutura em colchoeiro.



Fonte: Sverzut, C.E. (2020)

Figura 2. Sequência esquemática da técnica da sutura da base alar utilizada neste estudo.



Fonte: Sousa, L. M. (2021)

Na mandíbula, após infiltração anestésica sobre a linha oblíqua externa, era realizado incisão linear para acesso da região do ramo ascendente estendendo-se até o primeiro molar ipsilateral e descolamento tecidual (ELLIS III; ZIDE, 2006). Em seguida eram realizadas, as OSRM's, bloqueio maxilo-mandibular em oclusão final, fixação com placas retas e parafusos monocorticais (MICHELET; BENOIT; FESTAL; DESPUJOLS *et al.*, 1971; MICHELET; QUENTIN, 1971), remoção do bloqueio maxilo-mandibular e conferência da oclusão dentária.

Durante a alta hospitalar, os pacientes e familiares eram orientados sobre os medicamentos e recomendações pós-operatórias. A prescrição medicamentosa consistia de 500 mg de Amoxicilina a cada 6 horas por 7 dias, 100 mg de Cetoprofeno a cada 8 horas por 3 dias e 500mg de Dipirona Sódica a cada 6 horas em caso de dor, todos por via oral. A dieta pós-operatória era líquida nas primeiras 4 semanas, pastosa por mais 2 semanas e a partir da 7^º semana o paciente foi orientado a retornar à sua dieta normal evitando alimentos duros por mais 2 meses.

Durante o primeiro mês pós-operatório, os pacientes eram reavaliados semanalmente. Em seguida, retornavam com 2, 6 e 12 meses. Após o primeiro ano, as consultas de retorno eram anuais até completar 5 anos de acompanhamento.

3.3.2 Metodologia laboratorial

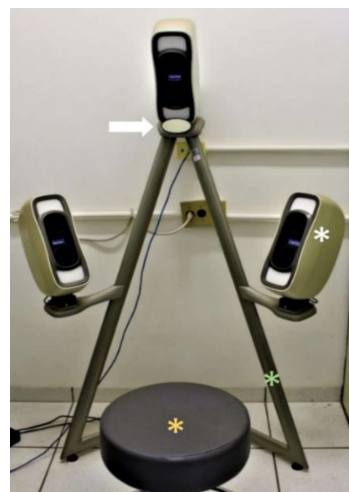
3.3.2.1 Aquisição das imagens tridimensionais

As imagens 3D foram obtidas na consulta pré-operatória e nos retornos pós-operatórios no Laboratório de Pesquisa em Eletromiografia do Sistema Estomatognático (LAPESE). Neste estudo, foram avaliadas somente as imagens 3D pré-operatórias (T0), 6 meses (T1) e 12 meses (T2) após a cirurgia.

O método estereofotogramétrico foi utilizado para aquisição das imagens e consiste em um grupo de câmeras que capturam diferentes ângulos do assunto simultaneamente e um software reconstrói uma imagem 3D (DE MENEZES; ROSATI; FERRARIO; SFORZA, 2010). Esses dispositivos são considerados como produtos de saúde que se enquadram na categoria de dispositivos médicos (SIGAUX; GANRY; MOJALLAL; BRETON *et al.*, 2018).

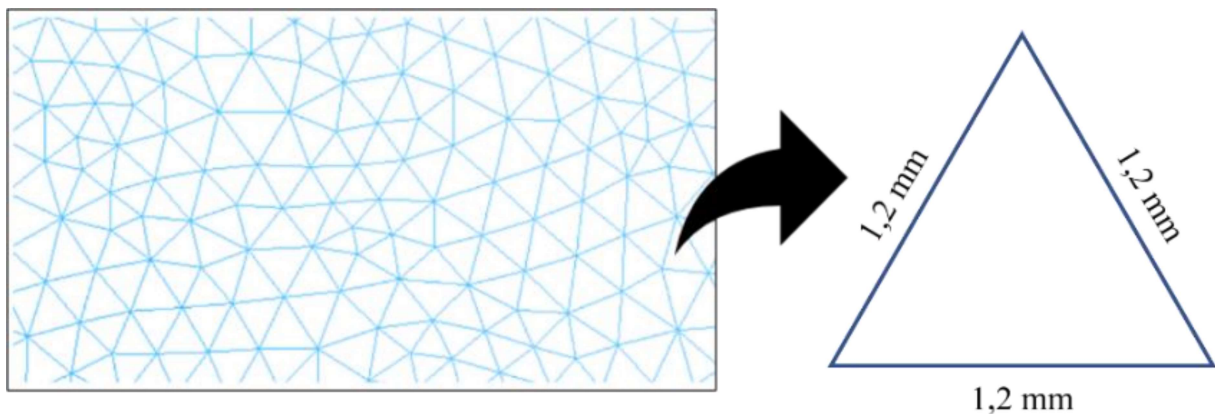
O aparelho utilizado para captar as imagens foi o Vectra® M3 (Canfield, NJ, EUA) (Figura 3) com sistema de captura apresentando resolução geométrica de 1,2 mm (comprimento da aresta do triângulo) (Figura 4), 3,5 milissegundos de tempo de captura, unidades de flash, tecnologia de estereofotogrametria, suporte terrestre, mocho e computador Dell, Inc. (Dell U.S., Texas, United States), modelo Precision T3500 com sistema operacional Microsoft Windows 7 Ultimate de 64 bits, tela plana 1920 X 1080 pixels. O software continha um programa de aquisição da imagem 3D "VECTRA® Capture Module" e um programa de análise tridimensional "VECTRA® 3D Analysis Module".

Figura 3. Aparelho Vectra® M3 (Canfield, NJ, EUA), formado por unidades de flash (asterisco branco), suporte terrestre (asterisco verde), mocho (asterisco amarelo) e espelho frontal (seta branca).



Fonte: Sousa, L. M. (2021)

Figura 4. Malha triangular formada no sistema VECTRA 3D possuindo resolução geométrica de 1,2 mm (comprimento da aresta do triângulo).



Fonte: Sousa, L. M. (2021)

3.3.2.2 Calibração dos operadores

Para manuseio eficiente do aparelho Vectra® M3, acuraria nas medições e visando maior fidedignidade do trabalho, foi realizado a etapa de treinamento com o sistema de estereofotogrametria. Dois operadores experientes forneceram capacitação a dois operadores inexperientes na marcação da face e aquisição das imagens 3D. A amostra continha 10 voluntários, não importando o sexo, etnia ou idade. Em cada um dos voluntários eram realizadas 2 fotos, sendo a primeira imagem da face em repouso e outra sorrindo. Após avaliação minuciosa da qualidade da fotografia 3D obtida, onde era julgada a presença de todos os pontos de referência (*landmarks*) e ocorrência de sombras, 28 medidas lineares foram calculadas. Os resultados passaram por análise estatística e os valores do coeficiente de correlação interclasse (ICC) entre examinadores para as diferentes medidas avaliadas apresentaram-se $ICC > 0,75$, ou seja, alta concordância entre os examinadores.

3.3.2.3 Protocolo de marcação dos pontos de referência na face

A escolha dos pontos de referência na face para marcação e obtenção das medidas foi orientada através de estudos antropométricos consagrados na literatura

científica (FARKAS; KOLAR, 1987; FERRARIO; SFORZA; SCHMITZ; MIANI *et al.*, 1998). O protocolo de marcação facial do LAPESE FORP-USP apresenta 32 *landmarks* (figura 6), no entanto, no presente estudo serão necessárias apenas 12 marcações (Tabela 1).

Neste protocolo de marcação facial alguns pontos de referência dos tecidos moles são derivados de pontos craniométricos. Em imagens 3D, as estruturas ósseas não estão disponíveis nem são palpáveis, portanto, os pontos de referência em tecido mole relacionados aos ossos precisam ser redefinidos. A redefinição da relação entre marcos ósseos e tecido mole resultou em uma análise de tecidos moles baseada em imagens 3D precisa e confiável. Isso mostra que os dados do tecido duro não são necessários para realizar uma análise precisa de tecido mole (PLOOIJ; SWENNEN; RANGEL; MAAL *et al.*, 2009).

Produção de artefatos devido aos cabelos e pelos da face podem superestimar o relevo de superfície (SIGAUX; GANRY; MOJALLAL; BRETON *et al.*, 2018). Assim, todos os pacientes foram preparados para coleta das imagens utilizando uma faixa na cabeça com a finalidade de afastar os cabelos (figura 5.c). No caso de pelos na face em pacientes do sexo masculino, era necessário a realização de tricotomia previamente à aquisição das imagens. Além disso, era avaliada a necessidade de limpeza da oleosidade cutânea, sujidades, maquiagem ou algo que interferisse na imagem final. Esses cuidados eram tomados para melhorar a qualidade das imagens e facilitar a marcação dos pontos de referência

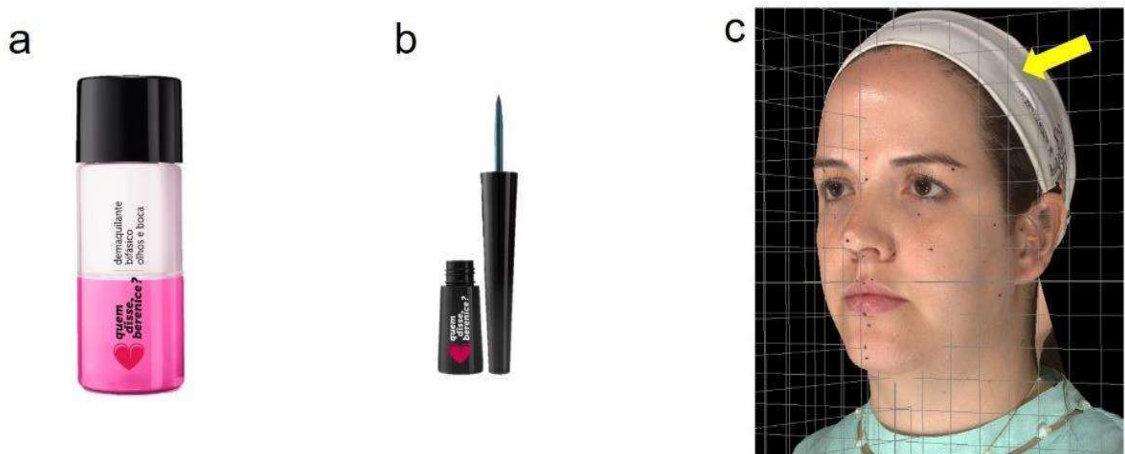
Antes da aquisição das imagens 3D, os pontos de referência eram marcados na superfície facial (figura 6). Investigações anteriores descobriram que os pontos de referência marcados na pele estavam associados a menores erros em relação aos marcados apenas digitalmente (FERRARIO; MIAN; PERETTA; ROSATI *et al.*, 2007; WONG; OH; OHTA; HUNT *et al.*, 2008). A marcação das *landmarks* foi realizada manualmente, baseando-se em referências anatômicas da face, com delineador *Pretolino* (quem disse, berenice? ®, Registro, SP, Brasil) (figura 5.b) e o operador ficava posicionado na mesma altura do paciente.

Tabela 1. Pontos de referência (*landmarks*) utilizados no presente trabalho com suas abreviações e definições.

| Abreviação | Ponto de referência | Definição |
|------------|-----------------------|--|
| G | Glabela | Ponto mais proeminente da linha mediana da fronte, entre as cristas das sobrancelhas |
| N | Nádio | Ponto médio na interseção das suturas internasal e frontonasal |
| Prn | Pronasale | Ponto mais proeminente da ponta do nariz |
| C | Columela | Ponto mais anterior na columela |
| Sn | Subnasale | Ponto mais profundo na linha mediana, em que a base de cada columela nasal encontra o lábio superior |
| Ls | Labiale superior | Ponto na linha mediana que representa a borda mucocutânea vermelha do lábio superior |
| Al[r] | Alare direito | Ponto mais lateral do contorno alar direito |
| Ac[r] | Crista alare direito | Ponto lateral mais posterior da curvatura da base da asa nasal direita |
| Al[l] | Alare esquerdo | Ponto mais lateral do contorno alar esquerdo |
| Ac[l] | Crista alare esquerdo | Ponto lateral mais posterior da curvatura da base da asa nasal esquerda |
| T[r] | Trágus direito | Ponto na incisura na margem superior do trágus direito |
| T[l] | Trágus esquerdo | Ponto na incisura na margem superior do trágus esquerdo |

Fonte: FARKAS, L.G. (1987)

Figura 5. Material utilizado na marcação das *landmarks*. a. delineador Pretolino (quem disse, berenice? ®, Registro, SP, Brasil); b. demaquilante (quem disse, berenice? ®, Registro, SP, Brasil); c. Faixa branca (seta amarela).



Fonte: Sousa, L. M. (2021)

Figura 6. Paciente em vista frontal e perfil mostrando os pontos de referência da face (marcações na cor preta e branca) utilizados no protocolo do LAPESE FORP-USP. As marcações pretas são realizadas de forma manual. Enquanto que, as marcações brancas foram realizadas digitalmente devido à dificuldade de marcação diretamente na face.

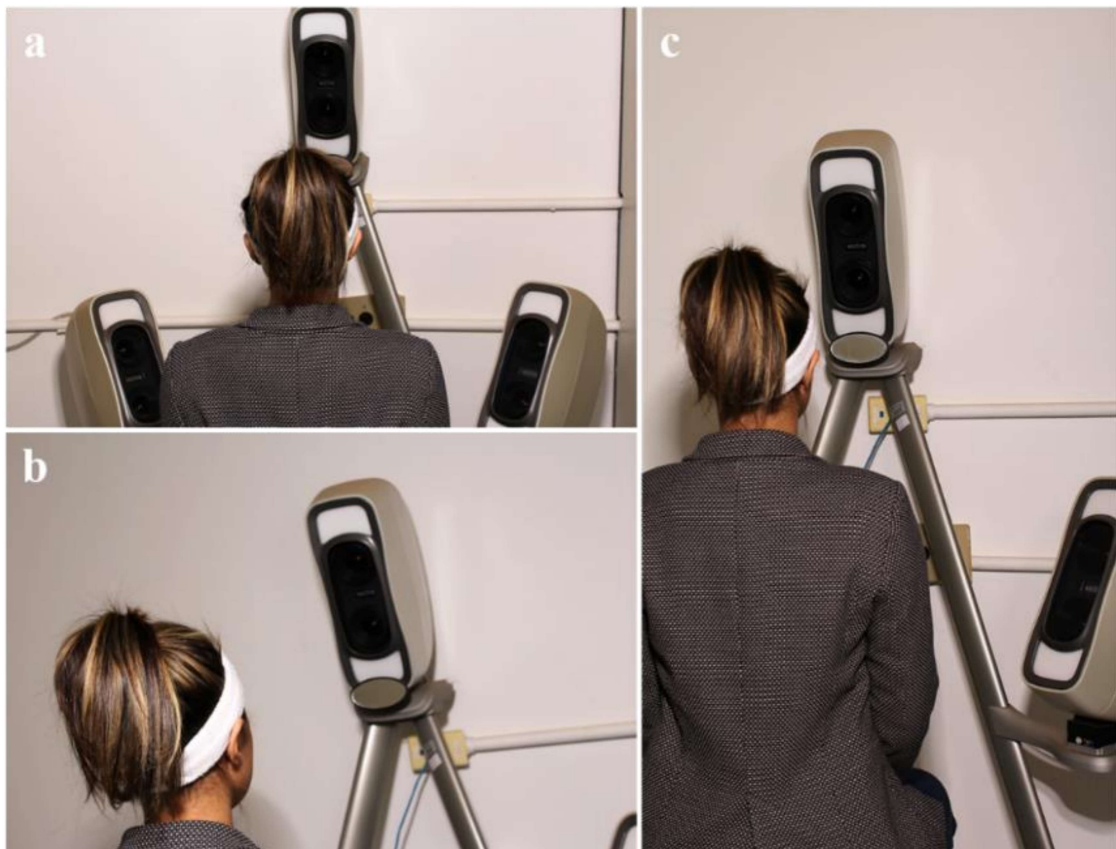


Fonte: Sousa, L. M. (2021)

3.3.2.4 Posicionamento dos participantes para captura das imagens 3D

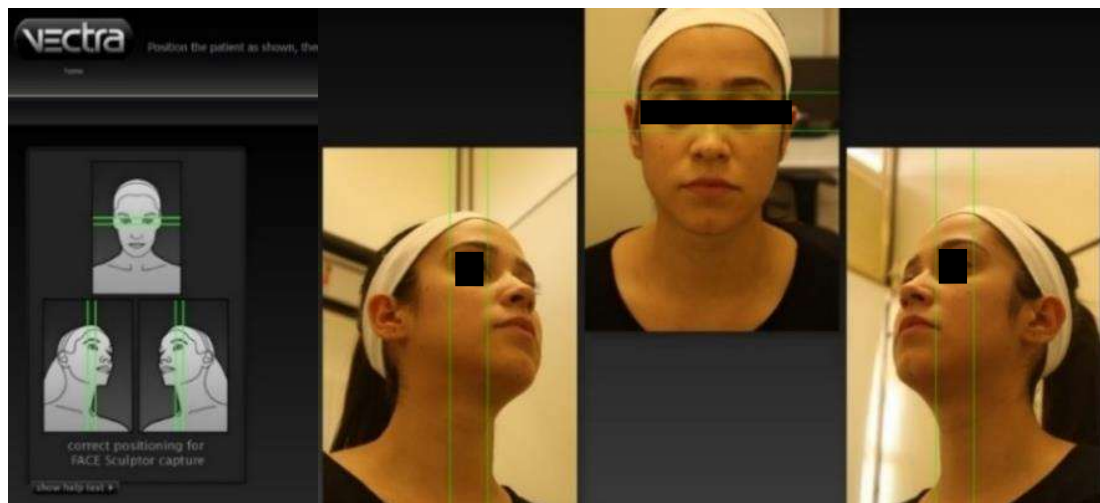
Seguindo recomendações estabelecidas na literatura para aquisição dos dados tridimensionais, os pacientes foram orientados em oclusão habitual, relaxamento da musculatura facial e manutenção dos olhos abertos (VAN LOON; VAN HEERBEEK; BIERENBROODSPOT; VERHAMME *et al.*, 2015; WORASAKWUTIPHONG; CHUANG; CHANG; LIN *et al.*, 2015). Os pacientes foram posicionados sentados, à frente, centralmente e a aproximadamente 112 cm do equipamento (figura 7.a). Para obter o posicionamento correto da face, os pacientes mantiveram a visão fixa no espelho acoplado ao suporte terrestre do VECTRA M3 (figura 7.b). Além disso, em tempo real, a face era orientada por linhas horizontais e verticais dispostas na tela do computador (Figura 8). Como protocolo do LAPASE, duas fotos eram obtidas, a primeira, com expressão facial espontânea, musculatura em repouso e dentes ocluídos, a segunda, em sorriso. Deve-se ressaltar que neste estudo foi utilizada apenas a primeira imagem.

Figura 7. Posicionamento do paciente à frente do sistema Vectra M3. a. Paciente centralizado ao aparelho; b. Paciente olhando diretamente para o espelho frontal; c. Paciente em postura ereta.



Fonte: Sousa, L. M. (2021)

Figura 8. Linhas verticais e horizontais dispostas nas imagens captadas em tempo real guiam o correto posicionamento da face do participante.



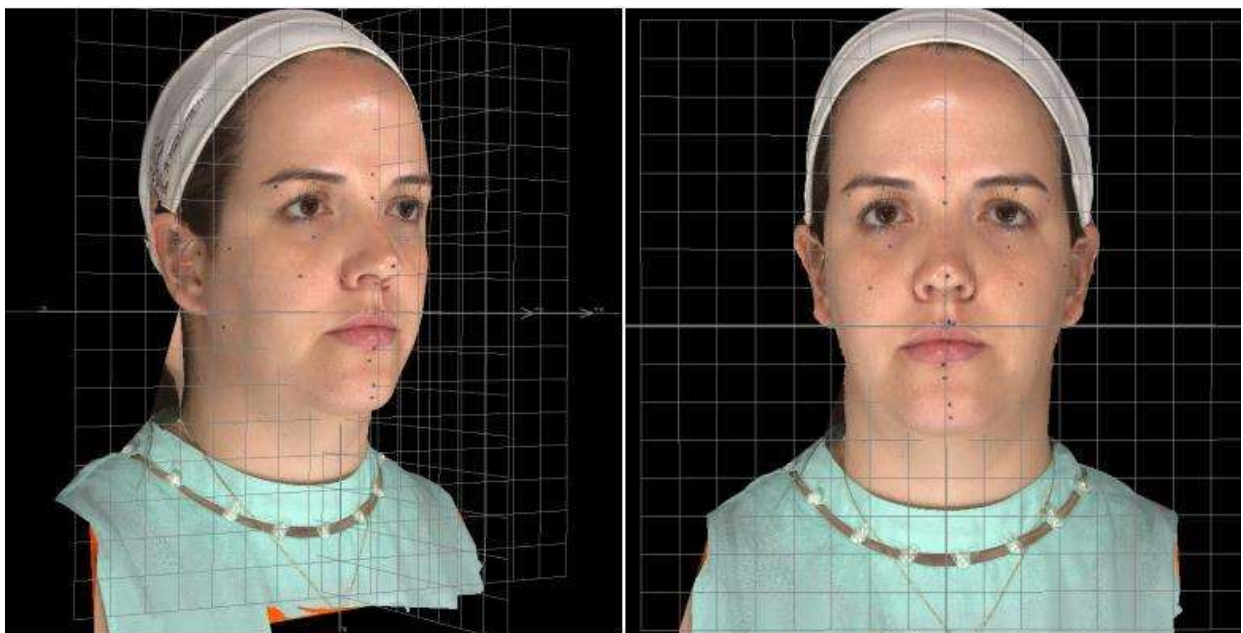
Fonte: ROZATTO, J.R. (2020)

3.3.2.5 Digitalização das marcações dos pontos de referência na face (*landmarks*)

As imagens 3D foram posicionadas e fixadas nos eixos x, y e z com base nas *landmarks* T[r], T[l], Sn e G para padronizar a posição da face e a linha média no software (Figura 9). Para digitalizar os pontos de referência, a imagem foi ampliada até que a landmark ocupasse totalmente as dimensões do monitor do computador e o centro da imagem era selecionado (Figura 10).

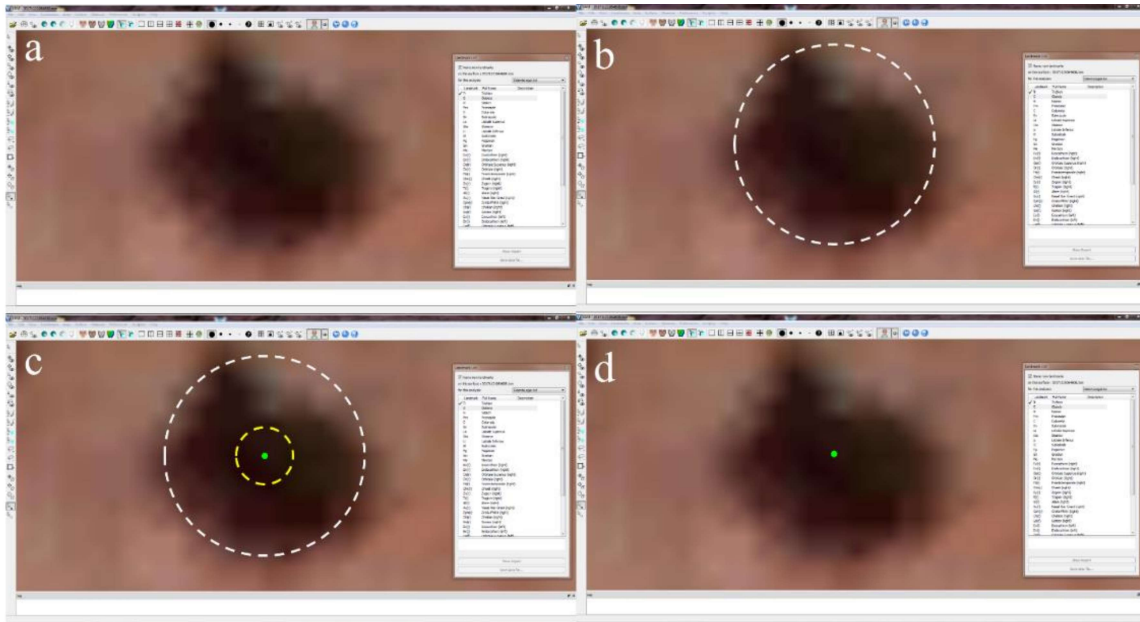
Os pontos de referência En[r], En[l], Ex[r], Ex[l], Ch[r], Ch[l] e Sto foram marcados apenas virtualmente no *VECTRA 3D Analysis Module*, por serem bem delimitados pela anatomia facial, reproduutíveis de forma confiável no computador e de difícil marcação na face. Tais *landmarks* são representados por marcações na cor branca (Figura 6).

Figura 9. Paciente orientado nos eixos X, Y e Z, tendo como base os pontos T[r], T[l], Sn e G.



Fonte: Sousa, L. M. (2021)

Figura 10. Marcação digital de *landmark*. a. Aproximação para marcação digital e central do ponto; b. delimitação visual do perímetro da marcação manual (círculo branco tracejado); c. centralização da visão do operador (círculo amarelo tracejado); d. marcação digital do ponto de referência (ponto verde).



Fonte: Sousa, L. M. (2021)

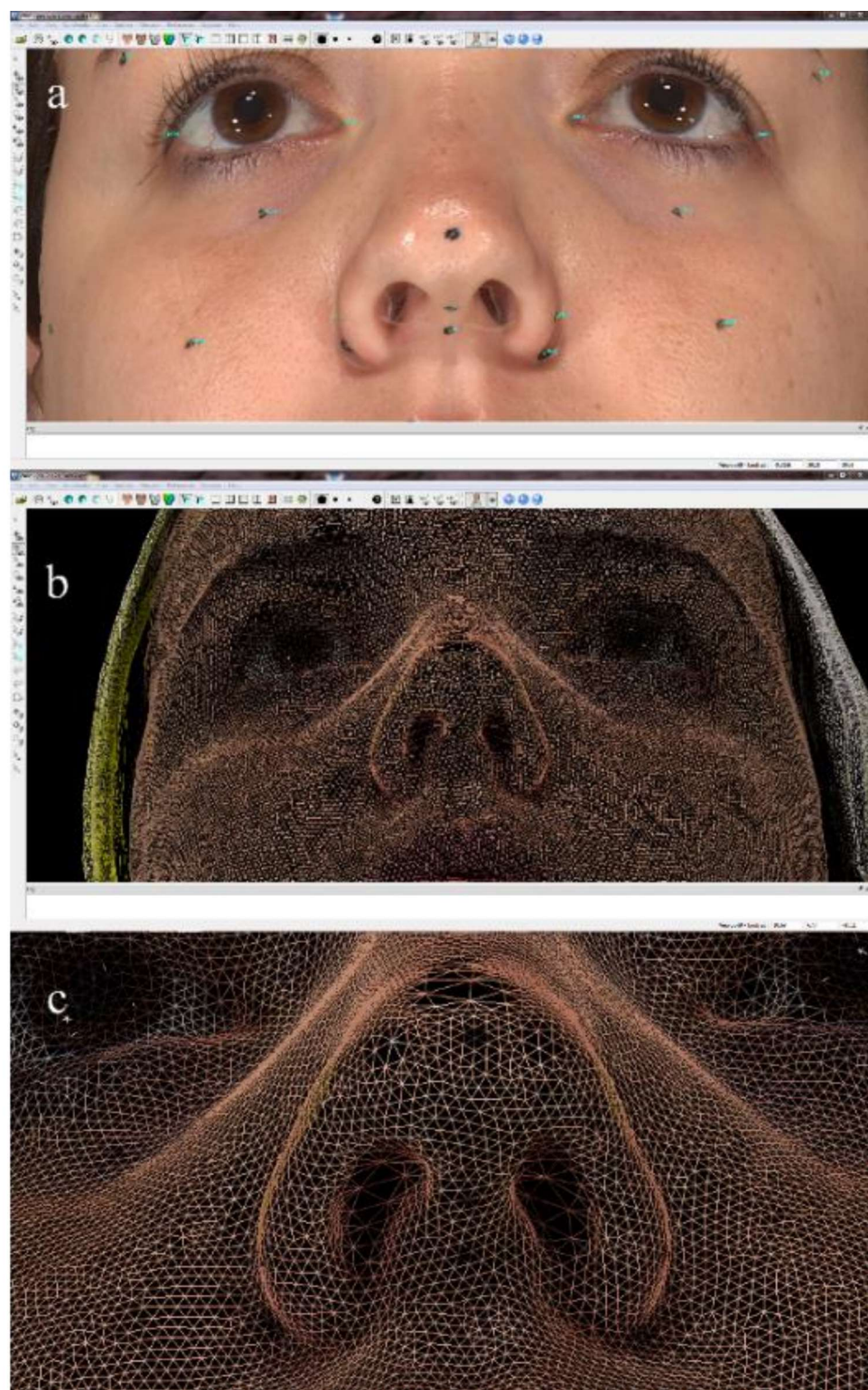
3.4 Mensuração de áreas, ângulos e medidas lineares

3.4.1 Áreas (mm^2)

As narinas são regiões críticas no processo de aquisição de imagens 3D estereofotogramétricas por serem cavidades (figura 11.a). Com a entrada de luz nas cavidades, o Vectra 3D registra alguns pontos no interior das fossas nasais (figuras 11.b e 11.c). Por meio de matemática computacional e redução de erros o sistema de aquisição de imagens gera uma malha tridimensional aproximada em relação aos números de pontos que foram evidentes nas cavidades, no caso das fossas nasais.

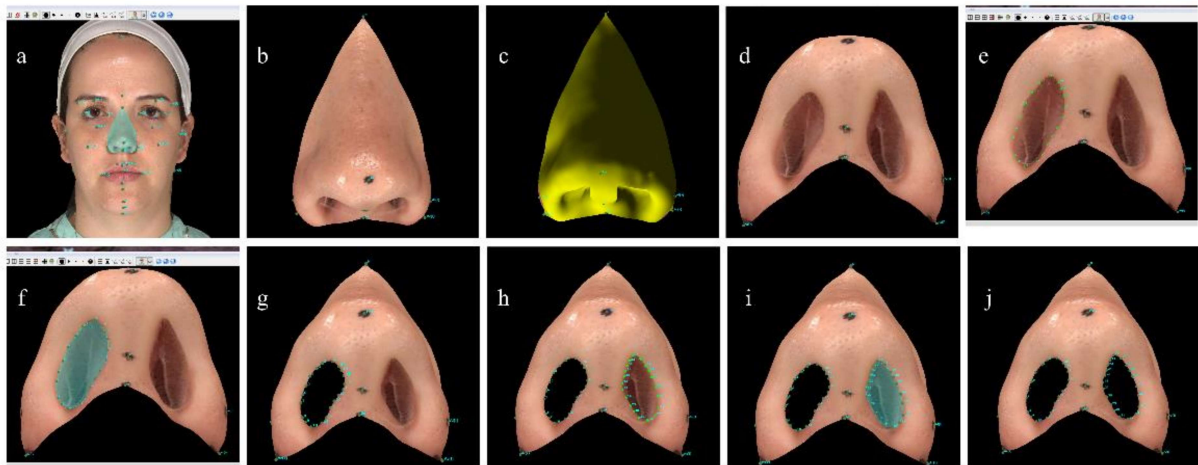
Um dos objetivos do nosso estudo é analisar as áreas da superfície nasal e das narinas no pré e pós-operatório, sendo necessário o tratamento das imagens 3D a fim de remover da imagem as superfícies das cavidades nasais. Para isso, um corte foi realizado na fotografia nos limites entre narinas e suas respectivas cavidades nasais (figura 12).

Figura 11. Captura de partes da superfície interna da cavidade nasal no sistema Vectra M3. a. Notar a formação de sombras e pouca resolução no interior da cavidade nasal. b. Formação da malha triangular tridimensional no interior da cavidade nasal. c. malha triangular da cavidade nasal.



Fonte: Sousa, L. M. (2021)

Figura 12. a. Seleção da área nasal através das *landmarks* N, Ac[r], Sn e Ac[l]; b. Região nasal separada da face; c. Região posterior da superfície nasal (observar a formação da superfície da cavidade nasal); d. Visão basal das narinas; e. Delimitação entre narina direita e cavidade nasal direita; f. Seleção da superfície da cavidade nasal direita; g. Corte realizado para retirada da cavidade nasal direita; h. Delimitação entre narina esquerda e cavidade nasal esquerda; i. Seleção da superfície da cavidade nasal esquerda; j. Corte realizado para retirada da cavidade nasal esquerda.

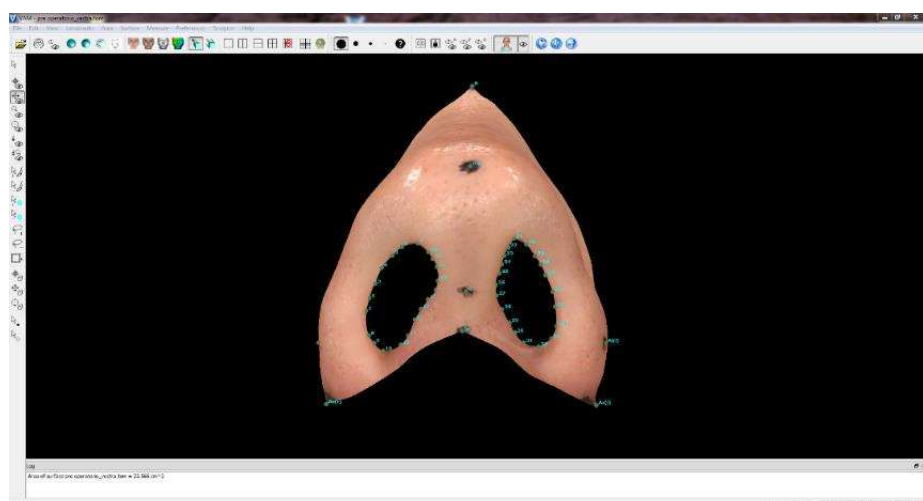


Fonte: Sousa, L. M. (2021)

3.4.1.1 Superfície nasal

Área delimitada pelo perímetro formado com a união das seguintes *landmarks*: N, Ac[r], Sn, Ac[e] (figura 13).

Figura 13. Superfície nasal após sequência de trabalho no VECTRA 3D Analysis Module.



Fonte: Sousa, L. M. (2021)

3.4.1.2 Narinas

Nenhuma técnica de captura de imagens 3D da superfície pode reproduzir uma cavidade adequadamente, como exemplo temos o nariz que possui as narinas como superfícies ocas (SIGAUX; GANRY; MOJALLAL; BRETON *et al.*, 2018). Para melhorar a qualidade da aquisição de imagem, todas as cavidades, como as narinas, devem ser preenchidas ou fechadas adequadamente (CODARI; PUCCIARELLI; PISONI; SFORZA, 2015). Seguindo essas observações, nesse estudo realizou o fechamento digital das secções anteriores das narinas (figura 14), podendo assim calcular as suas áreas. Para isso foi necessário gerar uma superfície que ocupasse as narinas através do *VECTRA 3D Analysis Module* por meio da função “Fill Smallest Hole” que produz uma malha geométrica de preenchimento (figura 14.d).

3.4.1.2.1 Narina esquerda

Sua área será determinada pela seguinte fórmula:

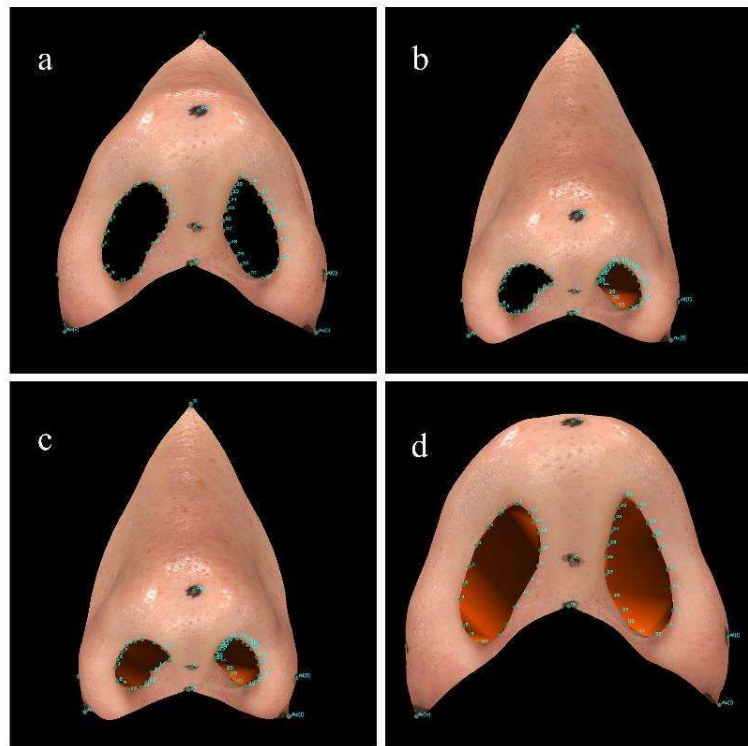
$$\text{Área da Narina } E = (\text{Área Nasal} + \text{Área da Narina } E) - \text{Área Nasal}$$

3.4.1.2.2 Narina direita

Sua área será determinada pela seguinte formula:

$$\begin{aligned} \text{Área da Narina } D = \\ (\text{Área Nasal} + \text{Área das Narinas}) - (\text{Área Nasal} + \text{Área da Narina } E) \end{aligned}$$

Figura 14. Sequência de criação da superfície das narinas. a. Malha sem narinas; b. preenchimento da marina esquerda; c. preenchimento da narina direita; d. vista basal das narinas preenchidas.



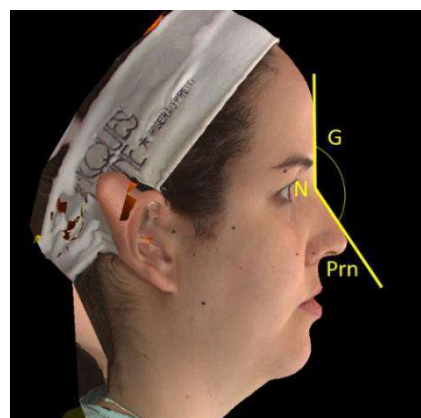
Fonte: Sousa, L. M. (2021)

3.4.2 Ângulos (graus)

3.4.2.1 Ângulo nasofrontal

Ângulo formado pelos pontos G. N. Prn (figura 15).

Figura 15. Ângulo nasofrontal.

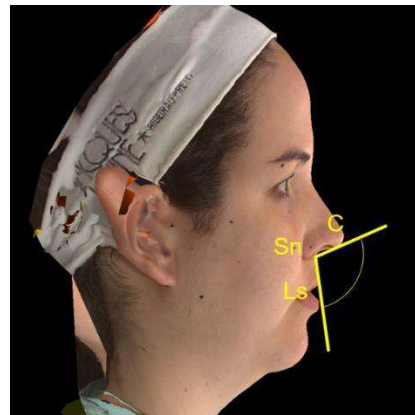


Fonte: Sousa, L. M. (2021)

3.4.2.2 Ângulo nasolabial

Ângulo formado pelos pontos C. Sn. Ls (figura 16).

Figura 16. Ângulo nasolabial.

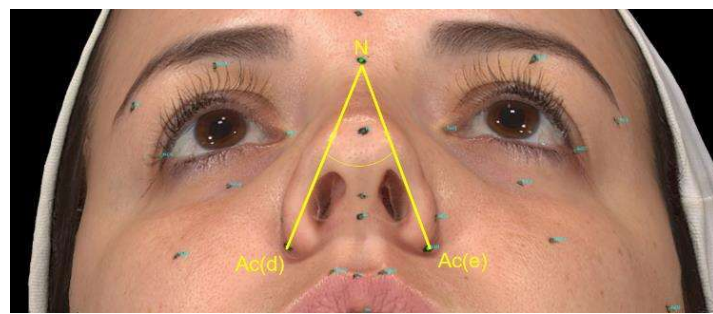


Fonte: Sousa, L. M. (2021)

3.4.2.3 Ângulo de inclinação nasal

Ângulo formado pelos pontos Ac(d).N.Ac(e) (figura 17).

Figura 17. Ângulo de inclinação nasal.



Fonte: Sousa, L. M. (2021)

3.4.2.4 Ângulo narinário

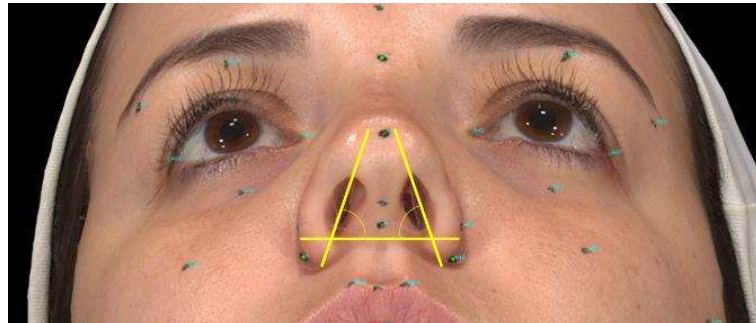
Formado pela linha que cruza a base nasal e o maior eixo da narina (figura 18).

O tipo de narina é classificado conforme o ângulo narinário como mostrado na tabela a seguir (FARKAS; KOLAR, 1987):

Tabela 2. Tipos de narinas segundo Farkas.

| Tipo de narina | Ângulo narinário |
|-----------------------|-------------------------|
| I | 70° a 90° |
| II | 55° a 69° |
| III | 40° a 54° |
| IV | Narina sem eixo maior |
| V | 25° a 39° |
| VI | 10° a 24° |
| VII | -50° a -20° |

Fonte: FARKAS, L. G. (1987)

Figura 18. Ângulo narinário.

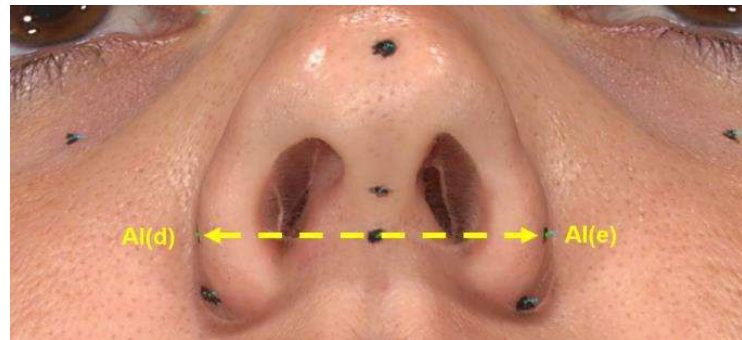
Fonte: Sousa, L. M. (2021)

3.4.3 Medidas lineares (mm)

3.4.3.1 Largura alar

Distância nasal interalar, tendo-se como referência os pontos Al(r) e Al(e) (figura 19).

Figura 19. Largura Alar.

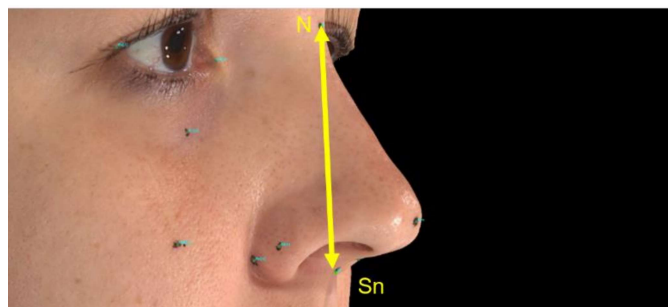


Fonte: Sousa, L. M. (2021)

3.4.3.2 Altura nasal

É a distância vertical do násio (N) até o ponto subnasal (Sn) (figura 20).

Figura 20. Altura nasal.

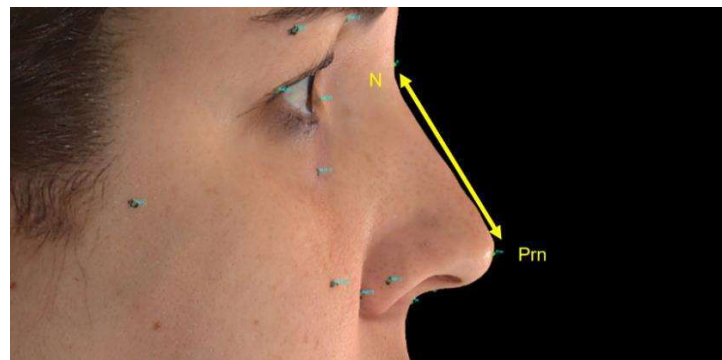


Fonte: Sousa, L. M. (2021)

3.4.3.3 Comprimento nasal

É a distância vertical do násio (N) até a ponta nasal (Prn) (figura 21).

Figura 21. Comprimento nasal.

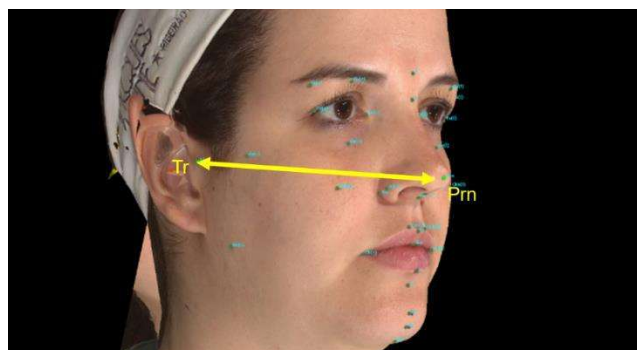


Fonte: Sousa, L. M. (2021)

3.4.3.4 Projeção da Ponta nasal

Determinada pela distância entre Trágus (T) e Pronasale (Prn). Neste estudo usaremos a diferença entre a projeção da ponta nasal pré e pós-operatória (figura 22).

Figura 22. Projeção da Ponta nasal.



Fonte: Sousa, L. M. (2021)

3.4.4 Rotação da ponta nasal

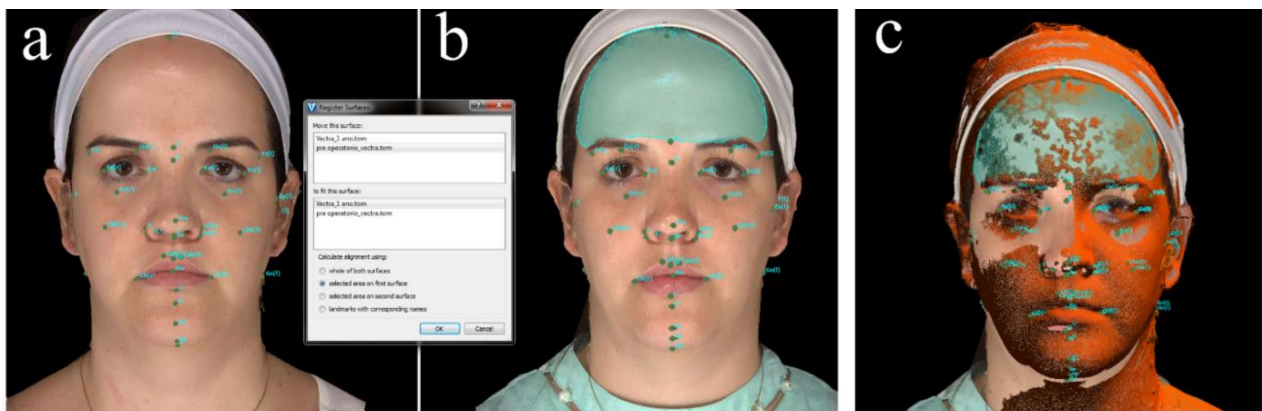
A rotação da ponta nasal foi classificada em horária ou anti-horária. Para isso, foi realizado um processo de sobreposição das imagens 3D nos diferentes tempos avaliados. Esse processo dependia da obtenção do alinhamento mais fidedigno entre as imagens utilizando-se pontos ou áreas da superfície. Assim, foram escolhidos os pontos ou áreas fixas da superfície de tecido mole que estavam fora da região operada e esperava-se que estivessem morfometricamente estáveis durante o período de estudo (SYKES; AMIN; HATCHER; KIM, 2011). O alinhamento das imagens foi realizado por meio da seleção dos pontos Tr, G, N, En(r), En(l), Ex(r), Ex(l), T(r), T(l) ou da região frontal na imagem 3D pré-operatória e pós-operatória (figura 23).

3.4.5 Índice nasal

Definido pela proporção entre a largura e a altura do nariz. Podendo ser calculado pela fórmula (NAINI, 2013):

$$\text{Índice Nasal} = \frac{(Al - Al) \times 100}{(N - Sn)}$$

Figura 23. a. Imagem pós-operatória de 1 ano; b. Imagem pré-operatória (Observe a seleção da região frontal da imagem pré-operatória e uma caixa texto que orienta a sequência e método de sobreposição por região); c. Malha 3D da imagem pós-operatória na cor laranja em sobreposição a imagem pré-operatória.



Fonte: Sousa, L. M. (2021)

3.4.6 Classificação do tipo nasal

- **Leptorrino:** quando o nariz é “alto e estreito”. Apresenta maior projeção nasal, dorso fino e maior projeção do dorso.
- **Mesorrino:** quando o nariz é “intermediário”. Apresenta projeção dorsal reduzida, dorso largo, menor projeção da ponta nasal e columela curta.
- **Platirrino:** quando o nariz é “largo e chato”. Apresenta menor projeção da raiz, menor comprimento dorsal, dorso côncavo, menor projeção da ponta nasal, asas dilatadas com narinas largas e pele espessa.

Tabela 3. Classificação do tipo nasal segundo o índice nasal.

| Tipo nasal | Índice nasal |
|-------------------|---------------------|
| Hiperleptorrino | $\leq 54,9$ |
| Leptorrino | 55,0 – 69,9 |
| Mesorrino | 70,0 – 84,9 |
| Platirrino | 85,0 – 99,9 |
| Hiperplatirrino | $\geq 100,0$ |

Fonte: (NAINI, 2013)

3.5 Metodologia estatística

Para comparar as médias das variáveis quantitativas estudadas foi realizado o modelo de Equações de Estimações Generalizadas (GEE Model). Essa análise foi realizada já que a amostra é relacionada, ou seja, o mesmo sujeito responde em três momentos distintos as mesmas medidas e foi testado o efeito principal do tempo. O modelo foi composto por uma matriz de correlação trabalho *unstructured*, uma matriz de covariância de estimador robusto e uma distribuição normal com função ligação identidade. Quando significativo o teste *post-hoc* de Bonferroni foi utilizado para identificar as categorias distintas. As análises foram realizadas no software IBM SPSS Statistics v.25. O nível de significância adotado foi 0,05. As análises gráficas foram realizadas no Excel® 2013.

Resultados

4 Resultados

Dentre os prontuários de pacientes submetidos à cirurgia ortognática, 92 tiveram imagens tridimensionais da face incluídas no acompanhamento pós-operatório. Desses, um total de 11 prontuários foram elegíveis nesse estudo (9 mulheres (81,1%) e 2 homens (18,9%); idade média de 33,5 (21;55) anos). Segundo a classificação de Angle, 6 (54,5%) classe III e 5 (45,4%) classe II. Quanto à declaração étnico-racial, 10 brancos (90,9%) e 1 negro (9,1%).

Tabela 4. Valores médios dos movimentos cirúrgicos planejados.

| Movimento cirúrgico | Número de pacientes | Valor médio (mm) |
|---------------------|---------------------|------------------|
| Maxila | | |
| Avanço | 11 | 4,09 ± 1,94 |
| Intrusão anterior | 9 | 3,00 ± 3,68 |
| Intrusão posterior | 9 | 2,13 ± 3,27 |
| Mandíbula | | |
| Avanço | 8 | 2,98 ± 3,2 |

Fonte: Sousa, L. M. (2021)

Neste trabalho, foram totalizadas 143 imagens analisadas, 495 medidas quantitativas e 132 medidas qualitativas. Os valores médios e desvio padrão das variáveis nos tempos T0, T1 e T2 estão demonstrados nas tabelas e gráficos a seguir.

Houve diferença estatisticamente significativa ($p<0,001$) com aumento dos valores médios entre os tempos T0 e T1, T0 e T2 para variáveis ângulo da inclinação nasal (Gráfico 2), índice nasal (Gráfico 11), largura alar (Gráfico 12). As médias do ângulo nasofrontal (Gráfico 5), ângulo nasolabial (Gráfico 6) e área da superfície nasal (Gráfico 7) também apresentaram diferença estatisticamente significativa ($p<0,001$) entre T0 e T1, T0 e T2, no entanto mostraram uma diminuição dos valores. As médias das variáveis altura (Gráfico 1) e comprimento nasal (Gráfico 10) apresentaram diferença estatisticamente significativa ($p<0,001$) entre os tempos T0 e T2 com diminuição dos valores médios. Não houve diferença estatisticamente significativa entre os tempos T1 e T2 para as médias das variáveis altura nasal (Gráfico 1), ângulo da inclinação nasal (Gráfico 2), ângulo nasofrontal (Gráfico 5), ângulo nasolabial

(Gráfico 6), área da superfície nasal (Gráfico 7), comprimento nasal (Gráfico 10), índice nasal (Gráfico 11) e largura alar (Gráfico 12).

Não foi obtido diferença estatisticamente significativa entre os tempos analisados para as médias das variáveis área da narina direita ($p = 0,447$) e área da narina esquerda ($p = 0,906$) (Gráficos 8 e 9).

Quando analisado o ângulo narinário direito, houve diferença estatisticamente significativa ($p < 0,001$) com diminuição dos valores médios entre os tempos T0 e T1, T0 e T2, e aumento do T1 para T2. O ângulo narinário esquerdo, apresentou diferença estatisticamente significativa ($p < 0,001$) com diminuição dos valores médios entre os tempos T0 e T1, T0 e T2. No entanto, entre T1 e T2, apesar de mostrar um aumento das médias, não foi observado diferença estatística (Gráficos 3 e 4).

Não existe diferença estatisticamente significativa entre os tempos T0 e T1, T0 e T2 para as médias das variáveis projeção da ponta nasal esquerda ($p = 0,04$) e projeção da ponta nasal direita ($p = 0,614$). Para as médias da variável projeção da ponta nasal esquerda, houve diferença estatisticamente significativa entre os tempos T1 e T2 (Gráfico 13 e 14).

Realizado a sobreposição de imagens 3D, T2 sobre T1, T2 sobre T0, T1 sobre T0, a rotação da ponta nasal mostrou 4 (36,4%) rotações horárias e 7 (63,6%) rotações anti-horárias (Tabela 2).

Em análise descritiva, da variável tipo de narina, observamos que em T0 existia 1 narina direita tipo I e 10 narinas direitas tipo II. Em T1 e T2, 8 narinas direitas tipo II e 3 tipo III. A narina esquerda, apresentou em T0, 2 tipo I, 8 tipo II e 1 tipo III. Em T1, 1 tipo I, 6 tipo II e 4 tipo III. Em T2, 1 tipo I, 7 tipo II e 3 tipo III.

Na variável tipo nasal, observamos que em T0 existiam 7 narizes leptorrinos, 3 mesorrinos e 1 platirrino. Em T1, 5 leptorrinos e 6 mesorrinos. Em T2, 4 leptorrinos, 6 mesorrinos e 1 platirrino (Tabela 3).

Tabela 5. Comparação das médias das variáveis estudadas entre os tempos pré-operatório (T0), pós-operatório de 6 meses (T1) e pós-operatório de 12 meses (T2) pelo GEE model.

| Variáveis | Tempo | | | P | |
|------------------------------|------------------------|-----------------------|-----------------------|--------|--|
| | Pré (n=11) | | média [IC95%] | | |
| | 6 meses (n=11) | 12 meses (n=11) | | | |
| Altura Nasal | 51,3a [49,3; 53,3] | 50,8ab [48,9; 52,7] | 50,2b [48,2; 52,2] | 0,001 | |
| Ângulo da Inclinação Nasal | 39,6a [36,8; 42,5] | 45,2b [42,1; 48,2] | 45,0b [41,6; 48,4] | <0,001 | |
| Ângulo Narinário Direita | 64,3a [61,6; 67,0] | 55,6b [52,3; 58,9] | 57,8c [54,2; 61,4] | <0,001 | |
| Ângulo Narinário Esquerda | 64,2a [60,2; 68,3] | 56,0b [51,1; 61,0] | 57,2b [52,4; 62,0] | <0,001 | |
| Ângulo Nasofrontal | 143,5a [140,6; 146,4] | 141,3b [138,1; 144,5] | 140,7b [137,8; 143,6] | <0,001 | |
| Ângulo Nasotabial | 108,1a [99,0; 117,2] | 100,6b [92,8; 108,4] | 101,4b [92,9; 110,0] | <0,001 | |
| Área da Superfície Nasal | 22,5a [21,1; 24,0] | 21,7b [20,4; 23,1] | 21,9b [20,5; 23,3] | <0,001 | |
| Área Narina Direita | 0,76 [0,69; 0,83] | 0,78 [0,72; 0,84] | 0,76 [0,70; 0,83] | 0,447 | |
| Área Narina Esquerda | 0,76 [0,68; 0,84] | 0,77 [0,70; 0,83] | 0,77 [0,71; 0,83] | 0,906 | |
| Comprimento Nasal | 45,7a [43,7; 47,8] | 44,9ab [42,9; 46,9] | 44,0b [41,9; 46,0] | 0,001 | |
| Índice Nasal | 67,7a [62,9; 72,4] | 71,8b [68,5; 75,1] | 73,4b [68,7; 78,0] | <0,001 | |
| Largura Alar | 34,5a [32,6; 36,4] | 36,3b [35,2; 37,5] | 36,6b [35,1; 38,1] | <0,001 | |
| Proj da Ponta Nasal (T1-Prn) | 127,8ab [124,9; 130,8] | 127,1a [124,1; 130,2] | 127,9b [125,0; 130,8] | 0,040 | |
| Proj da Ponta Nasal (Tr-Prn) | 129,2 [126,1; 132,3] | 129,2 [125,4; 133,0] | 129,8 [126,5; 133,1] | 0,614 | |

Fonte: Sousa, L. M. (2021)

Tabela 6. Análise descritiva da Rotação da ponta nasal através da sobreposição das imagens 3D entre os tempos avaliados.

| Variáveis | Categorias | Tempo | | |
|------------------------|--------------|-------------|----------|----------|
| | | T2 SOBRE T1 | | |
| | | n (%) | n (%) | n (%) |
| Rotação da Ponta Nasal | Horária | 4 (36,4) | 4 (36,4) | 4 (36,4) |
| | Anti-horária | 7 (63,6) | 7 (63,6) | 7 (63,6) |

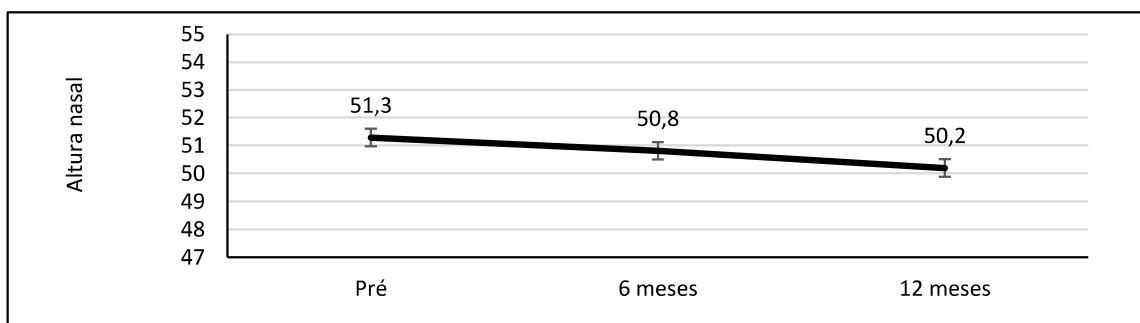
Fonte: Sousa, L. M. (2021)

Tabela 7. Análise descritiva dos tipos de narinas e tipo nasal nos diferentes tempos de avaliação.

| Variáveis | Categorias | Tempo | | |
|----------------------|------------|---------------|-------------------|--------------------|
| | | Pré (n=11) | 6 meses (n=11) | 12 meses (n=11) |
| | | n (%) | n (%) | n (%) |
| Tipo Narina Direita | I | 1 (9,1) | 0 (0) | 0 (0) |
| | II | 10 (90,9) | 8 (72,7) | 8 (72,7) |
| | III | 0 (0) | 3 (27,3) | 3 (27,3) |
| Tipo Narina Esquerda | I | 2 (18,2) | 1 (9,1) | 1 (9,1) |
| | II | 8 (72,7) | 6 (54,5) | 7 (63,6) |
| | III | 1 (9,1) | 4 (36,4) | 3 (27,3) |
| Tipo Nasal | Leptorrino | 7 (63,6) | 5 (45,5) | 4 (36,4) |
| | Mesorrino | 3 (27,3) | 6 (54,5) | 6 (54,5) |
| | Platirrino | 1 (9,1) | 0 (0) | 1 (9,1) |

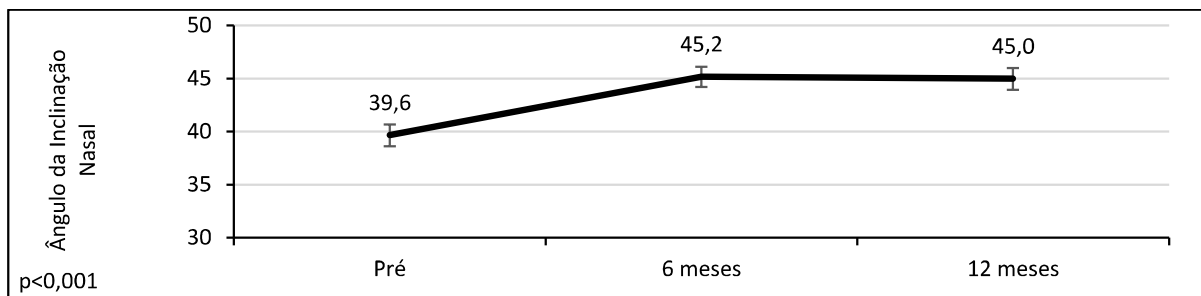
Fonte: Sousa, L. M. (2021)

Gráfico 1. Médias e desvios padrões da variável altura nasal comparada em relação aos tempos pré-operatório (T0), pós-operatório de 6 meses (T1) e pós-operatório de 12 meses (T2) pelo GEE model.



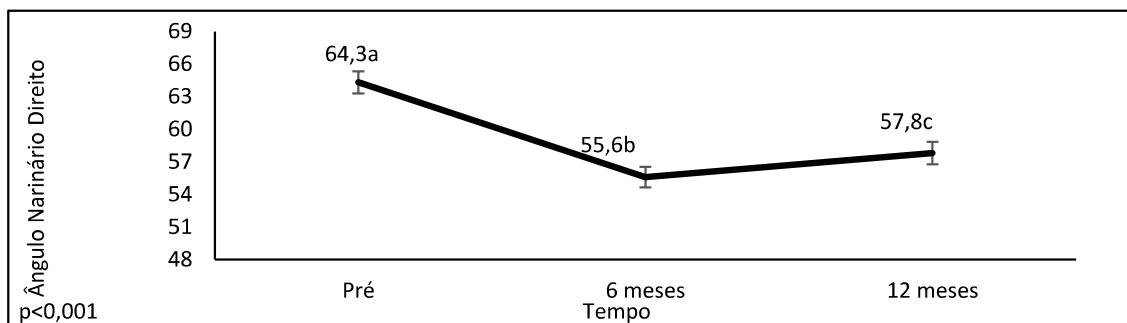
Fonte: Sousa, L. M. (2021)

Gráfico 2. Médias e desvios padrões da variável ângulo da inclinação nasal comparada em relação aos tempos pré-operatório (T0), pós-operatório de 6 meses (T1) e pós-operatório de 12 meses pelo GEE model.



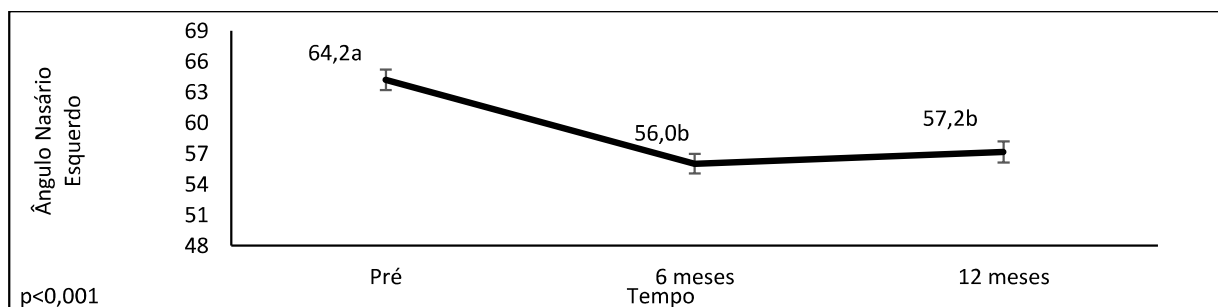
Fonte: Sousa, L. M. (2021)

Gráfico 3. Médias e desvios padrões da variável ângulo narinário direito comparada em relação aos tempos pré-operatório (T0), pós-operatório de 6 meses (T1) e pós-operatório de 12 meses (T2) pelo GEE model.



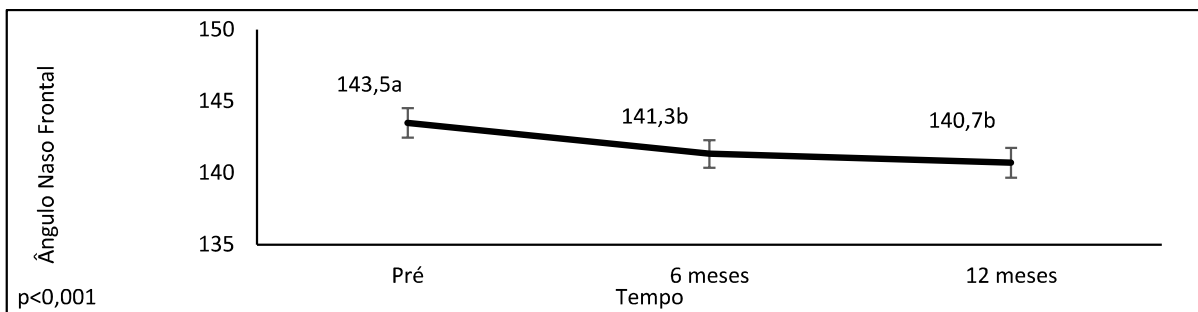
Fonte: Sousa, L. M. (2021)

Gráfico 4. Médias e desvios padrões da variável ângulo narinário direito comparada em relação aos tempos pré-operatório (T0), pós-operatório de 6 meses (T1) e pós-operatório de 12 meses (T2) pelo GEE model.



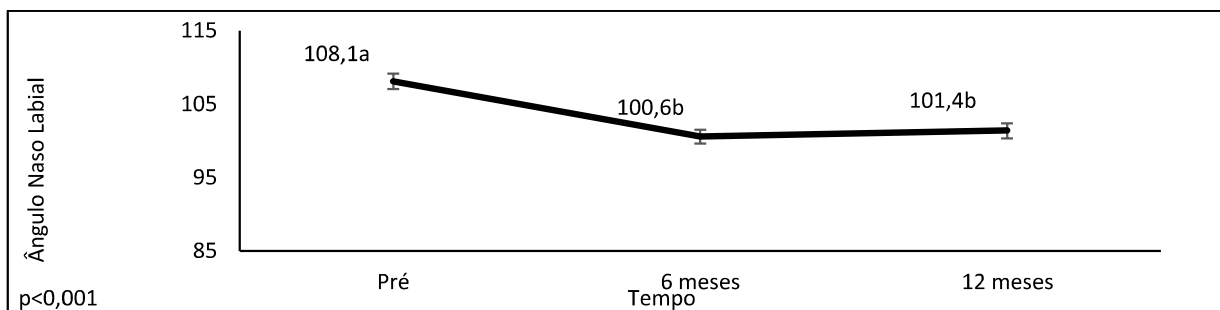
Fonte: Sousa, L. M. (2021)

Gráfico 5. Médias e desvios padrões da variável ângulo nasofrontal comparada em relação aos tempos pré-operatório (T0), pós-operatório de 6 meses (T1) e pós-operatório de 12 meses (T2) pelo GEE model.



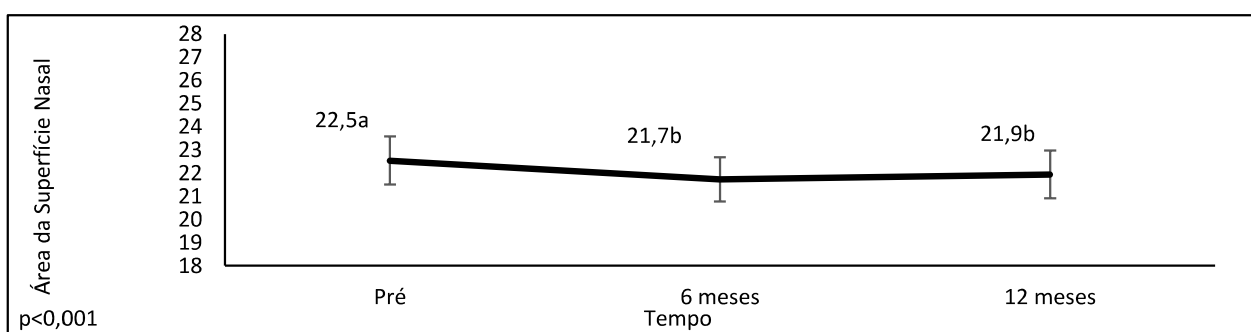
Fonte: Sousa, L. M. (2021)

Gráfico 6. Médias e desvios padrões da variável ângulo nasolabial comparada em relação aos tempos pré-operatório (T0), pós-operatório de 6 meses (T1) e pós-operatório de 12 meses (T2) pelo GEE model.



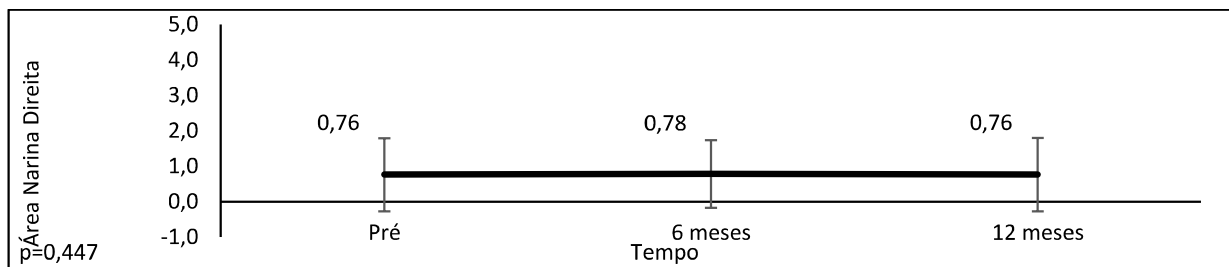
Fonte: Sousa, L. M. (2021)

Gráfico 7. Médias e desvios padrões da variável área da superfície nasal comparada em relação aos tempos pré-operatório (T0), pós-operatório de 6 meses (T1) e pós-operatório de 12 meses (T2) pelo GEE model.



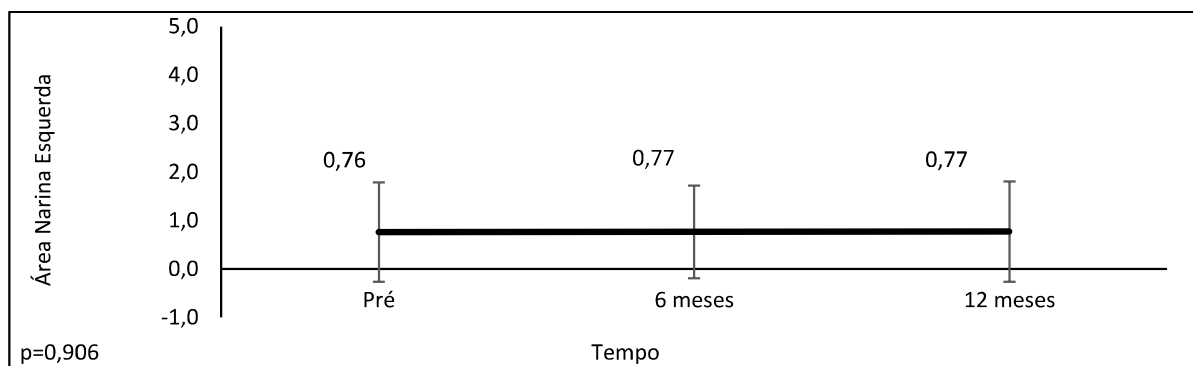
Fonte: Sousa, L. M. (2021)

Gráfico 8. Médias e desvios padrões da variável área da narina direita comparada em relação aos tempos pré-operatório (T0), pós-operatório de 6 meses (T1) e pós-operatório de 12 meses (T2) pelo GEE model.



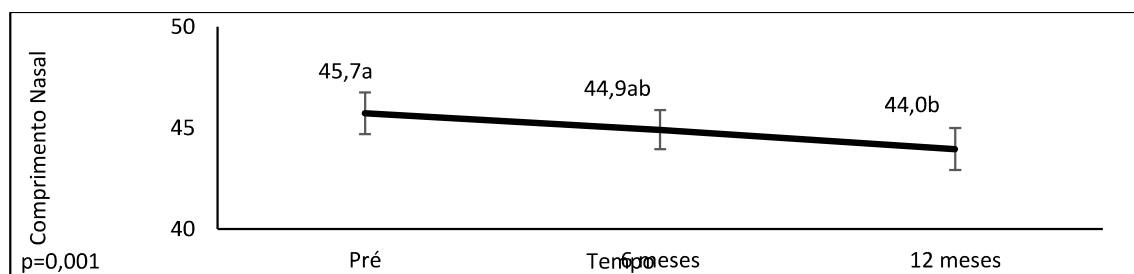
Fonte: Sousa, L. M. (2021)

Gráfico 9. Médias e desvios padrões da variável área da narina esquerda comparada em relação aos tempos pré-operatório (T0), pós-operatório de 6 meses (T1) e pós-operatório de 12 meses (T2) pelo GEE model.



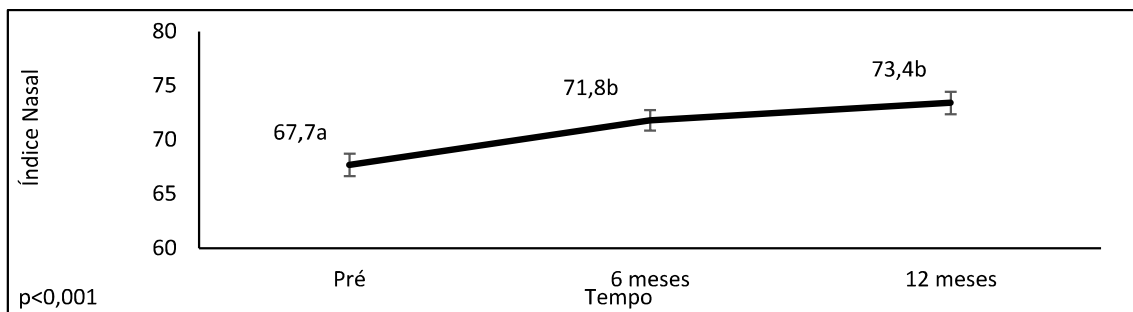
Fonte: Sousa, L. M. (2021)

Gráfico 10. Médias e desvios padrões da variável comprimento nasal comparada em relação aos tempos pré-operatório (T0), pós-operatório de 6 meses (T1) e pós-operatório de 12 meses (T2) pelo GEE model.



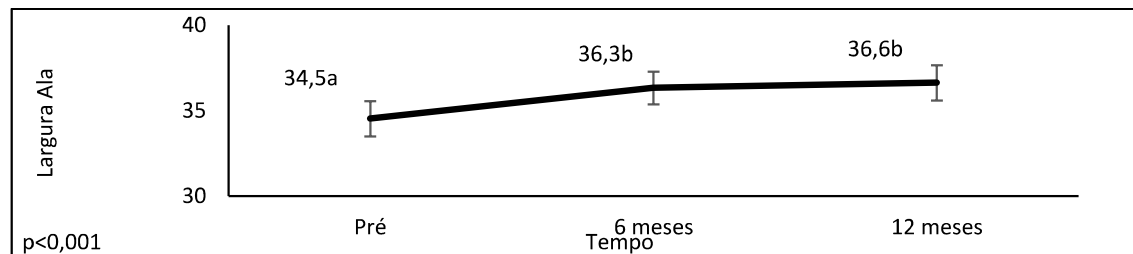
Fonte: Sousa, L. M. (2021)

Gráfico 11. Médias e desvios padrões da variável índice nasal comparada em relação aos tempos pré-operatório (T0), pós-operatório de 6 meses (T1) e pós-operatório de 12 meses (T2) pelo GEE model.



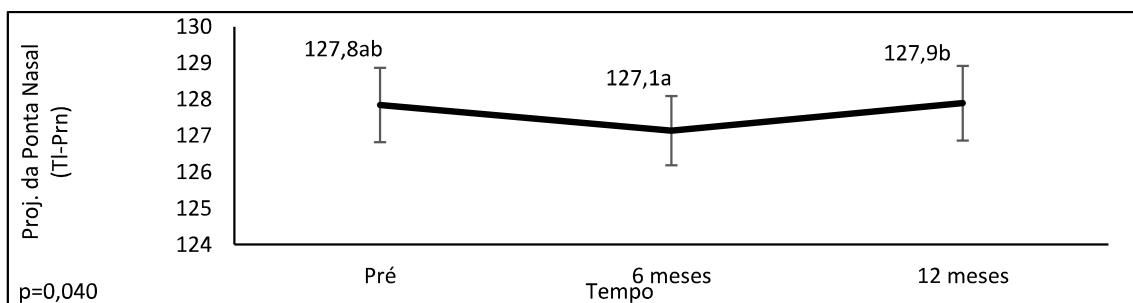
Fonte: Sousa, L. M. (2021)

Gráfico 12. Médias e desvios padrões da variável largura alar comparada em relação aos tempos pré-operatório (T0), pós-operatório de 6 meses (T1) e pós-operatório de 12 meses (T2) pelo GEE model.



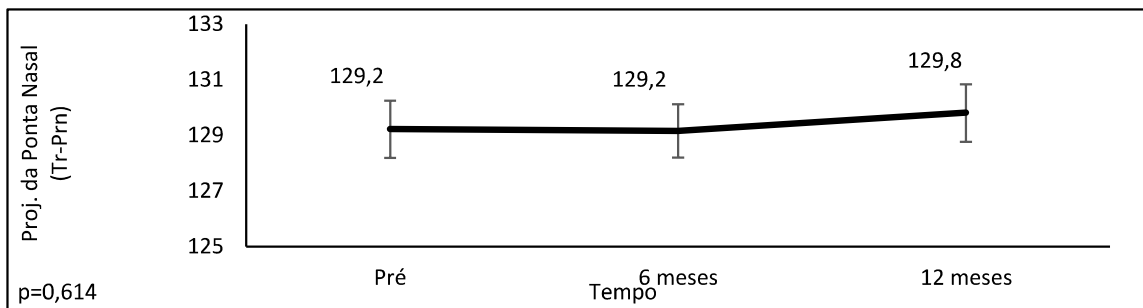
Fonte: Sousa, L. M. (2021)

Gráfico 13. Médias e desvios padrões da variável Projeção da Ponta Nasal esquerda comparada em relação aos tempos pré-operatório (T0), pós-operatório de 6 meses (T1) e pós-operatório de 12 meses (T2) pelo GEE model.



Fonte: Sousa, L. M. (2021)

Gráfico 14. Médias e desvios padrões da variável Projeção da Ponta Nasal Direita comparada em relação aos tempos pré-operatório (T0), pós-operatório de 6 meses (T1) e pós-operatório de 12 meses (T2) pelo GEE model.



Fonte: Sousa, L. M. (2021)

Discussão

5 Discussão

A análise quantitativa da face em pacientes submetidos à cirurgia ortognática por meio de morfometria tridimensional produz dados sobre as alterações sofridas e estabilidade pós-operatória dos tecidos moles nasais. Tradicionalmente as deformidades dentofaciais eram avaliadas utilizando medidas 2D. Dado o impacto estético de qualquer intervenção cirúrgica na face, um método de análise clínica tridimensional objetivo e reproduzível deve ser incluído nas opções de avaliação do cirurgião (SIGAUX; GANRY; MOJALLAL; BRETON *et al.*, 2018). Ayoub *et al.* (1998) foi o primeiro a utilizar um sistema de imagens 3D da face para o planejamento de cirurgias ortognáticas.

Atualmente, avaliações tridimensionais se tornaram preferíveis por obterem maior quantidade de informações (NOOREYAZDAN; TROTMAN; FARAWAY, 2004), firmando as imagens 3D como uma ferramenta poderosa para avaliação das alterações nasais decorrentes da cirurgia ortognática (WORASAKWUTIPHONG; CHUANG; CHANG; LIN *et al.*, 2015). Dentre as técnicas de aquisição de imagens tridimensionais, destaca-se a estereofotogrametria, que consolidou-se como o método mais promissor de avaliação dos tecidos moles em antropometria (DE MENEZES; ROSATI; FERRARIO; SFORZA, 2010; NAUDI; BENRAMADAN; BROCKLEBANK; JU *et al.*, 2013). Sistemas estereofotogramétricos, como o VECTRA 3D, foram considerados acurados e precisos para fins faciais, permitindo mensurar precisamente a morfologia facial em casos de deformidades dentofaciais (DE MENEZES; ROSATI; FERRARIO; SFORZA, 2010; DELI; DI GIOIA; GALANTUCCI; PERCOCO, 2010; GHODDOUSI; EDLER; HAERS; WERTHEIM *et al.*, 2007; LUBBERS; MEDINGER; KRUSE; GRATZ *et al.*, 2010; METZLER; SUN; ZEMANN; BARTELLA *et al.*, 2014; OTHMAN; SAFFAI; HASSAN, 2020; WINDER; DARVANN; MCKNIGHT; MAGEE *et al.*, 2008).

A técnica cirúrgica da osteotomia Le Fort I inclui procedimentos nos tecidos ósseo, cartilaginoso e moles nasais (DANTAS; SILVEIRA; VASCONCELOS; PORTO, 2015; MCFARLANE; FRYDMAN; MCCABE; MAMANDRAS, 1995). Sabendo da íntima relação entre maxila e região nasal, e do maior efeito dos movimentos maxilares sobre parâmetros nasais em relação aos movimentos mandibulares (ALTMAN; OELTJEN, 2007), a forma e função nasal podem ser influenciadas (DANTAS; SILVEIRA; VASCONCELOS; PORTO, 2015; MCFARLANE; FRYDMAN; MCCABE;

MAMANDRAS, 1995), e os efeitos nos tecidos moles nasais podem ser indesejáveis (YAMADA; MISHIMA; MORITANI; JANUNE *et al.*, 2010).

Alterações na região nasolabial, como alargamento da base alar, após osteotomia Le Fort I, podem afetar negativamente a estética geral da face (SHOJI; MUTO; TAKAHASHI; AKIZUKI *et al.*, 2012). As mudanças nasais estão relacionadas ao movimento esquelético que leva a maxila e espinha nasal anterior a um novo posicionamento (DANTAS; SILVEIRA; VASCONCELOS; PORTO, 2015; PEACOCK; SUSARLA, 2015). Estudos mostram uma ocorrência maior do alargamento alar em avanços da maxila (HONRADO; LEE; BLOOMQUIST; LARRABEE, 2006; PEACOCK; SUSARLA, 2015). Jeong *et al.* (2017) afirma que o alargamento da base alar é inevitável com o movimento horizontal da maxila. Choi *et al.* (2014) sugerem que a impactação posterior da maxila possa minimizar o alargamento alar. Em movimentos combinados da maxila, avanço e impacção, alterações nasais ocorreram em todos os pacientes e aumento da largura nasal em 95% dos casos. (DANTAS; SILVEIRA; VASCONCELOS; PORTO, 2015). Outras pesquisas afirmam que as mudanças nasais estão relacionadas ao descolamento tecidual da superfície da maxila e margem piriforme. (WORASAKWUTIPHONG; CHUANG; CHANG; LIN *et al.*, 2015) As alterações nasais seriam resultado da abordagem cirúrgica da maxila e não causa exclusiva da intensidade e direção do movimento esquelético, afirmado que a transecção da musculatura nasolabial e descolamento tecidual encurtam e retraem lateralmente os músculos por liberação das inserções musculares, levando ao alargamento da base alar. (ALTMAN; OELTJEN, 2007; SHOJI; MUTO; TAKAHASHI; AKIZUKI *et al.*, 2012; UBAYA; SHERIFF; AYOUB; KHAMBAY, 2012; YAMADA; MISHIMA; MORITANI; JANUNE *et al.*, 2010) Yamada *et al.* (2010) encontrou um valor médio de 2 mm de alargamento alar. Entretanto, um estudo mais recente mostrou que a largura da base alar não alterou e a largura alar foi levemente aumentada em 0,74 mm. (WORASAKWUTIPHONG; CHUANG; CHANG; LIN *et al.*, 2015). No presente trabalho observamos um aumento da largura alar em todos os pacientes, com valor médio de 2,1 mm.

Uma abordagem para lidar com o alargamento nasal é a sutura da base alar (JEONG; LEE; JUNG; PARK *et al.*, 2017; PEACOCK; SUSARLA, 2015). Originalmente utilizada em paciente com fissura labial para corrigir defeitos nasais (MILLARD, 1980), mas que passou a ser usada para diminuição dos efeitos secundários aos avanços da maxila em virtude do aumento da largura alar em cirurgia

ortognática. (COLLINS; EPKER, 1982; HONRADO; LEE; BLOOMQUIST; LARRABEE, 2006) Assim, reposicionar e reconectar os músculos faciais é fundamental para evitar encurtamento e retração muscular lateral, minimizando ou eliminando potenciais eventos indesejáveis (SHAMS; MOTAMEDI, 2002; SHOJI; MUTO; TAKAHASHI; AKIZUKI *et al.*, 2012). Acredita-se que a reorientação controlada dos músculos perinasais forneça resultados mais estáveis e previsíveis do que permitir a reinserção aleatória (ALTMAN; OELTJEN, 2007).

Essa técnica passou por várias modificações (COLLINS; EPKER, 1982; MURADIN; ROSENBERG; VAN DER BILT; STOELINGA *et al.*, 2009; RAUSO; GHERARDINI; SANTILLO; BIONDI *et al.*, 2010; RAUSO, 2009; RITTO; MEDEIROS; DE MORAES; RIBEIRO, 2011; SHAMS; MOTAMEDI, 2002), por exemplo, o uso de agulha hipodérmica para melhor localização do tecido fibroauricular (RAUSO; GHERARDINI; SANTILLO; BIONDI *et al.*, 2010; RAUSO, 2009), ou, a passagem do fio de sutura do acesso cirúrgico intraoral para o meio extrabucal com transfixação da pele e seu retorno pelo mesmo orifício na pele, visando captura efetiva dos tecidos. (RITTO; MEDEIROS; DE MORAES; RIBEIRO, 2011; SHAMS; MOTAMEDI, 2002). Howlet *et al.* (2011) avaliaram o efeito da sutura da base alar na largura nasal usando imagens 3D, pacientes que receberam a sutura, tiveram um alargamento da base alar menor, variando de 0,2 mm a 0,5 mm em 6 meses. No presente estudo, a técnica utilizada para sutura da base alar não impediu o alargamento nasal, que ocorreu em todos os pacientes, com valor médio de 2,1 mm. Adicionalmente, este alargamento ocasionou uma diminuição dos ângulos narinários e um aumento da inclinação nasal, embora a área das narinas não tenha sofrido alterações.

Além da sutura da base alar, existem procedimentos auxiliares para ajudar a prevenir o alargamento da base nasal e o afinamento do lábio superior como a sutura VY, redução da espinha nasal anterior e recontorno no assoalho nasal (SCHENDEL; WILLIAMSON, 1983; SHAMS; MOTAMEDI, 2002; SHOJI; MUTO; TAKAHASHI; AKIZUKI *et al.*, 2012). Estudos afirmam que a sutura da base alar e o fechamento V-Y não podem evitar o alargamento da asa do nariz devido suturas insuficientes sob anestesia geral com intubação nasal e a curta duração da resistência à tração dos fios (ROSEN, 1988; YAMADA; MISHIMA; MORITANI; JANUNE *et al.*, 2010). Honrado *et al.* (2006) relataram que 93,75% dos pacientes que foram submetidos a avanço maxilar, ou avanço maxilar combinado com outro movimento, e fechamento da maxila por V-Y, apresentaram aumento da largura alar. No presente trabalho, uma variação

da técnica da sutura da base alar utilizada e a remoção da ENA, embora não tenham evitado o alargamento alar, amenizaram esse efeito com manutenção dos parâmetros nasais pré-operatórios.

A sutura da base alar com precisão é um procedimento difícil, devido à dificuldade em localizar e capturar bilateralmente um volume igual de tecido fibroareolar (SHAMS; MOTAMEDI, 2002; SHOJI; MUTO; TAKAHASHI; AKIZUKI *et al.*, 2012). Shams e Motamedi (2002) relatam a importância da captura dos tecidos fibroareolares perinasais de forma simétrica e no mesmo nível vertical, afim de evitar bases nasais largas e assimétricas. Peacock e Susarla (2015) relataram que a localização precisa do ligamento piriforme é fundamental para captura precisa e simétrica dos tecidos moles. A técnica de sutura empregada nesse estudo mostrou a preocupação em localizar precisamente os tecidos moles com uso de agulha hipodérmica e capturar o máximo de tecido possível bilateralmente simétricos e conter o efeito do alargamento nasal.

Em revisão sistemática que avaliou qual sutura da base alar traz mais benefícios na prevenção do alargamento nasal após a osteotomia de Le Fort I, sugeriu-se que as suturas da base alar modificadas eram mais eficazes do que a sutura clássica (LIU; ZHU; HU, 2014). Yen et al. (2016) declararam o efeito limitado da técnica clássica e descreveram um método modificado de ancoragem das suturas na borda inferior bilateral da abertura piriforme, fornecendo direção, posição e estabilidade ideais, reduzindo a interferência e distorção da intubação nasotraqueal e tornando o perfil nasolabial mais simétrico, com mudança na largura alar de $0,1 \pm 1,1$ mm.

O tubo nasotraqueal interfere no reposicionamento ósseo maxilar, na síntese dos tecidos moles independentemente da técnica de sutura utilizada e interrompe o movimento medial da asa do nariz durante o aperto da sutura. Para facilitar uma fixação estável e simétrica dos tecidos moles da base nasal, alguns cirurgiões optam por intubação submentoniana (YEN; KUO; LIU; SU *et al.*, 2016). Shoji et. al. (2012) afirmam a importância da realização da sutura da base alar sob intubação orotraqueal para evitar alterações clínicas nasais e descreve uma técnica de sutura da base alar combinada com fechamento V-Y realizada após a intubação nasal ser revertida em oral. Os autores afirmam que o tubo anestésico nasotraqueal em cirurgia ortognática pode distorcer as narinas, dificultando a medição precisa da base alar, impedindo o aperto adequado das suturas. A colocação e o ajuste precisos de suturas na base da

asa do nariz são bastante facilitados pela mudança de um tubo endotraqueal nasal para um oral, que fornece acesso desobstruído ao nariz. A transposição do tubo, seja submentoneana ou de nasal para orotraqueal, traz risco significativos que devem ser considerados frente aos benefícios que possam trazer. No presente estudo, todas as suturas foram realizadas sob intubação nasal.

Parâmetros nasais, como, a altura e o comprimento nasal, diminuíram significativamente quando avaliados em imagens 3D no pré-operatório e 6 meses após cirurgia ortognática bimaxilar onde a maxila sofreu exclusivamente impacção posterior (CHOI; LEE; OH; KWON *et al.*, 2014; DESESA; METZLER; SAWH-MARTINEZ; STEINBACHER, 2016). Outro estudo mostra que não foram observadas alterações significativas na altura e comprimento nasal após a cirurgia (WORASAKWUTIPHONG; CHUANG; CHANG; LIN *et al.*, 2015). Yamada *et al.* (2010) avaliaram parâmetros nasais perpendiculares e observaram uma altura nasal maior no pré-operatório que era reduzida e melhorada após a cirurgia. Neste trabalho, ocorreu uma diminuição significativa da altura e comprimento nasal observada em acompanhamento pós-operatório de 12 meses.

No geral, houve aumento dos valores médios do índice nasal. Essa variável possui uma relação diretamente proporcional com a largura alar e inversamente proporcional com a altura nasal, presume-se que aumentos da largura alar e diminuição da altura nasal aumente o índice nasal. Neste trabalho o índice nasal foi influenciado por resultados combinados do aumento da largura alar e da diminuição da altura nasal, expressando resultados ainda maiores para os valores do índice nasal. Dessa forma os tipos nasais pré-operatórios, apresentaram transições de categorias no pós-operatório com diminuição dos tipos leptorrinos e aumento dos tipos mesorrinos.

Não foram encontrados trabalhos que avaliassem a área da superfície nasal que comparassem o pré e pós-operatório em pacientes submetidos à cirurgia ortognática. A hipótese era que com o aumento da largura alar e aumento do índice nasal ocorresse o aumento da área da superfície nasal. Porém, os resultados mostraram uma diminuição dos valores da área da superfície nasal após 6 meses de acompanhamento. Sugere-se que a diminuição dos valores médios de algumas variáveis analisadas, como a altura nasal e o comprimento nasal, se sobreponham sobre parâmetros nasais que aumentaram, como largura alar, e influenciem uma

redução da área da superfície nasal. Além disso, não podemos descartar a possível influência da sutura da base alar sobre a área nasal.

Avanços da maxila alteram a forma das narinas, que passam a assumir um formato arredondado, apresentando redução da altura e aumento da largura, tornando-se mais horizontal em visão submental (DESESA; METZLER; SAWH-MARTINEZ; STEINBACHER, 2016). Esse dado foi observado clinicamente, onde as narinas apresentaram mudanças na forma após a realização da osteotomia Le Fort I e movimentos maxilares, aparentando tornarem-se maiores e mais arredondadas. Bell e Dann (1973) afirmam que às cartilagens alares e septais dão suporte tecidual e por isso ocorrem mínimas alterações. Worasakwutiphong et al. (2015) afirmam que as áreas das narinas apresentaram um significante aumento e consideram uma aparência facial negativa. Park et al. (2012) relatam que a área da narina não apresentou diferença após cirurgia. Este presente trabalho não observou diferença entre as áreas das narinas no decorrer de 12 meses de pós-operatório. Sugere-se que a sutura da base alar tenha papel fundamental na manutenção dos valores das áreas das narinas. É possível que diferenças metodológicas na avaliação das áreas das narinas entre os diferentes trabalhos apresentem dados heterogêneos.

Em geral, pacientes submetidos a avanços maxilares apresentam uma diminuição no ângulo nasolabial. (HONRADO; LEE; BLOOMQUIST; LARRABEE, 2006; UBAYA; SHERRIFF; AYOUB; KHAMBAY, 2012) Outros estudos, mostram aumento desse parâmetro nasal (DESESA; METZLER; SAWH-MARTINEZ; STEINBACHER, 2016; PARK; YOON; KIM; HWANG *et al.*, 2012; WORASAKWUTIPHONG; CHUANG; CHANG; LIN *et al.*, 2015), refletindo como aparência facial pobre. (GHASSEMI; HILGERS; FRITZ; MODABBER *et al.*, 2017; WORASAKWUTIPHONG; CHUANG; CHANG; LIN *et al.*, 2015) Diferentes resultados podem ser explicados através dos movimentos de rotação do complexo maxilomandibular, rotações horárias aumentam o ângulo nasolabial e rotações anti-horárias ocorrem o inverso. No presente estudo, ocorreu a redução do ângulo nasolabial em todos os pacientes avaliados. No entanto, não é correto associar a diminuição do ângulo nasolabial apenas aos movimentos maxilares, pois essa medida angular é dependente da posição da ponta nasal, da inclinação dos incisivos superiores e posição da maxila e espinha nasal anterior no sentido ântero-posterior. (UBAYA; SHERRIFF; AYOUB; KHAMBAY, 2012)

Park et al. (2012) afirmam que ocorreu a diminuição dos ângulos narinários. Neste presente trabalho, os ângulos narinários mostraram diminuição no pós-operatório. Observou-se que entre 6 e 12 meses apresentaram um aumento. Sugere-se que esse aumento esteja relacionado a redução gradativa do edema, acomodação e contração dos tecidos da região nasal durante o processo cicatricial.

O ângulo nasofrontal reduziu de 2º a 5º com o avanço maxilar independentemente do movimento esquelético e demonstram ocorrer principalmente como resultado da liberação do septo nasal durante o descolamento dos tecidos. (DESESA; METZLER; SAWH-MARTINEZ; STEINBACHER, 2016) O presente trabalho apresentou uma redução média do ângulo nasofrontal de 2,8º.

Na literatura, os trabalhos sobre alterações dos tecidos moles nasais quando avaliam medidas angulares, enfocam nos ângulos nasolabial e nasofrontal. Isso deve-se ao fato da maioria dos estudos utilizarem radiografias cefalométricas para análise do perfil facial. As tecnologias de avaliação 3D ampliam às possibilidades de avaliação de outras medidas em outros planos, por exemplo, o ângulo da inclinação nasal. Yamada et al. (2010) relatam que o ângulo da inclinação nasal no plano frontal aumentou após a cirurgia ortognática. Este trabalho encontrou aumento dos valores médios do ângulo da inclinação nasal, e pode-se sugerir que esse parâmetro angular possa ser utilizado para avaliação do alargamento alar em associação com a medida linear da largura alar.

O suporte da ponta nasal é fornecido pelos vários componentes da anatomia nasal e suas conexões fibrosas entre si, como, o septo nasal, a qualidade das cartilagens laterais inferiores, a fixação das cartilagens mediais no septo e a junção das cartilagens laterais superiores e inferiores (ALTMAN; OELTJEN, 2007). Alguns estudos consideram a ponta nasal como a região menos afetada com a cirurgia ortognática, absorvendo aproximadamente 30% do movimento ósseo (DANN; FONSECA; BELL, 1976; SONCUL; BAMBER, 2004), apesar disso, a projeção da ponta nasal pode aumentar com o avanço da maxila (DESESA; METZLER; SAWH-MARTINEZ; STEINBACHER, 2016).

Dantas et al. (2015) mostraram que em avanços combinados à impacção da maxila utilizando osteotomia Le Fort I, 85 % dos pacientes sofrem elevação da ponta nasal e 80% avanço da ponta nasal. Outros estudos consideram a mudança na ponta nasal insignificante (ROSEN, 1988), diminuição da projeção da ponta nasal

(GHASSEMI; HILGERS; FRITZ; MODABBER *et al.*, 2017; JEONG; LEE; JUNG; PARK *et al.*, 2017; PARK; YOON; KIM; HWANG *et al.*, 2012; WORASAKWUTIPHONG; CHUANG; CHANG; LIN *et al.*, 2015), mudança significante na projeção da ponta nasal com leve recidiva em 1 semana e 1 ano de acompanhamento pós-operatório (SHOJI; MUTO; TAKAHASHI; AKIZUKI *et al.*, 2012) ou a posição da ponta nasal é alterada, mas no final do primeiro ano de acompanhamento, esse resultado desapareceria (LEE; BAILEY; PROFFIT, 1996). Outros afirmam que devem ser tomadas precauções quando em impacções maxilares para evitar assimetria da ponta nasal, geralmente devido ao desvio do septo nasal (HAJEER; AYOUB; MILLETT, 2004). A espinha nasal anterior é considerada uma estrutura anatômica importante na projeção da ponta nasal e deixa-la intacta pode resultar em uma maior projeção da ponta nasal. Alguns estudos relatam que a presença ou ausência da espinha nasal anterior não apresenta relação significativa com as alterações encontradas na morfologia nasal. Becker *et al.* (2014) removeu a espinha nasal anterior em todos os casos e isso provavelmente determinou menores valores de projeção nasal no pós-operatório. Ubaya *et al.* (2012) afirma que a remoção cirúrgica da espinha nasal anterior foi realizada para minimizar o levantamento da ponta nasal. Neste estudo, a remoção da espinha nasal anterior não resultou em alteração da projeção da ponta nasal. No presente estudo, não foi observado diferença das medidas para projeção da ponta nasal. É fundamental ressaltar que foram realizadas osteoplastias na sutura mediana da maxila para adaptação do septo nasal e para remoção da ENA. Adicionalmente, foi utilizado um ponto fixo não alterado com a cirurgia ortognática para avaliação a projeção nasal.

Sugere-se que movimentos da maxila repercutam na projeção e localização da ponta nasal (ALTMAN; OELTJEN, 2007). Soncul e Bamber (2004) afirmaram que a ponta nasal foi a menos afetada independentemente da amplitude do movimento da maxila, sendo mais comum o deslocamento para frente e para cima em 72% dos pacientes, para frente em 15% e sem alteração de posição em 13% dos casos. Assim, a ponta nasal pode se mover verticalmente conforme os movimentos maxilares resultantes da osteotomia Le Fort I (MCFARLANE; FRYDMAN; MCCABE; MAMANDRAS, 1995), por exemplo, a rotação cefálica com a impacção posterior da maxila (CHOI; LEE; OH; KWON *et al.*, 2014), movimento anterossuperior da ponta nasal (YAMADA; MISHIMA; MORITANI; JANUNE *et al.*, 2010) ou para cima (WORASAKWUTIPHONG; CHUANG; CHANG; LIN *et al.*, 2015). Dantas *et al.* (2015) mostraram 80% de rotação anti-horária, 10% de rotação horária e sem rotação em

10% dos pacientes com impacção e avanço da maxila. Neste presente trabalho a ponta nasal rotacionou no sentido horário em 36,4% dos casos e 63,6% foram rotações anti-horárias.

Becelli et al. (1996) descreveram a técnica de osteotomia Le Fort I modificada subnasal e compararam os benefícios estéticos obtidos em relação à osteotomia Le Fort I tradicional. Os efeitos desta técnica modificada estão relacionados à abordagem conservadora com preservação das inserções dos músculos perinasais. Sanroman et al. (2014) sugerem que o avanço da maxila usando uma osteotomia Le Fort I modificada subnasal pode prevenir alterações indesejáveis dos tecidos moles do nariz.

As alterações pós-operatórias em tecido mole após cirurgia ortognática são multifatoriais, incluindo qualidade muscular e de tecidos moles, adaptação, tônus e movimentação ortodôntica (DONATSKY; BJORN-JORGENSEN; HERMUND; NIELSEN *et al.*, 2011), espessura e elasticidade tecidual (ALTMAN; OELTJEN, 2007), proximidade dos tecidos moles aos dentes e ossos, técnica cirúrgica e quantidade de movimento ósseo, portanto, pode ser difícil de prever. (SONCUL; BAMBER, 2004).

Mais atenção deve ser dada para diferenças individuais nas estruturas anatômicas, variabilidade em osteotomias cirúrgicas, diferentes técnicas de fechamento de tecidos moles que podem influenciar no estabelecimento ou reconstrução das proporções e dimensões faciais estéticas após movimento esquelético (DESESA; METZLER; SAWH-MARTINEZ; STEINBACHER, 2016). Algumas soluções para diminuir alterações nasais podem ser realizadas como tensionar a asa nasal com um fixador externo ou realizar a técnica da osteotomia Le Fort I subespinhal. (YAMADA; MISHIMA; MORITANI; JANUNE *et al.*, 2010)

Alguns estudos sugerem que devido ao edema uma avaliação estética final dos tecidos moles, como os tecidos nasais, deve ser realizada com um mínimo de 6 meses após a cirurgia para que medidas confiáveis possam ser obtidas (BECKER; AVELAR; DOLZAN; HAAS *et al.*, 2014; JOSS; JOSS-VASSALLI; BERGE; KUIJPERS-JAGTMAN, 2010; SFORZA; PERETTA; GRANDI; FERRONATO *et al.*, 2007). Osborne *et al.* (2020), observaram que as reduções no volume facial mais significativas ocorreram entre a primeira semana e o primeiro mês de pós-operatório (52.1%), se estabilizando após 2 meses. Altman e Oeltjen (2007) mencionaram que as alterações do esqueleto maxilomandibular resultam em mudanças na morfologia nasal que podem levar até 1 ano para chegar à sua posição final. Analisando a

estabilidade dos parâmetros nasais, observou-se que a altura nasal, ângulo da inclinação nasal, ângulo nasofrontal, ângulo nasolabial, área da superfície nasal, comprimento nasal, índice nasal e largura alar mantiveram seus valores médios após 6 meses de pós-operatório. Assim pode-se presumir que as alterações relacionadas principalmente ao edema residual não foram significativas clinicamente após 6 meses da cirurgia.

Compreender os impactos da cirurgia ortognática sobre as estruturas nasais permite que o cirurgião elabore um plano de tratamento personalizado otimizando os resultados estéticos. Para tal, as ferramentas de análise facial 3D permitem um aconselhamento ao paciente sobre as previsões de resultados pós-operatórios de forma mais confiável. Podendo assim considerar desfechos não estéticos das estruturas nasais daqueles pacientes que apresentam características morfológicas desfavoráveis, como ângulo nasolabial obtuso, ponta nasal proeminente, largura alar aumentada, base alar avantajada, narinas amplas e altura de narina curta.

Como limitações neste estudo temos, tamanho da amostra reduzido; amostra heterogênea quando avaliamos exclusivamente o padrão esquelético e ignoramos a técnica e direção de movimentos cirúrgicos da maxila; não associação entre análise de tecidos duros e moles; não avaliação do efeito da retração cicatricial, edema, acomodação tecidual, calibre do tubo endotraqueal e narina de intubação se possuem significância clínica; não foi possível controlar o número de ortodontistas; nível de remoção de partes moles não avaliado. Estudos futuros que analisem as respostas dos tecidos moles à cirurgia ortognática podem ser melhorados com um tamanho amostral maior e homogêneo clinicamente e variáveis de tratamento mais controladas.

Conclusão

6 Conclusão

Foi observado um aumento da largura alar, do índice nasal e do ângulo da inclinação nasal, acompanhado de uma diminuição da altura nasal, do comprimento nasal, da área da superfície nasal, do ângulo nasofrontal, do ângulo nasolabial e dos ângulos narinários, com manutenção das áreas das narinas e da projeção da ponta nasal. Todas as variáveis estudadas permaneceram estáveis de 6 para 12 meses de acompanhamento.

Referências

7 REFERÊNCIAS

- ACKERMAN, J. L.; PROFFIT, W. R. COMMUNICATION IN ORTHODONTIC TREATMENT PLANNING - BIOETHICAL AND INFORMED CONSENT ISSUES. **Angle Orthodontist**, 65, n. 4, p. 253-261, 1995. Article.
- ALTMAN, J. I.; OELTJEN, J. C. Nasal deformities associated with orthognathic surgery: analysis, prevention, and correction. **J Craniofac Surg**, 18, n. 4, p. 734-739, Jul 2007.
- ALVES, P. V. M.; ZHAO, L. P.; PATEL, P. K.; BOLOGNESE, A. M. Three-Dimensional Facial Surface Analysis of Patients With Skeletal Malocclusion. **Journal of Craniofacial Surgery**, 20, n. 2, p. 290-296, Mar 2009. Article; Proceedings Paper.
- AYNECHI, N.; LARSON, B. E.; LEON-SALAZAR, V.; BEIRAGHI, S. Accuracy and precision of a 3D anthropometric facial analysis with and without landmark labeling before image acquisition. **Angle Orthodontist**, 81, n. 2, p. 245-252, Mar 2011. Article.
- AYOUB, A. F.; SIEBERT, P.; MOOS, K. F.; WRAY, D. et al. A vision-based three-dimensional capture system for maxillofacial assessment and surgical planning. **British Journal of Oral & Maxillofacial Surgery**, 36, n. 5, p. 353-357, Oct 1998. Article.
- BECKER, O. E.; AVELAR, R. L.; DOLZAN, A. D. N.; HAAS, O. L. et al. Soft and hard tissue changes in skeletal Class III patients treated with double-jaw orthognathic surgery-maxillary advancement and mandibular setback. **International Journal of Oral and Maxillofacial Surgery**, 43, n. 2, p. 204-212, Feb 2014. Article.
- BELL, W. H. LE FORTE I OSTEOTOMY FOR CORRECTION OF MAXILLARY DEFORMITIES. **Journal of Oral Surgery**, 33, n. 6, p. 412-426, 1975. Article.
- BELL, W. H.; DANN, J. J. CORRECTION OF DENTOFACIAL DEFORMITIES BY SURGERY IN ANTERIOR PART OF JAWS - STUDY OF STABILITY AND SOFT-TISSUE CHANGES. **American Journal of Orthodontics and Dentofacial Orthopedics**, 64, n. 2, p. 162-187, 1973. Article.
- CHOI, J. W.; LEE, J. Y.; OH, T. S.; KWON, S. M. et al. Frontal soft tissue analysis using a 3 dimensional camera following two-jaw rotational orthognathic surgery in skeletal class III patients. **Journal of Cranio-Maxillofacial Surgery**, 42, n. 3, p. 220-226, Apr 2014. Article.
- CODARI, M.; PUCCIARELLI, V.; PISONI, L.; SFORZA, C. Laser scanner compared with stereophotogrammetry for measurements of area on nasal plaster casts. **British Journal of Oral & Maxillofacial Surgery**, 53, n. 8, p. 769-770, Oct 2015. Article.

COLLINS, P. C.; EPKER, B. N. THE ALAR BASE CINCH - A TECHNIQUE FOR PREVENTION OF ALAR BASE FLARING SECONDARY TO MAXILLARY SURGERY. **Oral Surgery Oral Medicine Oral Pathology Oral Radiology and Endodontology**, 53, n. 6, p. 549-553, 1982. Article.

DANN, J. J.; FONSECA, R. J.; BELL, W. H. SOFT-TISSUE CHANGES ASSOCIATED WITH TOTAL MAXILLARY ADVANCEMENT - PRELIMINARY STUDY. **Journal of Oral Surgery**, 34, n. 1, p. 19-23, 1976. Article.

DANTAS, W. R.; SILVEIRA, M. M.; VASCONCELOS, B. C.; PORTO, G. G. Evaluation of the nasal shape after orthognathic surgery. **Braz J Otorhinolaryngol**, 81, n. 1, p. 19-23, Jan-Feb 2015.

DE MENEZES, M.; ROSATI, R.; FERRARIO, V. F.; SFORZA, C. Accuracy and Reproducibility of a 3-Dimensional Stereophotogrammetric Imaging System. **Journal of Oral and Maxillofacial Surgery**, 68, n. 9, p. 2129-2135, Sep 2010. Article.

DELI, R.; DI GIOIA, E.; GALANTUCCI, L. M.; PERCOCO, G. Automated Landmark Extraction for Orthodontic Measurement of Faces Using the 3-Camera Photogrammetry Methodology. **Journal of Craniofacial Surgery**, 21, n. 1, p. 87-93, Jan 2010. Article.

DESESA, C. R.; METZLER, P.; SAWH-MARTINEZ, R.; STEINBACHER, D. M. Three-dimensional Nasolabial Morphologic Alterations Following Le Fort I. **Plastic and Reconstructive Surgery-Global Open**, 4, n. 8, p. 9, Aug 2016. Article.

DONATSKY, O.; BJORN-JORGENSEN, J.; HERMUND, N. U.; NIELSEN, H. et al. Immediate postoperative outcome of orthognathic surgical planning, and prediction of positional changes in hard and soft tissue, independently of the extent and direction of the surgical corrections required. **British Journal of Oral & Maxillofacial Surgery**, 49, n. 5, p. 386-391, Jul 2011. Article.

ELLIS III, E.; ZIDE, M. **Acessos cirúrgicos ao Esqueleto Facial**. 2^a ed ed. São Paulo: 2006. 252p p.

EPKER, B. N. MODIFICATIONS IN SAGITTAL OSTEOTOMY OF MANDIBLE. **Journal of Oral Surgery**, 35, n. 2, p. 157-159, 1977. Note.

FARKAS, L. G.; KOLAR, J. C. Anthropometrics and art in the aesthetics of women's faces. **Clinics in plastic surgery**. 14: 599-616 p. 1987.

FERRARIO, V. F.; MIAN, F.; PERETTA, R.; ROSATI, R. et al. Three-dimensional computerized anthropometry of the nose: Landmark representation compared to

surface analysis. **Cleft Palate-Craniofacial Journal**, 44, n. 3, p. 278-285, May 2007. Article.

FERRARIO, V. F.; SFORZA, C.; SCHMITZ, J. H.; MIANI, A. et al. A three-dimensional computerized mesh diagram analysis and its application in soft tissue facial morphometry. **American Journal of Orthodontics and Dentofacial Orthopedics**, 114, n. 4, p. 404-413, Oct 1998. Article.

GHASSEMI, M.; HILGERS, R. D.; FRITZ, U.; MODABBER, A. et al. Maxillary advancement versus mandibular setback in class III dentofacial deformity: are there any differences in aesthetic outcomes? **International Journal of Oral and Maxillofacial Surgery**, 46, n. 4, p. 483-489, Apr 2017. Article.

GHODDOUSI, H.; EDLER, R.; HAERS, P.; WERTHEIM, D. et al. Comparison of three methods of facial measurement. **International Journal of Oral and Maxillofacial Surgery**, 36, n. 3, p. 250-258, Mar 2007. Article.

H BELL, W.; SCHENDEL, S. Biologic basis for modification of the sagittal ramus split operation. *Jornal de cirurgia oral (American Dental Association: 1965)*. 35: 362-369 p. 1977.

HAJEER, M. Y.; AYOUB, A. F.; MILLETT, E. T. Three-dimensional assessment of facial soft-tissue asymmetry before and after orthognathic surgery. **British Journal of Oral & Maxillofacial Surgery**, 42, n. 5, p. 396-404, Oct 2004. Article.

HONRADO, C. P.; LEE, S.; BLOOMQUIST, D. S.; LARRABEE, W. F. Quantitative assessment of nasal changes after maxillomandibular surgery using a 3-dimensional digital imaging system. **Archives of Facial Plastic Surgery**, 8, n. 1, p. 26-35, Jan-Feb 2006. Article.

HOWLEY, C.; ALI, N.; LEE, R.; COX, S. Use of the alar base cinch suture in Le Fort I osteotomy: is it effective? **British Journal of Oral & Maxillofacial Surgery**, 49, n. 2, p. 127-130, Mar 2011. Article.

JEONG, H. I.; LEE, H. S.; JUNG, Y. S.; PARK, H. S. et al. Nasal Soft Tissue Change Following Bimaxillary Orthognathic Surgery. **Journal of Craniofacial Surgery**, 28, n. 7, p. E605-E608, Oct 2017. Article.

JOSS, C. U.; JOSS-VASSALLI, I. M.; BERGE, S. J.; KUIJPERS-JAGTMAN, A. M. Soft Tissue Profile Changes After Bilateral Sagittal Split Osteotomy for Mandibular Setback: A Systematic Review. **Journal of Oral and Maxillofacial Surgery**, 68, n. 11, p. 2792-2801, Nov 2010. Review.

LEE, D. Y.; BAILEY, L. J.; PROFFIT, W. R. Soft tissue changes after superior repositioning of the maxilla with Le Fort I osteotomy: 5-year follow-up. **Int J Adult Orthodon Orthognath Surg**, 11, n. 4, p. 301-311, 1996.

LI, Y. Q.; YANG, X.; LI, D. The Application of Three-Dimensional Surface Imaging System in Plastic and Reconstructive Surgery. **Annals of Plastic Surgery**, 77, p. S76-S83, Aug 2016. Article.

LIU, X. W.; ZHU, S. S.; HU, J. Modified versus classic alar base sutures after LeFort I osteotomy: a systematic review. **Oral Surgery Oral Medicine Oral Pathology Oral Radiology**, 117, n. 1, p. 37-44, Jan 2014. Review.

LUBBERS, H. T.; MEDINGER, L.; KRUSE, A.; GRATZ, K. W. et al. Precision and Accuracy of the 3dMD Photogrammetric System in Craniomaxillofacial Application. **Journal of Craniofacial Surgery**, 21, n. 3, p. 763-767, May 2010. Article.

MCFARLANE, R. B.; FRYDMAN, W. L.; MCCABE, S. B.; MAMANDRAS, A. M. IDENTIFICATION OF NASAL MORPHOLOGIC FEATURES THAT INDICATE SUSCEPTIBILITY TO NASAL TIP DEFLECTION WITH THE LEFORT-I OSTEOTOMY. **American Journal of Orthodontics and Dentofacial Orthopedics**, 107, n. 3, p. 259-267, Mar 1995. Article.

METZLER, P.; GEIGER, E. J.; CHANG, C. C.; SIRISOONTORN, I. et al. Assessment of three-dimensional nasolabial response to Le Fort I advancement. **Journal of Plastic Reconstructive and Aesthetic Surgery**, 67, n. 6, p. 756-763, Jun 2014. Article.

METZLER, P.; SUN, Y.; ZEMANN, W.; BARTELLA, A. et al. Validity of the 3D VECTRA photogrammetric surface imaging system for crano-maxillofacial anthropometric measurements. **Oral Maxillofac Surg**, 18, n. 3, p. 297-304, Sep 2014.

MICHELET, F. X.; BENOIT, J. P.; FESTAL, F.; DESPUJOLS, P. et al. Fixation without blocking of sagittal osteotomies of the rami by means of endo-buccal screwed plates in the treatment of antero-posterior abnormalities. **Rev Stomatol Chir Maxillofac**, 72, n. 4, p. 531-537, Jun 1971.

MICHELET, F. X.; QUENTIN, D. Contribution of screwed plates to sagittal cleavage for mandibular prognathism. **Rev Odontostomatol Midi Fr**, 29, n. 2, p. 106-136, 1971.

MILLARD, D. R. THE ALAR CINCH IN THE FLAT, FLARING NOSE. **Plastic and Reconstructive Surgery**, 65, n. 5, p. 669-672, 1980. Article.

MURADIN, M. S. M.; ROSENBERG, A.; VAN DER BILT, A.; STOELINGA, P. J. W. et al. The effect of alar cinch sutures and V-Y closure on soft tissue dynamics after Le

Fort I intrusion osteotomies. **Journal of Cranio-Maxillofacial Surgery**, 37, n. 6, p. 334-340, Sep 2009. Article.

NAINI, F. B. **Facial aesthetics: Concepts & clinical diagnosis**. 2013. 1-434 p.

NAUDI, K. B.; BENRAMADAN, R.; BROCKLEBANK, L.; JU, X. et al. The virtual human face: Superimposing the simultaneously captured 3D photorealistic skin surface of the face on the untextured skin image of the CBCT scan. **International Journal of Oral and Maxillofacial Surgery**, 42, n. 3, p. 393-400, Mar 2013. Article.

NOOREYAZDAN, M.; TROTMAN, C. A.; FARAWAY, J. J. Modeling facial movement: II. A dynamic analysis of differences caused by orthognathic surgery. **Journal of Oral and Maxillofacial Surgery**, 62, n. 11, p. 1380-1386, Nov 2004. Article.

OSBORNE, P.R. el al. A retrospective evaluation of facial volume in patients submitted to bimaxillary orthognathic surgery using 3d stereophotogrammetry. **Craniomaxillofacial Trauma and Reconstruction**, Fev 2021. DOI: 10.1177/2472751221990272.

OTHMAN, S. A.; SAFFAI, L.; HASSAN, W. N. W. Validity and reproducibility of the 3D VECTRA photogrammetric surface imaging system for the maxillofacial anthropometric measurement on cleft patients. **Clinical Oral Investigations**, 24, n. 8, p. 2853-2866, Aug 2020. Article.

PARK, S. B.; YOON, J. K.; KIM, Y. I.; HWANG, D. S. et al. The evaluation of the nasal morphologic changes after bimaxillary surgery in skeletal class III malocclusion by using the superimposition of cone-beam computed tomography (CBCT) volumes. **Journal of Cranio-Maxillofacial Surgery**, 40, n. 4, p. E87-E92, Jun 2012. Article.

PEACOCK, Z. S.; SUSARLA, S. M. Is the Pyriform Ligament Important for Alar Width Maintenance After Le Fort I Osteotomy? **Journal of Oral and Maxillofacial Surgery**, 73, n. 12, p. S57-S66, Dec 2015. Article.

PHILLIPS, C.; MEDLAND, W. H.; FIELDS, H. W., JR.; PROFFIT, W. R. et al. Stability of surgical maxillary expansion. **Int J Adult Orthodon Orthognath Surg**, 7, n. 3, p. 139-146, 1992.

PLOOIJ, J. M.; SWENNEN, G. R. J.; RANGEL, F. A.; MAAL, T. J. J. et al. Evaluation of reproducibility and reliability of 3D soft tissue analysis using 3D stereophotogrammetry. **International Journal of Oral and Maxillofacial Surgery**, 38, n. 3, p. 267-273, Mar 2009. Article.

PROFFIT, W. R.; WHITE, R. P. Combined surgical-orthodontic treatment: How did it evolve and what are the best practices now? **American Journal of Orthodontics and Dentofacial Orthopedics**, 147, n. 5, p. S205-S215, 2015. Article.

PROFFIT, W. R.; WHITE, R. P.; SARVER, D. M. **Contemporary treatment of dentofacial deformity**. Mosby St. Louis, 2003.

RAUSO, R.; GHERARDINI, G.; SANTILLO, V.; BIONDI, P. et al. Comparison of two techniques of cinch suturing to avoid widening of the base of the nose after Le Fort I osteotomy. **British Journal of Oral & Maxillofacial Surgery**, 48, n. 5, p. 356-359, Jul 2010. Article.

RAUSO, R. A. G. G. A. T. G. A. C. G. A. N. N. A. S. M. A modified alar cinch suture technique. **European Journal of Plastic Surgery**, 32, p. 341-344, 2009.

RITTO, F. G.; MEDEIROS, P. J.; DE MORAES, M.; RIBEIRO, D. P. B. Comparative analysis of two different alar base sutures after Le Fort I osteotomy: randomized double-blind controlled trial. **Oral Surgery Oral Medicine Oral Pathology Oral Radiology and Endodontology**, 111, n. 2, p. 181-189, Feb 2011. Article.

ROSEN, H. M. LIP-NASAL AESTHETICS FOLLOWING LE FORT-I OSTEOTOMY. **Plastic and Reconstructive Surgery**, 81, n. 2, p. 171-179, Feb 1988. Article.

SCHENDEL, S. A. Computer simulation in the daily practice of orthognathic surgery. **Int J Oral Maxillofac Surg**, 44, n. 12, p. 1451-1456, Dec 2015.

SCHENDEL, S. A.; CARLOTTI, A. E. NASAL CONSIDERATIONS IN ORTHOGNATHIC SURGERY. **American Journal of Orthodontics and Dentofacial Orthopedics**, 100, n. 3, p. 197-208, Sep 1991. Article.

SCHENDEL, S. A.; WILLIAMSON, L. W. MUSCLE REORIENTATION FOLLOWING SUPERIOR REPOSITIONING OF THE MAXILLA. **Journal of Oral and Maxillofacial Surgery**, 41, n. 4, p. 235-240, 1983. Article.

SFORZA, C.; DE MENEZES, M.; FERRARIO, V. F. Soft- and hard-tissue facial anthropometry in three dimensions: what's new. **Journal of Anthropological Sciences**, 91, p. 159-184, 2013. Review.

SFORZA, C.; LAINO, A.; D'ALESSIO, R.; DELLA VIA, C. et al. Three-dimensional facial morphometry of attractive children and normal children in the deciduous and early mixed dentition. **Angle Orthodontist**, 77, n. 6, p. 1025-1033, Nov 2007. Article.

SFORZA, C.; PERETTA, R.; GRANDI, G.; FERRONATO, G. et al. Soft tissue facial volumes and shape in skeletal Class III patients before and after orthognathic surgery

treatment. **Journal of Plastic Reconstructive and Aesthetic Surgery**, 60, n. 2, p. 130-138, 2007. Article.

SHAMS, M. G.; MOTAMEDI, M. H. K. A more effective alar cinch technique. **Journal of Oral and Maxillofacial Surgery**, 60, n. 6, p. 712-715, Jun 2002. Editorial Material.

SHOJI, T.; MUTO, T.; TAKAHASHI, M.; AKIZUKI, K. *et al.* The stability of an alar cinch suture after Le Fort I and mandibular osteotomies in Japanese patients with Class III malocclusions. **British Journal of Oral & Maxillofacial Surgery**, 50, n. 4, p. 361-364, Jun 2012. Article.

SIGAUX, N.; GANRY, L.; MOJALLAL, A.; BRETON, P. *et al.* Stereophotogrammetry and facial surgery: Principles, applications and prospects. **Annales De Chirurgie Plastique Esthetique**, 63, n. 1, p. 62-68, Feb 2018. Article.

SONCUL, M.; BAMBER, M. A. Evaluation of facial soft tissue changes with optical surface scan after surgical correction of Class III deformities. **Journal of Oral and Maxillofacial Surgery**, 62, n. 11, p. 1331-1340, 2004. Article.

SYKES, J. M.; AMIN, S. H.; HATCHER, D. C.; KIM, J. 3D Analysis of Dentofacial Deformities: A New Model for Clinical Application. **Facial Plastic Surgery Clinics of North America**, 19, n. 4, p. 767-+, Nov 2011. Article.

UBAYA, T.; SHERRIFF, A.; AYOUB, A.; KHAMBAY, B. Soft tissue morphology of the naso-maxillary complex following surgical correction of maxillary hypoplasia. **International Journal of Oral and Maxillofacial Surgery**, 41, n. 6, p. 727-732, Jun 2012. Article.

VAN LOON, B.; VAN HEERBEEK, N.; BIERENBROODSPOT, F.; VERHAMME, L. *et al.* Three-dimensional changes in nose and upper lip volume after orthognathic surgery. **International Journal of Oral and Maxillofacial Surgery**, 44, n. 1, p. 83-89, Jan 2015. Article.

WEINBERG, S. M.; SCOTT, N. M.; NEISWANGER, K.; BRANDON, C. A. *et al.* Digital three-dimensional photogrammetry: Evaluation of anthropometric precision and accuracy using a Genex 3D camera system. **Cleft Palate-Craniofacial Journal**, 41, n. 5, p. 507-518, Sep 2004. Article.

WINDER, R. J.; DARVANN, T. A.; MCKNIGHT, W.; MAGEE, J. D. M. *et al.* Technical validation of the Di3D stereophotogrammetry surface imaging system. **British Journal of Oral & Maxillofacial Surgery**, 46, n. 1, p. 33-37, Jan 2008. Article.

WONG, J. Y.; OH, A. K.; OHTA, E.; HUNT, A. T. *et al.* Validity and reliability of craniofacial anthropometric measurement of 3D digital photogrammetric images. **Cleft Palate-Craniofacial Journal**, 45, n. 3, p. 232-239, May 2008. Article.

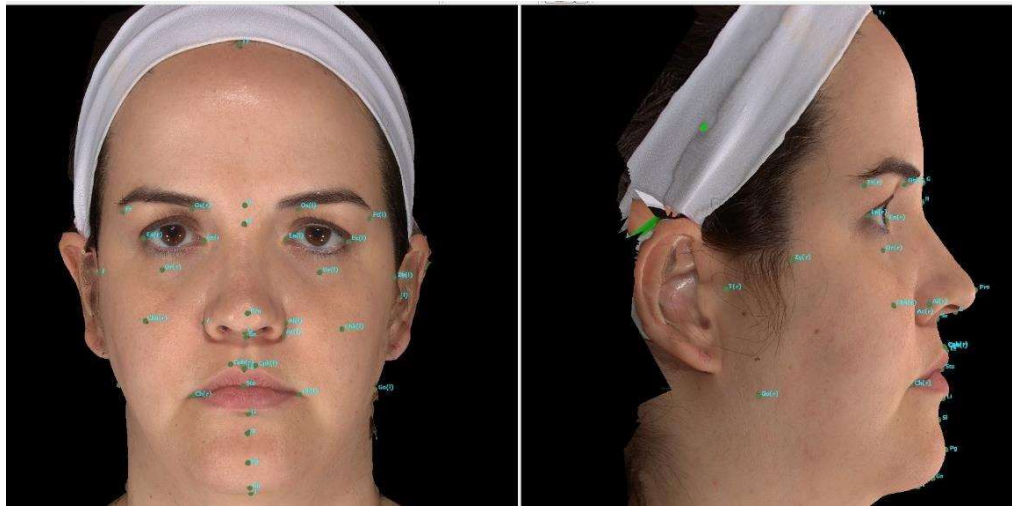
WORASAKWUTIPHONG, S.; CHUANG, Y. F.; CHANG, H. W.; LIN, H. H. *et al.* Nasal changes after orthognathic surgery for patients with prognathism and Class III malocclusion: Analysis using three-dimensional photogrammetry. **Journal of the Formosan Medical Association**, 114, n. 2, p. 112-123, Feb 2015. Article.

YAMADA, T.; MISHIMA, K.; MORITANI, N.; JANUNE, D. *et al.* Nasolabial Morphologic Changes After a Le Fort I Osteotomy: A Three-Dimensional Anthropometric Study. **Journal of Craniofacial Surgery**, 21, n. 4, p. 1089-1095, Jul 2010. Article.

YEN, C. Y.; KUO, C. L.; LIU, I. H.; SU, W. C. *et al.* Modified alar base cinch suture fixation at the bilateral lower border of the piriform rim after a maxillary Le Fort I osteotomy. **International Journal of Oral and Maxillofacial Surgery**, 45, n. 11, p. 1459-1463, Nov 2016. Article.

APÊNDICES

APÊNDICE A – Imagem ilustrativa da face da paciente apresentando 32 marcações (*landmarks*) digitalizadas.



APÊNDICE B - Medidas do primeiro operador (experiente) nos participantes com sorriso na calibração interoperadores.

| Landmarks | 1 | 2 | 3 | 4 | 5 | 6 | 7 | 8 | 9 | 10 | 11 |
|-----------------|------------|------------|------------|------------|------------|------------|------------|------------|------------|------------|------------|
| Zy[r] - Zy[l] | 143,372000 | 146,524000 | 140,763000 | 150,968000 | 135,649000 | 144,639000 | 159,839000 | 140,159000 | 130,733000 | 159,024000 | 159,685000 |
| N - Pg | 104,723000 | 120,801000 | 103,799000 | 119,874000 | 95,277500 | 115,600000 | 103,843000 | 104,332000 | 111,612000 | 113,412000 | 106,260000 |
| N - Gn | 114,816000 | 134,188000 | 117,794000 | 132,546000 | 107,167000 | 129,806000 | 120,216000 | 114,100000 | 124,794000 | 128,944000 | 120,594000 |
| N - Sto | 69,518100 | 70,023800 | 65,429800 | 71,805000 | 66,216300 | 70,245800 | 62,614900 | 65,287600 | 69,279400 | 75,071800 | 68,126100 |
| N - Me | 118,730000 | 140,714000 | 120,471000 | 133,339000 | 110,522000 | 132,586000 | 122,798000 | 116,848000 | 128,835000 | 133,016000 | 124,522000 |
| Tl[r] - Tl[l] | 146,814000 | 146,320000 | 141,312000 | 157,682000 | 138,449000 | 146,995000 | 159,391000 | 146,398000 | 139,684000 | 153,921000 | 164,620000 |
| Go[r] - Go[l] | 115,206000 | 121,634000 | 122,809000 | 135,171000 | 106,661000 | 124,669000 | 128,118000 | 111,722000 | 115,659000 | 130,449000 | 137,040000 |
| Ch[r] - Ch[l] | 58,996400 | 63,190700 | 60,920600 | 66,464300 | 56,045300 | 67,697000 | 17,327300 | 62,197200 | 55,179000 | 64,567500 | 66,785500 |
| Sn - Sto | 20,562100 | 20,358600 | 16,058700 | 20,571800 | 20,151400 | 17,326800 | 15,888100 | 15,936300 | 18,921600 | 21,322100 | 19,479800 |
| Ls - Sto | 5,155490 | 7,153360 | 7,349750 | 5,477500 | 8,664280 | 6,547950 | 5,626980 | 6,797650 | 6,807320 | 3,388830 | 6,378050 |
| Sn - Ls | 15,424300 | 13,598800 | 9,813800 | 16,484500 | 12,804900 | 11,155900 | 10,942400 | 9,415190 | 13,602900 | 18,789800 | 14,633300 |
| Sto - Li | 16,213400 | 24,809300 | 15,621300 | 16,420600 | 12,220500 | 21,819500 | 19,330100 | 19,661800 | 21,956100 | 25,499100 | 14,895400 |
| Cph[r] - Cph[l] | 19,213900 | 18,129900 | 10,890500 | 19,549200 | 15,918900 | 18,351200 | 17,1827300 | 14,082300 | 14,662300 | 15,450200 | 11,432200 |
| Li - Me | 35,015560 | 50,892500 | 40,969000 | 47,544800 | 37,236900 | 42,145200 | 43,571200 | 35,205800 | 41,705200 | 39,220700 | 43,129000 |
| Ls - Cph[r] | 9,559550 | 8,147440 | 4,958640 | 9,829450 | 7,406460 | 9,043260 | 7,572470 | 6,587470 | 8,099410 | 7,769680 | 6,328440 |
| Ls - Cph[l] | 9,979410 | 11,429800 | 6,104950 | 9,966680 | 8,976620 | 9,874160 | 10,909900 | 7,816660 | 7,067590 | 7,940710 | 6,224210 |
| Cph[r] - Ch[r] | 30,582800 | 31,027600 | 35,503000 | 35,846400 | 29,238500 | 35,664100 | 35,460800 | 34,491200 | 31,245600 | 31,652500 | 36,782900 |
| Cph[l] - Ch[l] | 25,836300 | 30,804500 | 33,503900 | 34,250600 | 27,156100 | 36,347100 | 29,571200 | 33,112900 | 29,543400 | 33,600400 | 35,655000 |
| Li - Ch[r] | 38,322300 | 45,756300 | 39,322800 | 42,912400 | 35,646700 | 47,588600 | 43,242900 | 40,338900 | 36,168900 | 42,852600 | 41,981700 |
| Li - Ch[l] | 37,512300 | 46,475100 | 40,929300 | 41,434700 | 35,815100 | 48,048500 | 45,821100 | 42,246400 | 39,676300 | 41,345600 | 43,427200 |
| Ls - Li | 20,571700 | 31,239900 | 21,919000 | 19,876000 | 19,304200 | 27,522700 | 23,653300 | 26,171200 | 28,006600 | 28,142500 | 18,929900 |
| Sn - Pg | 52,026100 | 70,922700 | 54,243900 | 67,819500 | 49,730200 | 61,988900 | 56,593400 | 54,828200 | 61,573500 | 60,902700 | 57,112500 |
| Sn - Gn | 62,989800 | 84,691200 | 68,493400 | 81,054900 | 62,273900 | 76,669900 | 73,342300 | 65,220600 | 75,822000 | 77,577400 | 71,496000 |
| Sn - Me | 69,341300 | 92,620100 | 71,979200 | 83,202600 | 66,763300 | 80,292100 | 76,807900 | 69,488600 | 81,248500 | 83,725900 | 76,029500 |
| Go[r] - Tr[r] | 61,978800 | 51,559300 | 67,148300 | 62,352200 | 58,093300 | 75,457800 | 63,439700 | 57,460000 | 45,855000 | 49,350000 | 69,708800 |
| Go[l] - Tr[l] | 67,993400 | 61,480400 | 72,200700 | 67,871200 | 50,411600 | 72,482200 | 59,739600 | 55,092700 | 48,717400 | 74,635600 | |
| Gn - Go[r] | 99,806500 | 101,944000 | 104,113000 | 112,500000 | 83,501200 | 105,261000 | 106,972000 | 90,293700 | 96,427800 | 98,278500 | 109,350000 |
| Gn - Go[l] | 93,924600 | 96,981700 | 93,288000 | 108,115000 | 85,083700 | 102,670000 | 108,727000 | 86,535100 | 89,088200 | 90,434000 | 105,626000 |
| Go[r] - Po | 100,569000 | 100,802000 | 106,222000 | 112,141000 | 85,231900 | 105,903000 | 107,333000 | 91,144300 | 95,896500 | 96,631900 | 106,925000 |
| Go[l] - Po | 96,888900 | 96,903400 | 95,958500 | 110,318000 | 86,473700 | 104,336000 | 108,684000 | 89,316600 | 94,420800 | 90,847500 | 108,397000 |

APÊNDICE C - Medidas do segundo operador (inexperiente) nos participantes com sorriso na calibração interoperadores.

| Landmarks | 1 | 2 | 3 | 4 | 5 | 6 | 7 | 8 | 9 | 10 | 11 |
|-----------------|------------|------------|------------|------------|------------|------------|-------------|------------|------------|------------|----|
| Zy[r] - Zy[l] | 140,048000 | 140,134000 | 149,819000 | 136,502000 | 140,346000 | 157,112000 | 141,1240000 | 129,548000 | 159,196000 | 159,296000 | |
| N - Pg | 102,288000 | 108,176000 | 112,640000 | 100,330000 | 120,027000 | 103,550000 | 105,293000 | 112,188000 | 116,072000 | 106,993000 | |
| N - Gn | 114,272000 | 117,759000 | 127,170000 | 107,978000 | 128,092000 | 115,057000 | 111,624000 | 123,246000 | 124,823000 | 118,324000 | |
| N - So | 70,313700 | 66,373800 | 66,247900 | 66,411600 | 70,201300 | 59,425700 | 64,599400 | 68,918400 | 72,384400 | 68,009600 | |
| N - Me | 117,878000 | 121,768000 | 128,838000 | 111,386000 | 130,624000 | 119,357000 | 114,596000 | 126,423000 | 130,175000 | 122,500000 | |
| Tl[r] - Tl[l] | 147,822000 | 141,166000 | 157,308000 | 139,572000 | 143,917000 | 159,151000 | 146,187000 | 139,129000 | 154,391000 | 165,156000 | |
| Gol[r] - Gol[l] | 121,292000 | 129,037000 | 134,379000 | 107,831000 | 124,244000 | 129,190000 | 111,989000 | 117,396000 | 128,863000 | 141,140000 | |
| Ch[r] - Ch[l] | 63,481800 | 63,932400 | 66,934700 | 55,422700 | 67,205200 | 67,062700 | 63,374500 | 58,300500 | 67,075400 | 67,517000 | |
| Sn - Sto | 16,142500 | 15,948400 | 18,831200 | 19,858800 | 18,432000 | 15,025800 | 17,256600 | 19,979600 | 22,480400 | 20,066600 | |
| Ls - Sto | 5,270780 | 7,775120 | 3,883320 | 9,254530 | 8,142730 | 5,249480 | 7,239630 | 7,369120 | 6,954910 | 7,747130 | |
| Sn - Ls | 11,2148600 | 9,0191900 | 15,871700 | 12,033800 | 10,853600 | 10,342000 | 10,115300 | 13,526600 | 17,677900 | 13,601200 | |
| Sto - Li | 16,348400 | 15,648000 | 17,597500 | 14,679800 | 18,002800 | 20,120100 | 15,534900 | 20,241600 | 23,924300 | 14,238100 | |
| Cph[r] - Cph[l] | 18,282100 | 12,953600 | 18,456000 | 13,882000 | 16,414300 | 17,750200 | 14,864800 | 15,214100 | 14,286800 | 15,592300 | |
| Li - Me | 31,929500 | 40,776700 | 46,315600 | 34,666700 | 44,022900 | 41,599800 | 36,291700 | 40,016300 | 38,996500 | 41,028600 | |
| Ls - Cph[r] | 10,239600 | 6,847570 | 9,318420 | 7,644080 | 9,256030 | 9,595540 | 7,844680 | 8,503200 | 6,543140 | 7,336070 | |
| Ls - Cph[l] | 8,623930 | 6,355930 | 9,588560 | 6,995600 | 7,658260 | 9,759510 | 7,379390 | 7,319740 | 7,946540 | 8,918490 | |
| Cph[r] - Ch[r] | 32,218200 | 36,794100 | 35,724500 | 29,154100 | 36,436000 | 33,058000 | 32,918600 | 31,580200 | 33,950100 | 36,601700 | |
| Cph[l] - Ch[l] | 30,292600 | 34,020300 | 36,104800 | 30,550800 | 36,993000 | 30,673500 | 35,623300 | 31,058000 | 35,122400 | 32,601900 | |
| Li - Ch[r] | 41,696900 | 41,972900 | 42,697100 | 36,473400 | 47,508300 | 43,376400 | 40,204700 | 38,166600 | 44,307900 | 43,152100 | |
| Li - Ch[l] | 39,954600 | 41,993100 | 43,890200 | 35,021200 | 45,440100 | 44,563800 | 41,487900 | 40,460500 | 43,254800 | 42,372800 | |
| Ls - Li | 19,903000 | 22,840900 | 20,515400 | 22,704800 | 24,718200 | 22,488300 | 22,545600 | 26,73400 | 28,245800 | 20,348200 | |
| Sn - Pg | 45,790900 | 57,525900 | 65,020100 | 54,370900 | 67,371700 | 58,895700 | 57,710500 | 63,355000 | 66,333200 | 58,727400 | |
| Sn - Gn | 57,965700 | 67,261700 | 79,855500 | 62,544900 | 75,788500 | 70,584800 | 64,388100 | 75,293800 | 75,785300 | 70,123400 | |
| Sn - Me | 62,594400 | 72,060000 | 82,229800 | 67,140500 | 79,047200 | 75,513500 | 68,639500 | 79,397700 | 82,848100 | 74,561400 | |
| Gol[r] - Tr[r] | 61,638100 | 70,404800 | 64,866300 | 50,900600 | 73,538900 | 65,882600 | 64,235700 | 48,342100 | 57,378900 | 64,252300 | |
| Gol[l] - Tr[l] | 61,388800 | 59,539200 | 67,679700 | 53,475600 | 68,822900 | 56,359900 | 54,051400 | 53,098100 | 52,711500 | 76,060860 | |
| Gn - Gol[r] | 99,280500 | 100,295000 | 108,498000 | 88,074900 | 105,081000 | 101,762000 | 84,869100 | 90,845600 | 89,728500 | 114,760000 | |
| Gn - Gol[l] | 96,598200 | 101,612000 | 105,318000 | 80,919200 | 99,680700 | 101,092000 | 91,961200 | 90,952000 | 90,243900 | 102,574000 | |
| Gol[r] - Po | 98,744300 | 101,369000 | 107,227000 | 89,284200 | 105,669000 | 99,975800 | 85,934700 | 91,414000 | 89,658800 | 114,555000 | |
| Gol[l] - Po | 95,521900 | 102,464000 | 103,917000 | 81,962600 | 102,210000 | 100,441000 | 92,128200 | 92,629700 | 89,288700 | 100,823000 | |

APÊNDICE D - Medidas do terceiro operador (experiente) nos participantes com sorriso na calibração interoperadores.

| Landmarks | 1 | 2 | 3 | 4 | 5 | 6 | 7 | 8 | 9 | 10 | 11 |
|------------------------|------------|------------|------------|------------|------------|------------|------------|------------|------------|------------|------------|
| Zy[r] - Zy[l] | 142.101000 | 142.918000 | 138.938000 | 148.572000 | 134.472000 | 139.843000 | 156.901000 | 138.452000 | 126.888000 | 156.177000 | 157.173000 |
| N - Pg | 100.849000 | 118.187000 | 100.830000 | 116.849000 | 99.628900 | 116.545000 | 105.559000 | 101.497000 | 116.183000 | 106.134000 | |
| N - Gn | 112.267000 | 129.380000 | 115.378000 | 127.735000 | 108.034000 | 129.483000 | 116.929000 | 110.863000 | 122.317000 | 126.838000 | 121.814000 |
| N - Sto | 69.492400 | 67.127300 | 62.986000 | 69.484400 | 62.848000 | 69.397100 | 61.628900 | 62.257800 | 67.474300 | 72.015500 | 67.842500 |
| N - Me | 116.300000 | 131.757000 | 117.581000 | 129.140000 | 110.375000 | 132.110000 | 120.819000 | 112.491000 | 125.153000 | 128.056000 | 124.520000 |
| Tr[r] - Tr[l] | 147.323000 | 146.244000 | 140.489000 | 157.542000 | 137.764000 | 146.015000 | 159.344000 | 144.193000 | 139.235000 | 154.786000 | 163.684000 |
| Go[r] - Go[l] | 120.651000 | 123.499000 | 128.467000 | 140.181000 | 112.083000 | 127.919000 | 132.178000 | 112.900000 | 119.126000 | 134.970000 | 140.911000 |
| Ch[r] - Ch[l] | 57.385400 | 62.461800 | 59.743700 | 63.495300 | 57.840100 | 69.259500 | 67.903100 | 61.970200 | 57.995500 | 67.648600 | 66.574100 |
| Sn - Sio | 18.462900 | 20.708400 | 17.037100 | 20.193000 | 19.210400 | 17.639600 | 17.709200 | 17.004400 | 19.290000 | 23.291800 | 20.079500 |
| Ls - Sto | 7.598620 | 8.666420 | 7.856580 | 5.555420 | 8.905370 | 8.057290 | 7.257360 | 7.156360 | 8.408900 | 7.708150 | 8.666800 |
| Sn - Ls | 11.246800 | 12.353200 | 9.669390 | 15.301100 | 11.524600 | 9.792620 | 10.691800 | 10.103200 | 11.686900 | 17.124700 | 12.952400 |
| Sto - Li | 14.656400 | 23.062600 | 16.154000 | 14.813200 | 16.479900 | 21.025400 | 20.224600 | 17.208800 | 21.734500 | 23.513900 | 17.427600 |
| Cph[r] - Cph[l] | 17.118000 | 19.737900 | 11.757000 | 17.784500 | 14.337600 | 18.530400 | 16.804900 | 16.365300 | 16.408900 | 14.212500 | 12.867900 |
| Li - Me | 33.757600 | 44.391500 | 40.289700 | 47.150300 | 35.782900 | 43.169100 | 40.390200 | 34.565400 | 38.194900 | 37.085200 | 40.761100 |
| Ls - Cph[r] | 10.196400 | 11.003500 | 6.739450 | 10.277800 | 8.517040 | 9.588780 | 9.519070 | 9.348890 | 10.029700 | 8.415630 | 6.982020 |
| Ls - Cph[l] | 7.416060 | 9.649000 | 5.373310 | 8.046110 | 6.332310 | 9.587480 | 8.400400 | 8.030590 | 7.455770 | 6.066940 | 7.200080 |
| Cph[r] - Ch [l] | 29.905900 | 29.752400 | 34.720300 | 34.568400 | 30.577100 | 36.491900 | 32.555400 | 30.052000 | 33.333300 | 36.403600 | |
| Cph[l] - Ch [l] | 27.533000 | 29.999300 | 31.942600 | 34.705500 | 31.007700 | 36.558200 | 31.268600 | 34.226900 | 30.894400 | 36.339600 | 34.410600 |
| Li - Chr[r] | 38.482100 | 45.157000 | 38.801900 | 40.472300 | 37.116700 | 49.800000 | 44.344000 | 40.607600 | 38.962400 | 46.156200 | 44.045300 |
| Li - Chr[l] | 35.263800 | 44.686400 | 39.335800 | 37.531800 | 46.711300 | 44.948800 | 40.907300 | 40.355500 | 40.506000 | 42.094100 | |
| Ls - Li | 19.588800 | 30.799900 | 23.345800 | 19.638800 | 24.643600 | 28.393800 | 26.793000 | 23.934600 | 29.547400 | 29.129100 | 24.051500 |
| Sn - Pg | 46.915500 | 71.529300 | 54.518700 | 67.398900 | 56.660000 | 64.044400 | 61.086900 | 55.937500 | 67.211300 | 67.646200 | 57.903200 |
| Sn - Gn | 58.647000 | 83.177100 | 69.589200 | 78.791800 | 66.059200 | 77.405400 | 72.729100 | 65.851600 | 74.918700 | 79.772400 | |
| Sn - Me | 64.207300 | 85.975900 | 72.609000 | 81.376600 | 69.686900 | 80.922700 | 77.312500 | 68.257000 | 78.521100 | 81.703700 | 76.934800 |
| Go[r] - Tr[l] | 62.080400 | 58.256200 | 66.886700 | 61.326400 | 52.784800 | 73.391400 | 57.353900 | 60.367200 | 46.861800 | 45.124800 | 64.362600 |
| Go[l] - Tr[l] | 65.546600 | 54.687900 | 66.125700 | 56.531200 | 51.726300 | 68.896700 | 58.997400 | 55.179000 | 55.240500 | 47.817300 | 75.186300 |
| Gn - Go[r] | 98.758900 | 98.841100 | 102.589000 | 111.665000 | 87.083700 | 107.979000 | 112.464000 | 89.906300 | 97.547400 | 102.918000 | 110.726000 |
| Gn - Go[l] | 91.767100 | 98.789900 | 94.013500 | 113.124000 | 83.243100 | 104.352000 | 105.790000 | 89.372300 | 89.509700 | 93.580400 | 102.697000 |
| Go[r] - Po | 99.850000 | 100.464000 | 104.854000 | 112.108000 | 89.695200 | 108.468000 | 110.846000 | 91.814300 | 97.762500 | 104.562000 | 111.114000 |
| Go[l] - Po | 90.096700 | 98.813400 | 94.695200 | 112.835000 | 85.456600 | 104.903000 | 105.420000 | 90.211700 | 92.150000 | 94.424700 | 103.485000 |

APÊNDICE E - Medidas do quarto operador (inexperiente) nos participantes com sorriso na calibração interoperadores.

| Landmarks | 1 | 2 | 3 | 4 | 5 | 6 | 7 | 8 | 9 | 10 | 11 |
|-----------------|------------|------------|------------|------------|------------|------------|------------|------------|------------|------------|----|
| Zy[r] - Zy[l] | 142,604000 | 146,371000 | 148,997000 | 135,118000 | 138,402000 | 153,954000 | 138,614000 | 126,487000 | 157,533000 | 158,601000 | |
| N - Pg | 104,419000 | 121,300000 | 121,568000 | 97,425500 | 112,673000 | 106,110000 | 104,232000 | 115,963000 | 118,419000 | 107,577000 | |
| N - Gn | 117,169000 | 132,077000 | 132,877000 | 105,607000 | 126,673000 | 117,737000 | 112,242000 | 123,226000 | 128,488000 | 119,685000 | |
| N - So | 70,317900 | 68,039500 | 73,327500 | 60,668600 | 66,498500 | 60,417200 | 61,336500 | 67,106900 | 73,376400 | 66,633300 | |
| N - Me | 124,209000 | 137,046000 | 134,073000 | 108,390000 | 128,442000 | 119,893000 | 113,674000 | 127,473000 | 131,224000 | 122,951000 | |
| Tl[r] - Tl[l] | 146,974000 | 146,729000 | 157,135000 | 138,607000 | 146,023000 | 159,438000 | 146,439000 | 139,811000 | 154,890000 | 164,779000 | |
| Gol[r] - Gol[l] | 122,787000 | 123,802000 | 135,248000 | 110,200000 | 123,581000 | 130,306000 | 116,027000 | 115,820000 | 131,867000 | 136,153000 | |
| Ch[r] - Ch[l] | 62,821200 | 63,187800 | 65,047000 | 56,799300 | 67,893400 | 65,699800 | 62,638100 | 57,926700 | 67,906600 | 64,992000 | |
| Sn - Sto | 16,606100 | 19,973600 | 21,358800 | 18,357400 | 19,286900 | 17,057100 | 16,532100 | 18,648500 | 22,724400 | 20,173100 | |
| Ls - Sto | 6,580830 | 6,590730 | 5,049740 | 8,337430 | 7,429470 | 5,217180 | 5,900040 | 7,143590 | 6,383820 | 8,168400 | |
| Sn - Ls | 10,159100 | 13,491700 | 17,362700 | 11,168800 | 12,001700 | 12,155000 | 10,901200 | 12,501800 | 18,166100 | 13,965500 | |
| Sto - Li | 15,788600 | 24,015400 | 15,742300 | 15,468800 | 19,314700 | 19,481900 | 17,176100 | 22,162900 | 23,361900 | 15,323300 | |
| Cph[r] - Cph[l] | 17,333500 | 18,651300 | 17,306100 | 15,434100 | 17,258400 | 16,312700 | 15,379600 | 17,451200 | 14,301400 | 15,093700 | |
| Li - Me | 41,485800 | 49,556000 | 47,408700 | 37,799100 | 44,504200 | 43,317600 | 38,229400 | 41,890700 | 40,584900 | 43,177600 | |
| Ls - Cph[r] | 8,895230 | 8,904690 | 8,758830 | 8,673830 | 9,752730 | 8,59530 | 8,156630 | 8,435150 | 6,693550 | 8,080550 | |
| Ls - Cph[l] | 8,831710 | 10,662300 | 9,511080 | 7,144520 | 8,215660 | 9,430650 | 7,830470 | 9,670450 | 8,010110 | 7,714880 | |
| Cph[r] - Ch [l] | 33,111900 | 32,383300 | 35,691800 | 30,134000 | 36,370800 | 33,154100 | 32,268900 | 32,154200 | 34,820000 | 34,216500 | |
| Cph[l] - Ch [l] | 28,981800 | 29,693700 | 34,991700 | 30,234400 | 36,905900 | 30,950700 | 33,891400 | 27,800500 | 34,402200 | 32,829500 | |
| Li - Chr | 41,023600 | 45,986500 | 40,136600 | 37,434100 | 47,837600 | 42,553000 | 40,690200 | 38,749500 | 43,909300 | 42,681000 | |
| Li - Ch[l] | 40,022400 | 44,754100 | 42,115000 | 36,942900 | 46,162300 | 44,511700 | 40,574300 | 40,194600 | 43,896400 | 41,073300 | |
| Ls - Li | 20,653300 | 30,219900 | 19,352800 | 22,843000 | 25,526700 | 24,068700 | 22,718400 | 28,543400 | 27,222900 | 20,626000 | |
| Sn - Pg | 48,116500 | 73,140100 | 69,053600 | 55,669400 | 63,614900 | 62,533000 | 59,177100 | 67,776500 | 67,851600 | 60,623600 | |
| Sn - Gn | 61,940300 | 84,506000 | 80,912000 | 64,867800 | 78,402300 | 74,676500 | 68,102500 | 75,755400 | 79,155400 | 72,897900 | |
| Sn - Me | 71,331600 | 90,542700 | 83,378400 | 68,940300 | 81,308600 | 77,910800 | 70,709600 | 81,396400 | 83,547700 | 76,743300 | |
| Gol[r] - Tr[r] | 62,541700 | 56,915300 | 65,464700 | 53,563300 | 75,058700 | 66,111200 | 54,986200 | 49,467900 | 53,152700 | 67,483000 | |
| Gol[l] - Tr[l] | 64,391400 | 55,957300 | 66,110600 | 53,952700 | 71,830000 | 59,316700 | 53,463000 | 56,117300 | 48,565100 | 78,398900 | |
| Gn - Gol[r] | 92,409000 | 98,971600 | 110,100000 | 83,529700 | 103,496000 | 101,185000 | 93,815700 | 93,799000 | 93,385500 | 110,561000 | |
| Gn - Gol[l] | 91,970700 | 100,795000 | 109,830000 | 83,844700 | 102,709000 | 101,144000 | 89,032800 | 89,547500 | 97,819100 | 98,925700 | |
| Gol[r] - Po | 95,940800 | 100,454000 | 110,713000 | 86,502600 | 105,000000 | 101,094000 | 97,757800 | 94,966800 | 95,041400 | 111,905000 | |
| Gol[l] - Po | 92,409500 | 101,163000 | 111,485000 | 87,032200 | 104,809000 | 102,985000 | 91,966500 | 92,463300 | 98,005000 | 100,534000 | |

APÊNDICE F - Medidas do primeiro operador (experiente) nos participantes sem sorriso na calibração interoperadores.

| Landmarks | 1 | 2 | 3 | 4 | 5 | 6 | 7 | 8 | 9 | 10 | 11 |
|-----------------|---------|---------|---------|---------|---------|---------|---------|---------|---------|---------|---------|
| Zy[r] - Zy[l] | 144,186 | 146,713 | 140,816 | 150,583 | 136,282 | 144,965 | 159,956 | 141,08 | 131,304 | 158,861 | 160,35 |
| N - Pg | 103,399 | 115,606 | 100,042 | 114,223 | 93,4547 | 112,864 | 100,855 | 102,387 | 108,568 | 110,551 | 104,448 |
| N - Gn | 113,487 | 130,573 | 113,82 | 127,248 | 104,789 | 77,5726 | 116,995 | 112,148 | 123,634 | 125,548 | 118,857 |
| N - Sto | 75,2284 | 76,8865 | 70,7202 | 78,7271 | 68,9524 | 77,5726 | 70,0777 | 72,687 | 74,1346 | 81,955 | 72,6018 |
| N - Me | 118,103 | 140,149 | 116,646 | 130,732 | 108,54 | 130,206 | 121,098 | 115,943 | 128,891 | 131,405 | 124,333 |
| T[r] - T[l] | 147,126 | 146,254 | 141,332 | 156,978 | 137,662 | 144,687 | 157,885 | 144,529 | 139,841 | 153,406 | 164,649 |
| Gol[r] - Gol[l] | 114,181 | 118,543 | 120,526 | 132,55 | 105,598 | 122,539 | 126,051 | 108,48 | 114,282 | 128,683 | 136,439 |
| Ch[r] - Ch[l] | 50,2918 | 47,6715 | 45,5705 | 55,4639 | 46,0679 | 52,6545 | 49,8263 | 50,3244 | 47,5039 | 51,4076 | 50,8032 |
| Sn - Sto | 24,3548 | 25,6847 | 18,4463 | 25,348 | 21,5325 | 23,0131 | 21,1112 | 21,1433 | 22,7989 | 27,7694 | 22,4022 |
| Ls - Sto | 7,75952 | 6,65772 | 6,29463 | 7,89697 | 8,49876 | 7,35476 | 6,08878 | 7,10692 | 8,86034 | 8,97156 | 6,53922 |
| Sn - Ls | 16,6866 | 19,8993 | 12,9132 | 19,9601 | 14,7364 | 17,2899 | 15,6223 | 14,6266 | 16,7597 | 21,0701 | 17,0493 |
| Sto - Li | 8,48567 | 12,6128 | 8,20334 | 4,89725 | 9,11576 | 11,0942 | 10,7599 | 11,6388 | 12,08 | 13,2282 | 10,4494 |
| Cph[r] - Cph[l] | 15,0242 | 47,6715 | 8,53473 | 15,421 | 13,1772 | 12,8826 | 12,5351 | 9,83323 | 12,0435 | 12,2682 | 9,51032 |
| Li - Me | 37,8136 | 59,4421 | 40,913 | 52,4719 | 37,6934 | 45,3326 | 45,592 | 38,0142 | 48,4004 | 45,667 | 44,9036 |
| Ls - Cph[r] | 7,20044 | 6,847 | 3,94135 | 7,63166 | 6,19881 | 6,42439 | 6,10787 | 4,67596 | 6,70422 | 6,16041 | 5,51481 |
| Ls - Cph[l] | 8,01348 | 8,55689 | 4,89799 | 8,28988 | 7,55753 | 7,37936 | 8,16771 | 5,45083 | 6,00415 | 6,53886 | 5,41022 |
| Cph[r] - Ch[r] | 27,3656 | 27,5494 | 25,7885 | 30,655 | 25,1486 | 26,22 | 26,3804 | 28,0339 | 26,9282 | 29,0289 | 28,446 |
| Cph[r] - Ch[l] | 23,6974 | 25,9145 | 29,9235 | 24,1124 | 29,2668 | 24,5835 | 27,8851 | 27,338 | 28,2388 | 27,4081 | |
| Li - Ch[r] | 29,0847 | 29,8862 | 26,8046 | 33,0188 | 27,5434 | 30,2033 | 29,2502 | 30,4078 | 28,2262 | 30,7548 | 31,317 |
| Li - Ch[l] | 28,0644 | 30,9179 | 26,5924 | 32,0876 | 26,8571 | 32,4401 | 29,3609 | 30,6606 | 27,6754 | 29,5159 | 31,1407 |
| Ls - Li | 15,8646 | 17,7813 | 14,2446 | 10,9051 | 16,7892 | 16,4016 | 16,2024 | 18,5116 | 19,127 | 20,1549 | 15,567 |
| Sn - Pg | 51,4292 | 64,8653 | 47,9176 | 61,1485 | 47,3855 | 58,0663 | 52,2647 | 51,4752 | 58,5236 | 57,6601 | 54,2023 |
| Sn - Gn | 62,7635 | 80,5057 | 62,3343 | 74,9609 | 59,8403 | 73,3147 | 69,2103 | 62,2657 | 74,6993 | 74,5503 | 69,0476 |
| Sn - Me | 70,173 | 91,9771 | 66,6072 | 80,1982 | 64,9566 | 77,3646 | 74,8533 | 68,1949 | 81,7274 | 82,8468 | 75,4685 |
| Gol[r] - Tr | 61,4717 | 53,0386 | 66,7769 | 61,8309 | 58,1242 | 73,8842 | 61,2772 | 56,4807 | 46,6453 | 48,1953 | 69,1407 |
| Gol[l] - Tr | 67,6422 | 62,076 | 72,8355 | 66,9959 | 51,2468 | 71,0328 | 58,8067 | 59,9857 | 55,7802 | 48,1692 | 73,3279 |
| Gn - Gol[r] | 99,3641 | 98,9549 | 104,284 | 110,889 | 82,8672 | 103,663 | 106,237 | 88,7168 | 96,6976 | 96,3565 | 107,857 |
| Gn - Gol[l] | 94,0978 | 94,3993 | 94,1793 | 105,582 | 84,2814 | 101,182 | 107,272 | 85,1875 | 88,3359 | 88,5335 | 105 |
| Gol[r] - Po | 100,736 | 98,2783 | 107,193 | 111,684 | 86,2037 | 105,287 | 108,996 | 90,4944 | 94,8725 | 96,8356 | 107,266 |
| Gol[l] - Po | 98,5882 | 96,3712 | 97,3939 | 108,666 | 87,4349 | 103,382 | 108,053 | 89,6173 | 91,7888 | 91,3675 | 109,48 |

APÊNDICE G - Medidas do segundo operador (inexperiente) nos participantes sem sorriso na calibração interoperadores.

| Landmarks | 1 | 2 | 3 | 4 | 5 | 6 | 7 | 8 | 9 | 10 | 11 |
|-------------------|---------|---------|---------|---------|---------|---------|---------|---------|---------|---------|----|
| Zy[il] - Zy[il] | 140,619 | 139,738 | 148,855 | 136,536 | 141,347 | 157,753 | 141,299 | 129,913 | 158,872 | 160,491 | |
| N - Pg | 101,634 | 104,74 | 106,964 | 97,6922 | 117,916 | 99,9256 | 101,568 | 109,923 | 112,656 | 105,626 | |
| N - Gn | 113,482 | 114,219 | 121,947 | 105,117 | 125,922 | 111,173 | 107,934 | 122,728 | 121,017 | 116,383 | |
| N - Sto | 76,8834 | 72,1245 | 73,9682 | 70,0945 | 77,019 | 67,2179 | 70,7319 | 74,6788 | 79,5191 | 72,4319 | |
| N - Me | 117,539 | 118,171 | 125,138 | 109,079 | 128,969 | 116,236 | 112,396 | 126,882 | 127,312 | 121,089 | |
| Tl[il] - Tl[il] | 148,31 | 140,816 | 156,33 | 139,152 | 142,624 | 15,134 | 146,43 | 139,534 | 154,138 | 165,053 | |
| Gol[r] - Gol[l] | 116,199 | 126,033 | 132,592 | 106,767 | 121,831 | 128,566 | 109,892 | 115,202 | 126,173 | 138,562 | |
| Ch[r] - Ch[l] | 49,518 | 46,1038 | 54,2748 | 45,9498 | 52,2993 | 47,79 | 48,3564 | 44,7988 | 53,77 | 48,4477 | |
| Sn - Sto | 19,9969 | 19,456 | 24,2614 | 22,4347 | 23,5019 | 20,8684 | 21,65 | 24,7127 | 27,6338 | 23,3013 | |
| Ls - Sto | 7,48291 | 7,41698 | 8,23737 | 9,80556 | 8,59022 | 6,49911 | 6,92884 | 9,11251 | 8,34368 | 7,56964 | |
| Sn - Ls | 13,2633 | 12,9846 | 19,8596 | 14,8049 | 16,4825 | 14,9698 | 15,1456 | 18,1034 | 20,8608 | 17,0055 | |
| Sio - Li | 8,46812 | 7,79785 | 5,54386 | 9,33761 | 9,53461 | 10,1282 | 9,64141 | 10,3047 | 12,8041 | 9,69134 | |
| Cph[il] - Cph[il] | 13,7404 | 9,57984 | 13,7793 | 11,229 | 11,5609 | 12,9471 | 9,77511 | 12,2218 | 11,4408 | 12,8474 | |
| Li - Me | 34,5606 | 40,9245 | 49,68 | 36,357 | 46,254 | 42,4907 | 36,4697 | 46,7935 | 42,8209 | 41,522 | |
| Ls - Cph[il] | 7,78063 | 5,41297 | 7,40388 | 6,3397 | 6,57904 | 7,68058 | 5,26428 | 6,78297 | 5,11222 | 6,14878 | |
| Ls - Cph[il] | 6,71854 | 4,55029 | 7,47596 | 5,84954 | 5,75928 | 7,5281 | 4,92396 | 6,13413 | 6,61248 | 7,45875 | |
| Cph[il] - Ch[il] | 26,9038 | 26,212 | 30,4696 | 25,11 | 27,9509 | 25,1653 | 25,7676 | 24,8416 | 29,3858 | 26,6872 | |
| Cph[il] - Ch[il] | 25,4913 | 25,3227 | 31,8864 | 26,7911 | 29,1348 | 24,1009 | 26,7483 | 26,0768 | 30,4788 | 24,3833 | |
| Li - Ch[il] | 28,648 | 27,6152 | 29,8772 | 26,9866 | 30,8251 | 29,1013 | 29,7672 | 26,5482 | 32,558 | 30,6301 | |
| Li - Ch[il] | 26,7834 | 26,4361 | 32,5479 | 26,2042 | 31,0136 | 27,798 | 28,61 | 26,519 | 32,5192 | 28,3434 | |
| Ls - Li | 15,4306 | 14,7859 | 11,5706 | 17,9077 | 15,8602 | 16,1401 | 16,3638 | 17,0187 | 19,4553 | 15,6875 | |
| Sn - Pg | 44,7648 | 52,1107 | 57,7281 | 51,339 | 64,2367 | 54,062 | 53,241 | 61,2226 | 62,2592 | 56,4619 | |
| Sn - Gn | 57,2821 | 62,0309 | 73,2749 | 72,8344 | 65,7395 | 60,0478 | 74,769 | 71,6732 | 67,495 | | |
| Sn - Me | 62,8461 | 67,3308 | 77,429 | 65,0338 | 76,9893 | 71,8463 | 66,0889 | 80,1112 | 79,9795 | 72,8225 | |
| Gol[r] - Tl[r] | 60,8452 | 70,1377 | 64,8733 | 50,3685 | 71,7385 | 64,438 | 64,3378 | 49,1411 | 56,0157 | 63,7673 | |
| Gol[r] - Tl[r] | 60,6441 | 60,0043 | 64,8733 | 52,6541 | 68,0753 | 56,8254 | 51,7029 | 53,9366 | 51,4356 | 75,2315 | |
| Gn - Go[r] | 98,1115 | 99,8433 | 105,75 | 87,3526 | 103,763 | 100,319 | 82,0759 | 90,8071 | 87,9711 | 114,855 | |
| Gn - Go[l] | 96,5336 | 101,972 | 102,203 | 80,3685 | 97,8228 | 98,7381 | 89,5983 | 89,4499 | 86,5762 | 101,114 | |
| Gol[r] - Po | 98,5554 | 101,855 | 105,704 | 89,4077 | 105,301 | 100,605 | 83,2538 | 89,8831 | 89,0655 | 116,17 | |
| Gol[l] - Po | 98,1688 | 103,348 | 102,322 | 82,6201 | 101,008 | 98,8042 | 90,3837 | 89,6301 | 86,5556 | 101,465 | |

APÊNDICE H - Medidas do terceiro operador (experiente) nos participantes sem sorriso na calibração interoperadores.

| Landmarks | 1 | 2 | 3 | 4 | 5 | 6 | 7 | 8 | 9 | 10 | 11 |
|-------------------|----------------|----------------|----------------|----------------|----------------|----------------|----------------|----------------|----------------|----------------|----------------|
| Zy[T] - Zy[I] | 142,63 | 141,427 | 138,726 | 147,738 | 135,02 | 140,794 | 157,519 | 138,3 | 127,868 | 155,918 | 159,022 |
| N - Pg | 99,837 | 114,115 | 96,8383 | 113,296 | 95,7035 | 112,9 | 102,404 | 97,7595 | 112,514 | 114,056 | 103,096 |
| N - Gn | 111,365 | 126,925 | 111,156 | 124,031 | 104,293 | 125,966 | 113,403 | 107,307 | 120,914 | 124,586 | 118,236 |
| N - Sto | 73,0647 | 72,2793 | 67,6367 | 75,743 | 66,9781 | 76,2511 | 68,0818 | 69,1933 | 73,5326 | 79,4687 | 72,4541 |
| N - Me | 116,028 | 130,486 | 113,37 | 126,821 | 107,382 | 128,875 | 117,787 | 110,027 | 125 | 126,381 | 122,003 |
| Tl[R] - Tl[I] | 147,494 | 145,92 | 140,257 | 156,654 | 137,316 | 143,145 | 157,655 | 144,653 | 139,565 | 153,076 | 163,989 |
| Gol[R] - Gol[I] | 119,602 | 121,17 | 126,141 | 137,254 | 110,457 | 126,067 | 131,137 | 110,883 | 116,226 | 132,974 | 138,308 |
| Ch[II] - Ch[II] | 49,9111 | 46,8263 | 46,9315 | 54,1611 | 11,7283 | 52,5356 | 50,2011 | 49,7945 | 44,2845 | 51,7277 | 49,9089 |
| Sn - Sto | 19,4871 | 24,9699 | 19,6008 | 24,9226 | 21,9553 | 22,8395 | 22,6071 | 21,6619 | 24,1022 | 28,7005 | 22,4027 |
| Ls - Sto | 7,2157 | 8,4972 | 7,84026 | 9,09159 | 9,60093 | 8,07758 | 6,95533 | 6,85533 | 9,94058 | 8,85752 | 7,66172 |
| Sn - Ls | 12,4186 | 17,4574 | 12,4174 | 18,3081 | 13,9971 | 15,8774 | 16,0452 | 15,2963 | 16,4705 | 20,9918 | 15,7174 |
| Sto - Li | 9,09046 | 12,9482 | 8,22649 | 5,59753 | 10,6074 | 10,6106 | 12,7086 | 10,8699 | 11,0431 | 11,6113 | 10,4937 |
| Cph[II] - Cph[II] | 14,0452 | 14,4485 | 9,16249 | 13,9907 | 11,7283 | 12,9739 | 12,1678 | 11,2678 | 12,4419 | 11,442 | 10,2668 |
| Li - Me | 36,1545 | 51,1513 | 40,4285 | 50,7058 | 37,0064 | 45,8019 | 40,4475 | 34,1809 | 45,2025 | 42,9967 | 43,0743 |
| Ls - Cph[II] | 8,22496 | 8,45198 | 5,55971 | 8,41529 | 7,00607 | 6,77948 | 7,41821 | 6,76641 | 7,90539 | 6,53613 | 5,74695 |
| Ls - Cph[II] | 6,36502 | 7,17089 | 4,1291 | 6,63163 | 5,36308 | 7,03504 | 6,36882 | 5,73985 | 6,04506 | 5 | 6,36446 |
| Cph[II] - Ch[II] | 27,8186 | 26,8526 | 26,5366 | 31,4538 | 25,2483 | 28,0305 | 27,5087 | 26,2145 | 24,0333 | 27,5029 | 27,4802 |
| Cph[II] - Ch[II] | 25,6889 | 25,7468 | 26,3863 | 32,2047 | 26,5964 | 28,6487 | 25,7387 | 27,5389 | 27,4014 | 28,4949 | 26,5782 |
| Li - Ch[II] | 31,9625 | 29,5777 | 27,0682 | 31,9558 | 26,9144 | 31,6482 | 31,1113 | 31,1849 | 26,8365 | 32,5425 | 31,375 |
| Li - Ch[II] | 28,0088 | 28,4835 | 27,636 | 30,4625 | 27,3083 | 30,7589 | 27,4172 | 29,4047 | 25,4382 | 29,0565 | 28,1211 |
| Ls - Li | 15,9149 | 19,8365 | 15,9046 | 13,4841 | 19,847 | 17,4107 | 19,3624 | 17,4549 | 18,9227 | 18,9636 | 17,3806 |
| Sn - Pg | 45,7722 | 67,2351 | 48,8937 | 63,0876 | 52,1539 | 59,3718 | 57,4727 | 50,9651 | 64,3899 | 65,0886 | 52,9989 |
| Sn - Gn | 57,9151 | 80,7772 | 64,0129 | 74,6021 | 62,0119 | 73,142 | 69,0473 | 61,2414 | 73,5652 | 77,3956 | 68,7669 |
| Sn - Me | 64,3959 | 84,8017 | 67,5312 | 78,8729 | 66,7106 | 77,2945 | 74,5193 | 64,9763 | 78,7156 | 80,1114 | 73,484 |
| Gol[R] - Tr[R] | 62,1842 | 59,3412 | 66,485 | 60,1149 | 52,627 | 71,6491 | 55,4719 | 58,0801 | 47,7023 | 43,8914 | 63,2526 |
| Gol[R] - Tr[R] | 65,6066 | 55,0604 | 66,9147 | 55,7039 | 51,021 | 67,3682 | 57,843 | 54,2509 | 56,4053 | 47,2512 | 73,5405 |
| Gn - Gol[R] | 97,9238 | 97,4516 | 102,005 | 108,955 | 86,8345 | 106,473 | 110,812 | 87,8639 | 97,0206 | 101,544 | 110,11 |
| Gn - Gol[R] | 91,4425 | 96,6095 | 94,0313 | 109,996 | 82,5821 | 102,463 | 104,478 | 87,3204 | 87,4056 | 92,2178 | 103,036 |
| Gol[R] - Po | 99,0224 | 98,8177 | 105,091 | 110,54 | 90,34 | 108,038 | 111,195 | 89,7709 | 96,4053 | 103,757 | 112,916 |
| Gol[R] - Po | 91,7415 | 97,4675 | 95,8667 | 111,008 | 85,4819 | 103,997 | 105,128 | 89,2883 | 89,193 | 93,8527 | 107,014 |

APÊNDICE I - Medidas do quarto operador (inexperiente) nos participantes sem sorriso na calibração interoperadores

| Landmarks | 1 | 2 | 3 | 4 | 5 | 6 | 7 | 8 | 9 | 10 | 11 |
|-----------------|---------|---------|---------|---------|---------|---------|---------|---------|---------|---------|----|
| Zy[r] - Zy[l] | 143,071 | 146,563 | 149,009 | 135,545 | 139,524 | 154,592 | 139,174 | 127,21 | 157,467 | 159,902 | |
| N - Pg | 103,405 | 117,011 | 116,512 | 94,4505 | 109,1 | 102,988 | 99,9477 | 113,284 | 115,076 | 103,662 | |
| N - Gn | 116,424 | 129,578 | 127,934 | 103,023 | 123,677 | 114,073 | 108,901 | 122,018 | 125,052 | 115,15 | |
| N - Sto | 76,1436 | 75,0407 | 79,1896 | 65,2685 | 73,1131 | 66,9692 | 68,6813 | 73,38 | 80,5403 | 68,999 | |
| N - Me | 124,173 | 136,488 | 130,792 | 106,675 | 126,369 | 118,222 | 111,66 | 127,856 | 129,203 | 120,091 | |
| Tir] - Tl] | 147,344 | 146,655 | 156,47 | 140,299 | 143,79 | 158,54 | 145,479 | 140,339 | 153,467 | 164,861 | |
| Gol] - Gol] | 120,303 | 121,691 | 132,851 | 109,024 | 122,35 | 127,805 | 113,362 | 113,227 | 129,589 | 134,621 | |
| Ch[r] - Ch[l] | 49,7729 | 46,5381 | 54,0529 | 47,0073 | 54,8665 | 51,8864 | 49,8585 | 44,9809 | 52,5066 | 50,0177 | |
| Sn - Sto | 20,1329 | 26,2422 | 25,0154 | 21,5939 | 24,2304 | 22,1824 | 21,8971 | 23,9266 | 27,6647 | 20,738 | |
| Ls - Sto | 7,8603 | 8,52758 | 7,29409 | 9,72181 | 7,1983 | 6,51945 | 6,51715 | 9,43707 | 7,85012 | 6,68445 | |
| Sn - Ls | 12,4761 | 18,6634 | 20,7497 | 13,9281 | 17,8496 | 16,2124 | 16,2019 | 17,2805 | 21,1778 | 15,2141 | |
| Sto - Li | 7,65937 | 12,5355 | 6,16783 | 9,50568 | 10,4137 | 11,5802 | 9,18569 | 11,0308 | 11,9089 | 10,5659 | |
| Cph[r] - Cph[l] | 13,6631 | 13,6664 | 13,9199 | 12,2958 | 12,3366 | 12,8072 | 10,3946 | 13,2863 | 11,8518 | 12,9105 | |
| Li - Me | 45,7372 | 57,3223 | 50,723 | 39,925 | 47,2864 | 45,3632 | 41,1594 | 49,821 | 46,1277 | 45,0731 | |
| Ls - Cph[r] | 6,92638 | 6,68689 | 7,76337 | 7,01093 | 7,1986 | 7,16588 | 5,60202 | 6,6115 | 5,51575 | 30,2406 | |
| Ls - Cph[l] | 7,0382 | 8,28727 | 8,15493 | 5,69721 | 6,25517 | 7,83977 | 5,60389 | 7,43201 | 6,86271 | 6,87139 | |
| Cph[r] - Ch[r] | 27,4306 | 27,0927 | 31,057 | 25,4857 | 29,2338 | 27,032 | 26,3455 | 25,2422 | 29,5757 | 25,5656 | |
| Cph[l] - Ch[l] | 25,1794 | 25,094 | 30,511 | 26,3578 | 30,385 | 26,6273 | 28,7176 | 24,7791 | 29,2393 | 25,5775 | |
| Li - Ch[r] | 30,7352 | 28,829 | 31,2963 | 27,8015 | 33,1417 | 31,471 | 30,4 | 27,6541 | 31,7583 | 31,0606 | |
| Li - Ch[l] | 28,8319 | 29,2665 | 31,6431 | 27,1424 | 33,4883 | 30,4305 | 29,8798 | 25,5115 | 31,735 | 29,5434 | |
| Ls - Li | 14,8249 | 18,9152 | 11,5596 | 18,0405 | 15,4065 | 17,4529 | 15,1448 | 17,9766 | 18,2675 | 16,1109 | |
| Sn - Pg | 46,8107 | 68,6022 | 62,7806 | 52,0143 | 59,6355 | 58,4926 | 53,794 | 65,1474 | 64,1526 | 55,3583 | |
| Sn - Gn | 61,4175 | 81,9229 | 75,0011 | 61,8629 | 75,2315 | 70,5023 | 64,0344 | 74,7824 | 75,6678 | 67,3109 | |
| Sn - Me | 72,2644 | 90,1392 | 79,446 | 67,0958 | 79,3096 | 76,3232 | 68,6302 | 82,5129 | 81,8263 | 73,3216 | |
| Gol] - Tir] | 62,4769 | 58,2198 | 64,4579 | 51,7252 | 73,4368 | 64,9062 | 53,7058 | 50,1334 | 51,7538 | 66,6423 | |
| Gol] - Tl] | 64,9865 | 56,5261 | 65,8334 | 52,3444 | 70,7535 | 58,7609 | 52,9523 | 56,9451 | 47,2143 | 77,1696 | |
| Gn - Go[r] | 91,1073 | 97,6326 | 108,623 | 83,5597 | 101,601 | 99,8889 | 92,2965 | 93,474 | 91,6357 | 109,917 | |
| Gn - Go[l] | 90,8955 | 98,3989 | 107,367 | 83,7984 | 100,428 | 100,031 | 87,4466 | 87,7087 | 94,2613 | 98,6365 | |
| Gol] - Po | 94,7255 | 98,6323 | 110,461 | 87,6143 | 103,821 | 102,135 | 96,2558 | 93,8939 | 93,8555 | 113,453 | |
| Gol] - Po | 93,2335 | 99,4948 | 109,969 | 86,8523 | 103,264 | 103,141 | 91,8298 | 89,5125 | 95,0387 | 102,098 | |

APÊNDICE J – Mensurações das variáveis em cada paciente no tempo T0 utilizando o software Vectra® M3 (Canfield, NJ, EUA)

| Participante | Área da superfície nasal (N.Acrl. Sn.Acrl) cm² | Área narina D | Área narina E | Ângulo nasofrontal (G.N.Pn) (C.Sn.Ls) | Ângulo nasolabial inclinção nasal (Acifr.N.A cII) | Ângulo da narina D | Tipo narina D | Ângulo narinário E | Tipo narina E | Largura alar (Alifr-AlII) | Altura nasal (N-Sn) | Comprimento nasal (N - Pm) | Proj. da ponta nasal (Tr - Pm) | Rot. da ponta nasal (T-I-Pm) | Índice nasal | Tipo nasal | |
|--------------|--|---------------|---------------|---------------------------------------|---|--------------------|---------------|--------------------|---------------|---------------------------|---------------------|----------------------------|--------------------------------|------------------------------|--------------|------------|------------|
| 1 | 21,8634 | 0,8732 | 0,8699 | 134,3050 | 122,7920 | 40,2808 | 66,1855 | II | 61,6400 | II | 34,0299 | 54,9299 | 50,5849 | 134,1650 | 130,0810 | 61,9515 | leptorrino |
| 2 | 23,1111 | 0,6617 | 0,6248 | 147,8090 | 97,4021 | 36,0915 | 66,6624 | II | 66,0856 | II | 31,1070 | 53,9910 | 48,8513 | 125,6550 | 120,9450 | 57,6151 | leptorrino |
| 3 | 24,7246 | 0,6460 | 0,6256 | 140,11750 | 128,1600 | 32,9434 | 63,1978 | II | 66,4025 | II | 34,2234 | 53,1289 | 46,2894 | 134,5010 | 133,2130 | 64,4157 | leptorrino |
| 4 | 23,3358 | 0,8907 | 0,8641 | 137,7480 | 104,0240 | 44,2133 | 60,0213 | II | 53,6150 | III | 40,6359 | 47,5916 | 42,7780 | 131,1110 | 131,8410 | 85,3846 | platirrino |
| 5 | 20,5008 | 0,7215 | 0,6810 | 146,8330 | 111,6150 | 35,1696 | 73,4707 | I | 79,0100 | I | 31,6163 | 47,0117 | 41,3974 | 121,6560 | 123,4230 | 67,2519 | leptorrino |
| 6 | 20,5875 | 0,7494 | 0,7972 | 144,0700 | 99,0037 | 40,3920 | 65,0095 | II | 71,3307 | I | 31,8233 | 48,8499 | 40,9352 | 128,9620 | 129,0070 | 65,1450 | leptorrino |
| 7 | 21,8770 | 0,6834 | 0,7295 | 148,8340 | 132,3620 | 32,3967 | 57,9066 | II | 60,2705 | II | 32,9987 | 54,5298 | 48,8169 | 136,1560 | 131,8770 | 60,5149 | leptorrino |
| 8 | 18,0021 | 0,7607 | 0,8932 | 151,0150 | 88,3011 | 45,6289 | 65,1362 | II | 68,1190 | II | 33,0406 | 46,8623 | 43,5344 | 126,4350 | 121,2410 | 70,5057 | mesorrino |
| 9 | 20,8873 | 0,6909 | 0,6753 | 143,5540 | 95,9355 | 47,3774 | 67,6528 | II | 61,3621 | II | 36,3535 | 47,8120 | 41,9120 | 120,9580 | 120,8680 | 76,0342 | mesorrino |
| 10 | 26,5008 | 0,6449 | 0,5918 | 145,0020 | 122,2810 | 39,8855 | 65,2748 | II | 63,2737 | II | 33,2707 | 55,1640 | 48,2651 | 126,1160 | 129,8970 | 60,3123 | leptorrino |
| 11 | 26,4945 | 1,0355 | 1,0295 | 138,8690 | 87,5093 | 41,7892 | 56,8124 | II | 55,2486 | II | 40,7819 | 54,2411 | 49,5367 | 135,7010 | 133,8730 | 75,1863 | mesorrino |

APÊNDICE L – Mensurações das variáveis em cada paciente no tempo T1 utilizando o software Vectra® M3 (Canfield, NJ, EUA)

| Participante | Área da superfície nasal (N.Acfr). Sn.Acfr) cm² | Área marinha D | Área marinha E | Ângulo nasofrontal (G.N.Pn) | Ângulo nasolabial I (C.Sn.Ls) | Ângulo da inclinação nasal (Acif.N.A cII) | Ângulo marinho D | Tipo marinha E | Ângulo marinho E | Largura nasal (Alfr-AII) | Altura nasal (N-Sn) | Comprimento nasal (N - Pm) | Proj. da ponta nasal (T r - Pm) | Proj. da ponta nasal (T1 sobre 10) | Rot. da ponta nasal (T1 sobre 10) | Índice nasal | Tipo nasal | |
|--------------|---|----------------|----------------|-----------------------------|-------------------------------|---|------------------|----------------|------------------|--------------------------|---------------------|----------------------------|---------------------------------|------------------------------------|-----------------------------------|--------------|------------|------------|
| 1 | 21,2583 | 0,8778 | 0,9338 | 133,3760 | 119,9030 | 46,0794 | 60,0788 | II | 55,4701 | II | 36,3418 | 52,2232 | 48,8181 | 134,4290 | 127,5540 | horária | 69,5893 | leptorrino |
| 2 | 22,2531 | 0,6457 | 0,6476 | 145,9550 | 92,0755 | 39,2635 | 57,5552 | II | 59,5780 | II | 34,9256 | 54,4793 | 49,0201 | 128,4800 | 121,6260 | anti-horária | 64,1080 | leptorrino |
| 3 | 23,1432 | 0,7832 | 0,6921 | 133,2130 | 123,3670 | 49,8197 | 55,5417 | II | 59,6699 | II | 35,6835 | 51,7292 | 42,1047 | 136,7810 | 133,6710 | anti-horária | 68,9813 | leptorrino |
| 4 | 21,6541 | 0,8180 | 0,7472 | 137,7280 | 95,4243 | 50,1210 | 47,1073 | III | 42,0361 | III | 38,5984 | 48,3423 | 43,0439 | 126,7730 | 126,6850 | anti-horária | 79,8439 | mesorrino |
| 5 | 19,8908 | 0,8078 | 0,7200 | 145,3150 | 89,4650 | 41,3080 | 68,1775 | II | 75,4532 | I | 33,6479 | 45,2656 | 40,3699 | 117,9580 | 120,3610 | horária | 74,3343 | mesorrino |
| 6 | 20,7342 | 0,8223 | 0,8329 | 145,1960 | 91,2825 | 44,6706 | 55,5664 | II | 57,9351 | II | 36,3541 | 50,6189 | 44,0826 | 130,4760 | 128,5620 | horária | 71,8192 | mesorrino |
| 7 | 21,5543 | 0,7230 | 0,7356 | 146,3340 | 114,5320 | 34,8843 | 55,9375 | II | 56,2723 | II | 34,2414 | 55,0405 | 48,9226 | 136,8480 | 132,6800 | horária | 62,2112 | leptorrino |
| 8 | 17,6354 | 0,8343 | 0,9019 | 148,5250 | 90,2817 | 51,2545 | 57,3929 | II | 60,6040 | II | 34,4959 | 47,3391 | 41,9784 | 124,1990 | 122,4270 | anti-horária | 72,8897 | mesorrino |
| 9 | 19,6811 | 0,6951 | 0,7043 | 141,3680 | 96,4846 | 49,1348 | 46,8948 | III | 47,2994 | III | 38,1902 | 47,0220 | 40,6475 | 119,0250 | 120,3100 | anti-horária | 81,1142 | mesorrino |
| 10 | 25,9268 | 0,6010 | 0,6096 | 143,3580 | 110,1960 | 40,9041 | 55,2266 | II | 54,8028 | III | 36,9474 | 53,6508 | 47,1621 | 129,7330 | 129,1680 | anti-horária | 68,8664 | leptorrino |
| 11 | 25,3142 | 0,9656 | 0,9183 | 134,0310 | 83,5100 | 49,4297 | 52,1052 | III | 47,2828 | III | 40,3269 | 53,1294 | 47,8867 | 136,0390 | 135,4830 | anti-horária | 75,9031 | mesorrino |

APÊNDICE M – Mensurações das variáveis em cada paciente no tempo T2 utilizando o software Vectra® M3 (Canfield, NJ, EUA)

| Participante | Área da superfície nasal (N.Acrl, Sn.Acrl) cm ² | Área narina D | Área narina E | Ângulo nasofrontal (G.N.Pn) | Ângulo nasolabial (C.Sn.Ls) | Ângulo da inclinação nasal (Acrl.N.A cll) | Tipo narina D | Ângulo narina E | Tipo narina E | Altura nasal (N-Sn) | Comprimento nasal (N - Pm) | Projeto ponta nasal (T1 - Pm) | Projeto ponta nasal (T2 sobre T1) | Rot. da ponta nasal (T2 sobre T0) | Índice nasal | Tipo nasal | | |
|--------------|--|---------------|---------------|-----------------------------|-----------------------------|---|---------------|-----------------|---------------|---------------------|----------------------------|-------------------------------|-----------------------------------|-----------------------------------|--------------|--------------|---------|------------|
| 1 | 21.5074 | 0.7949 | 0.9830 | 134,7860 | 120,6660 | 46,1592 | 60,5169 | II | 58,0481 | II | 35,0255 | 52,9928 | 49,7097 | 132,6470 | 127,1550 | horária | 66,0948 | leptorrino |
| 2 | 21.6126 | 0.6103 | 0.6097 | 145,1970 | 91,1703 | 36,7327 | 64,6362 | II | 64,3491 | II | 33,5195 | 52,7892 | 46,8009 | 128,4140 | 123,8840 | anti-horária | 63,4963 | leptorrino |
| 3 | 23.9920 | 0.6507 | 0.6461 | 135,8170 | 125,5320 | 40,6394 | 57,5227 | II | 59,1646 | II | 37,6908 | 52,7638 | 46,3330 | 136,5190 | 135,0610 | horária | 71,4330 | mesorrino |
| 4 | 22.3876 | 0.9022 | 0.8047 | 136,1790 | 96,9751 | 56,0220 | 47,9406 | III | 40,8833 | III | 41,7633 | 45,9024 | 40,1128 | 129,3600 | 128,6380 | anti-horária | 90,9828 | platirrino |
| 5 | 20,4242 | 0,8007 | 0,7219 | 146,3600 | 94,8015 | 38,8434 | 69,3705 | II | 74,8338 | I | 34,3114 | 47,1666 | 42,3899 | 117,4160 | 119,8450 | horária | 72,7451 | mesorrino |
| 6 | 20,5286 | 0,8300 | 0,8406 | 141,9870 | 91,5210 | 45,6406 | 58,4222 | II | 57,9002 | II | 36,0332 | 48,4606 | 39,7689 | 131,4950 | 128,9230 | anti-horária | 74,3556 | mesorrino |
| 7 | 21,6745 | 0,6868 | 0,7173 | 146,1080 | 118,4320 | 38,3878 | 56,9281 | II | 56,1979 | II | 34,7477 | 51,7594 | 44,1538 | 132,8290 | 132,3250 | anti-horária | 67,1331 | leptorrino |
| 8 | 17,1836 | 0,8119 | 0,8538 | 145,7410 | 86,0084 | 49,0433 | 60,5954 | II | 59,3705 | II | 34,5638 | 44,4004 | 40,5033 | 125,9780 | 123,9180 | anti-horária | 77,8456 | mesorrino |
| 9 | 20,7192 | 0,6634 | 0,7234 | 141,6710 | 94,9891 | 50,0794 | 50,2828 | III | 50,5273 | III | 40,0541 | 47,4213 | 41,1871 | 123,4100 | 121,1800 | anti-horária | 84,4643 | mesorrino |
| 10 | 25,8971 | 0,6172 | 0,7108 | 141,3340 | 113,3440 | 43,0869 | 58,7764 | II | 57,6558 | II | 36,4295 | 53,4459 | 42,8070 | 131,6920 | 131,1790 | anti-horária | 68,1614 | leptorrino |
| 11 | 25,4553 | 0,9770 | 0,8790 | 132,4310 | 82,0828 | 50,0872 | 50,8449 | III | 50,0890 | III | 38,8532 | 55,0397 | 49,7659 | 138,0720 | 134,7220 | horária | 70,5912 | mesorrino |

ANEXOS

ANEXO A -Termo de Consentimento Livre e Esclarecido da FORP - USP



UNIVERSIDADE DE SÃO PAULO
FACULDADE DE ODONTOLOGIA DE RIBEIRÃO PRETO

TERMO DE CONSENTIMENTO LIVRE E ESCLARECIDO

Momento: Início do tratamento clínico

Anexo I

Paciente: _____ Prontuário: _____

Profissional _____ Responsável _____ (Docente): _____

Por este instrumento de autorização por mim assinado, eu, _____, portador(a) do documento de identidade RG: _____, residente à doravante denominado simplesmente PACIENTE ou RESPONSÁVEL PELO PACIENTE declaro-me suficientemente esclarecido(a) sobre as seguintes informações:

1. O diagnóstico, planejamento de tratamento e acompanhamento realizados em minha pessoa, de acordo com os conhecimentos no campo da Odontologia, poderão ser realizados por professores, assistentes e alunos autorizados, com o objetivo de ensinar e demonstrar os procedimentos para estudantes e profissionais de odontologia;
2. Fui informado(a) que a realização do diagnóstico é necessária para a elaboração do plano de tratamento. Entretanto, estou ciente que receberei o tratamento que compreende procedimentos possíveis de serem realizados por alunos de graduação. Sei também que os procedimentos de maior complexidade poderão ser realizados por profissionais (já formados) e que poderei ser encaminhado(a) e atendido(a) em um curso de extensão, especialização ou pós-graduação, se meu caso clínico estiver dentro do perfil do referido curso e quando houver vaga;
3. Uma vez estabelecidas as condições de tratamento, esse somente será realizado depois que eu receber todas as informações necessárias sobre os procedimentos;
4. Os custos com despesas de transporte e alimentação, quando necessários, serão de minha responsabilidade;
5. Os exames necessários serão realizados após a explicação dos objetivos, benefícios e riscos que esses exames podem causar e, uma vez entendidas as explicações, eu deverei seguir as orientações dadas pelos profissionais que irão me atender;
6. As radiografias, fotografias, modelos, desenhos e informações relacionadas ao meu tratamento odontológico (ex: questionamentos feitos pelo profissional, resultados de exames), e quaisquer outras informações do planejamento de diagnóstico e/ou tratamento, poderão ser usadas para fins de ensino (aulas e palestras para alunos e profissionais) e divulgação científica (publicação em revistas científicas para melhor conhecimento do tema), desde que preservado o meu direito de não identificação.
7. Existe a possibilidade de eu faltar em duas consultas ao longo do período necessário para o diagnóstico e/ou tratamento, desde que essas faltas sejam justificadas. Duas faltas consecutivas causarão a perda do direito de tratamento. Casos excepcionais serão encaminhados para a Assistente Social da FORP;
8. O cancelamento de consultas por parte FORP-USP será realizado com antecedência, sempre que possível.

Depois de recebidas essas informações, declaro que concordo de livre e espontânea vontade, em dar meu consentimento à Faculdade de Odontologia de Ribeirão Preto, situada à Avenida do Café, s/nº, Bairro Monte Alegre, Ribeirão Preto/SP para a realização do diagnóstico, planejamento de tratamento e acompanhamento de meu caso clínico.

Por ser verdade, firmo o presente.

Ribeirão Preto, ____ / ____ / ____

Nome do Paciente: _____ Ass: _____

Nome do Profissional Responsável: _____ Ass: _____

Nome do Aluno: _____ Ass: _____

